

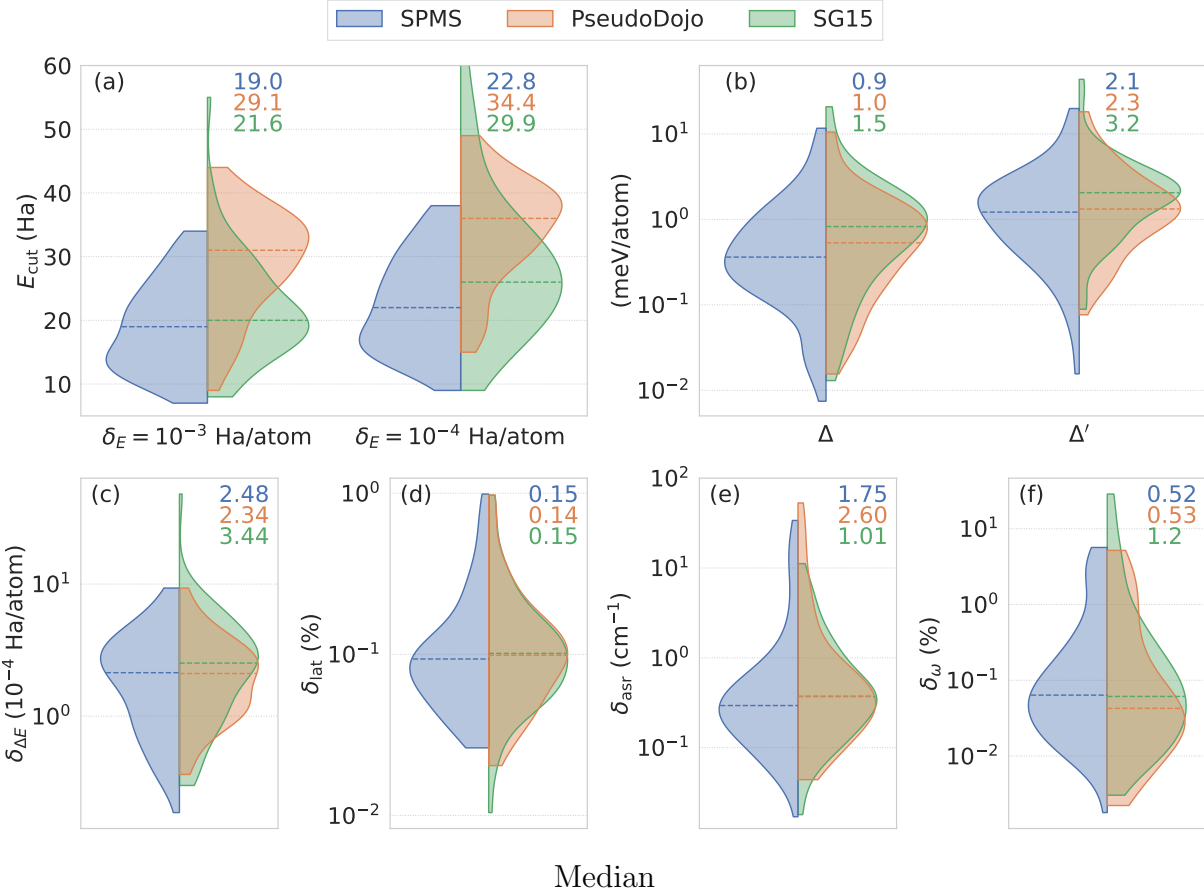
SPMS pseudopotentials v1.0

Copyright (c) 2022 Material Physics & Mechanics Group, Georgia Tech
Distributed under GNU General Public License 3 (GPL) (<https://www.gnu.org/licenses/>)
Mostafa Faghah Shojaei, John E. Pask, Andrew J. Medford, and Phanish Suryanarayana.

“Soft and transferable pseudopotentials from multi-objective optimization.”

Computer Physics Communications 283 (2023): 108594. (<https://doi.org/10.1016/j.cpc.2022.108594>)

Acknowledgment: U.S. Department of Energy (DOE), Office of Science (SC): DE-SC0019410



Median

	E_{cut}		$\delta_{\Delta E}$	Δ	Δ'	δ_{lat}			δ_{asr}		δ_{ω}	
	$\delta_E = 10^{-3}$	$\delta_E = 10^{-4}$				BCC	FCC	COMP	LAP	HAP	LOP	HOP
SPMS	19.0	22.0	2.13	0.36	1.21	0.06	0.08	0.10	0.27	0.31	0.07	0.06
PseudoDojo	31.0	36.0	2.10	0.53	1.32	0.08	0.09	0.10	0.40	0.33	0.04	0.04
SG15	20.0	26.0	2.52	0.83	2.05	0.09	0.09	0.09	0.32	0.40	0.07	0.05

Mean

	E_{cut}		$\delta_{\Delta E}$	Δ	Δ'	δ_{lat}			δ_{asr}		δ_{ω}	
	$\delta_E = 10^{-3}$	$\delta_E = 10^{-4}$				BCC	FCC	COMP	LAP	HAP	LOP	HOP
SPMS	19.0	22.8	2.48	0.94	2.13	0.18	0.15	0.11	1.99	1.50	0.65	0.39
PseudoDojo	29.1	34.4	2.34	0.98	2.26	0.18	0.14	0.11	2.92	2.27	0.69	0.37
SG15	21.6	29.9	3.44	1.50	3.20	0.19	0.15	0.10	1.02	1.00	1.46	0.93

δ_E : Convergence error of the total energy in Ha/atom

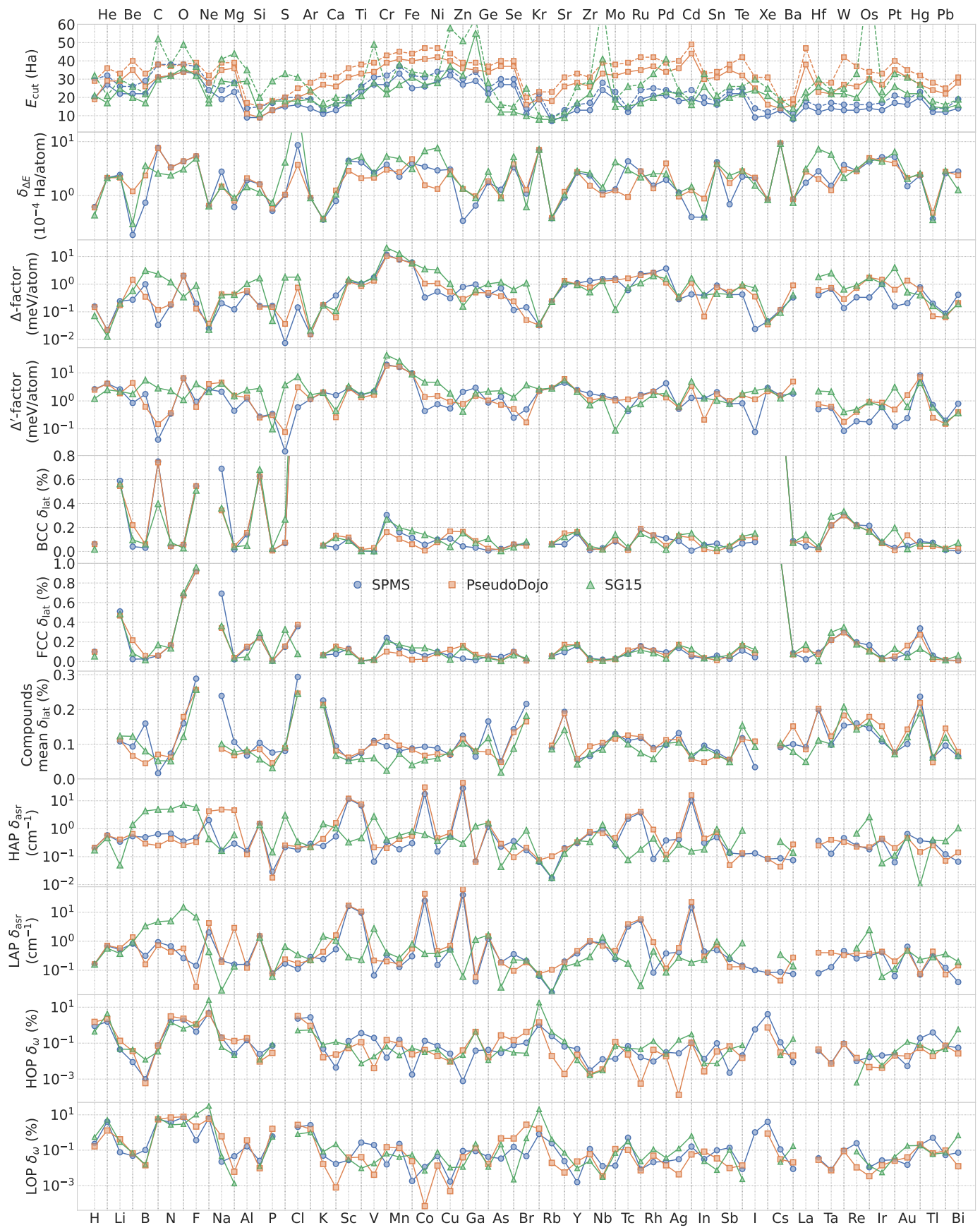
$\delta_{\Delta E}$: The accuracy metric in 10^{-4} Ha/atom used for SPMS optimization.

Δ and Δ' : The Δ -factor and Δ' -factor in meV/atom.

δ_{lat} : Mean of absolute value of percentage lattice constant errors for BCC, FCC, and compound (COMP) structures used to test the GBRV table

δ_{asr} : Mean of absolute value of acoustic sum rule errors in cm^{-1} for the highest and lowest acoustic phonon frequencies (HAP and LAP) at Γ -point obtained for the Δ -factor lattice structures

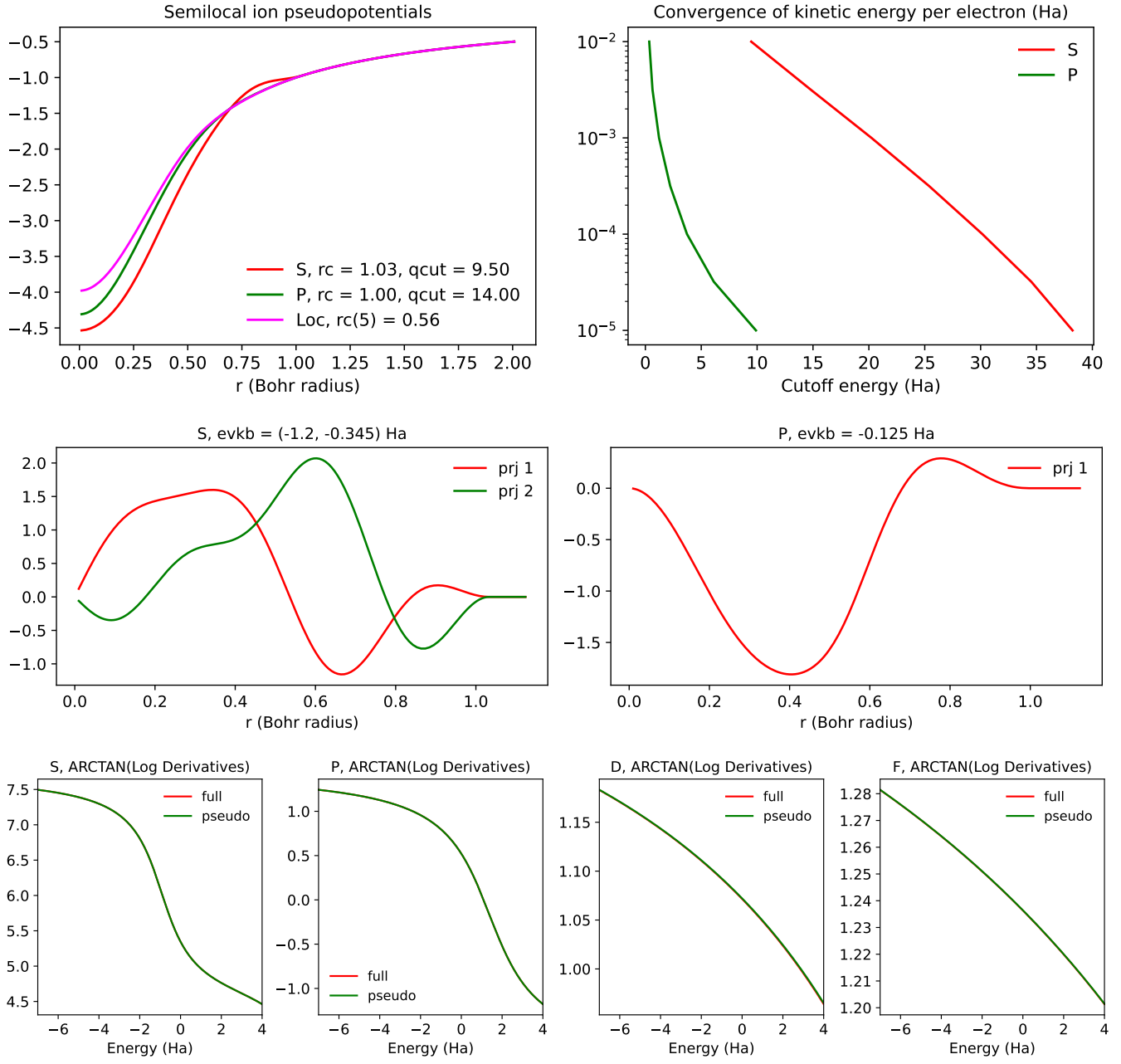
δ_{ω} : Mean of absolute value of percentage phonon frequency errors for the highest and lowest optical phonon frequencies (HOP and LOP) obtained after imposing the acoustic sum rule at Γ -point for the Δ -factor lattice structures and E_{cut} corresponding to $\delta_E = 10^{-4}$ Ha/atom



SPMS

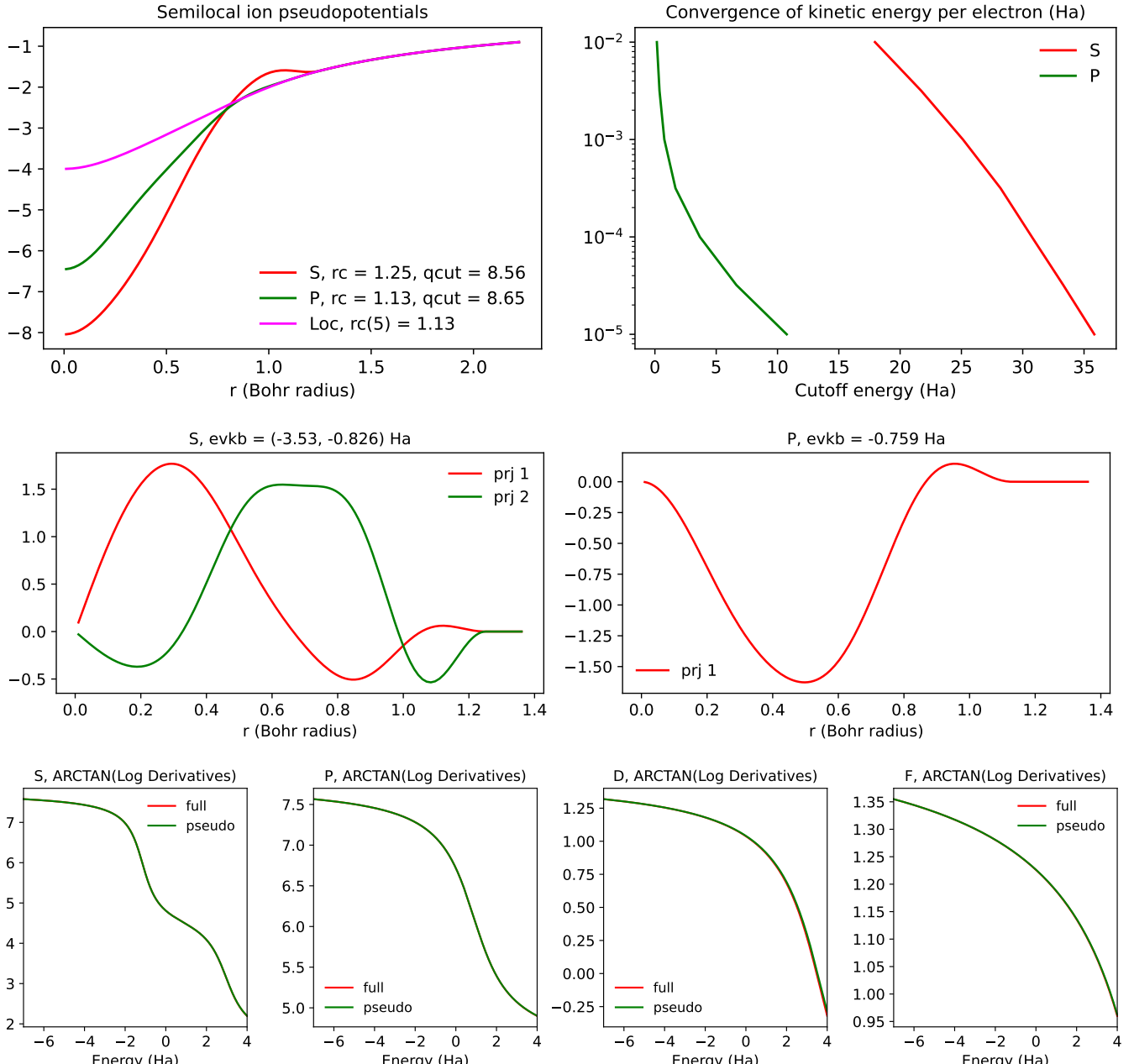
	E_{cut}		$\delta_{\Delta E}$	Δ	Δ'	δ_{lat}			δ_{asr}		δ_{ω}	
	$\delta_E = 10^{-3}$	$\delta_E = 10^{-4}$				BCC	FCC	COMP	LAP	HAP	LOP	HOP
H	20	30	0.61	0.16	2.62	0.06	0.10	-	0.16	0.21	0.23	0.90
He	27	32	2.13	0.02	4.18	-	-	-	0.69	0.59	4.10	1.58
Li	22	26	2.42	0.24	2.59	0.59	0.51	0.11	0.52	0.34	0.08	0.04
Be	22	26	0.19	0.27	0.84	0.04	0.02	0.09	0.82	0.54	0.05	0.01
B	22	29	0.74	0.99	1.75	0.03	0.03	0.16	0.31	0.50	0.10	0.00
C	31	38	7.71	0.03	0.04	0.75	0.06	0.02	0.93	0.64	5.58	0.08
N	32	38	3.34	0.18	0.35	0.04	0.16	0.07	0.67	0.67	3.74	1.70
O	34	38	4.30	2.02	6.51	0.06	0.67	0.16	0.26	0.35	7.21	2.05
F	33	37	5.36	0.20	0.93	0.55	0.92	0.29	0.14	0.48	0.36	0.44
Ne	24	28	0.65	0.03	2.56	-	-	-	2.03	2.03	6.54	4.78
Na	19	24	2.77	0.20	2.13	0.69	0.69	0.24	0.22	0.16	0.02	0.21
Mg	23	28	0.61	0.12	0.44	0.02	0.02	0.11	0.16	0.29	0.05	0.03
Al	9	14	1.92	0.52	1.21	0.14	0.14	0.07	0.16	0.16	0.17	0.15
Si	9	15	1.63	0.16	0.27	0.63	0.24	0.10	1.51	1.51	0.03	0.03
P	13	17	0.52	0.17	0.34	0.01	0.00	0.08	0.08	0.03	0.60	0.07
S	15	20	1.02	0.01	0.02	0.07	0.15	0.08	0.17	0.22	-	-
Cl	16	20	8.62	0.14	0.59	2.31	0.36	0.29	0.11	0.18	2.08	2.32
Ar	14	19	0.90	0.02	1.16	-	-	-	0.29	0.29	2.62	2.74
K	11	13	0.36	0.18	2.03	0.05	0.06	0.23	0.24	0.24	0.05	0.05
Ca	13	16	0.79	0.39	1.60	0.03	0.08	0.09	0.53	0.53	0.02	0.00
Sc	17	20	4.43	1.25	2.84	0.11	0.13	0.06	16.41	11.61	0.03	0.13
Ti	23	26	4.12	1.05	1.63	0.00	0.00	0.07	9.63	6.80	0.27	0.36
V	27	31	2.64	1.75	2.15	0.00	0.02	0.11	0.07	0.07	0.20	0.20
Cr	27	32	3.74	11.65	19.80	0.30	0.24	0.09	0.34	0.34	0.02	0.02
Mn	33	37	2.23	7.75	16.33	0.16	0.14	0.08	0.13	0.18	0.23	0.15
Fe	25	32	3.93	6.12	9.75	0.11	0.10	0.09	0.30	0.30	0.00	0.00
Co	26	31	3.43	0.33	0.44	0.06	0.06	0.09	24.73	17.49	0.01	0.13
Ni	29	34	2.93	0.54	0.76	0.10	0.10	0.09	0.15	0.15	0.05	0.07
Cu	32	35	3.05	0.31	0.54	0.11	0.06	0.07	0.52	0.52	0.00	0.03
Zn	27	30	0.34	0.80	2.11	0.04	0.03	0.12	39.60	28.00	0.09	0.00
Ga	29	34	0.65	0.97	2.94	0.03	0.01	0.06	0.04	0.07	0.09	0.04
Ge	22	25	1.77	0.41	0.87	0.01	0.05	0.17	1.21	1.21	0.04	0.04
As	27	30	1.28	0.71	1.39	0.02	0.05	0.05	0.19	0.23	0.03	0.03
Se	27	30	3.35	0.12	0.25	0.06	0.10	0.14	0.36	0.36	0.15	0.08
Br	11	14	1.09	0.15	0.49	0.06	0.01	0.22	0.21	0.17	0.05	0.11
Kr	19	22	7.04	0.03	2.27	-	-	-	0.06	0.06	0.82	1.02
Rb	7	9	0.38	0.24	2.90	0.06	0.05	0.09	0.02	0.02	0.25	0.25
Sr	10	13	0.92	0.97	4.48	0.06	0.09	0.19	0.20	0.20	0.02	0.06
Y	13	16	2.67	1.09	2.46	0.15	0.16	0.06	0.38	0.31	0.00	0.05
Zr	13	17	2.35	1.33	1.82	0.01	0.03	0.07	0.97	0.70	0.12	0.00
Nb	24	28	1.18	1.53	1.50	0.03	0.02	0.10	0.88	0.88	0.01	0.01
Mo	19	23	1.30	1.60	1.17	0.08	0.03	0.13	0.25	0.25	0.01	0.01
Tc	12	14	4.32	0.61	0.43	0.02	0.08	0.11	3.21	2.27	0.50	0.07
Ru	19	24	2.81	2.35	1.63	0.19	0.16	0.12	5.38	3.80	0.01	0.02
Rh	21	25	1.53	2.61	2.17	0.13	0.11	0.09	0.08	0.08	0.02	0.01
Pd	21	24	1.95	3.70	4.27	0.11	0.09	0.10	0.38	0.38	0.02	0.03
Ag	18	22	1.14	0.29	0.52	0.09	0.14	0.13	0.42	0.42	0.03	0.03
Cd	19	24	0.40	0.43	1.28	0.01	0.05	0.06	14.72	10.41	0.16	0.11
In	17	20	0.40	0.39	1.22	0.05	0.03	0.10	0.44	0.31	0.03	0.01
Sn	16	18	4.16	0.89	2.05	0.06	0.06	0.08	0.50	0.50	0.10	0.10
Sb	22	24	0.69	0.42	0.78	0.01	0.03	0.06	0.25	0.13	0.14	0.00
Te	22	25	2.23	0.43	0.82	0.07	0.11	0.12	0.14	0.12	0.01	0.02
I	9	14	2.09	0.02	0.08	0.08	0.04	0.03	0.10	0.13	1.03	0.58
Xe	10	12	0.84	0.05	2.90	-	-	-	0.08	0.08	4.01	4.10
Cs	13	15	9.33	0.12	1.56	1.34	1.07	0.09	0.09	0.09	0.11	0.11
Ba	8	11	0.85	0.33	1.82	0.09	0.08	0.10	0.07	0.07	0.01	0.01
La	15	18	1.73	-	-	0.04	0.02	0.09	-	-	-	-
Hf	12	15	2.82	0.40	0.50	0.03	0.09	0.20	0.08	0.36	0.03	0.04
Ta	14	17	1.52	0.67	0.57	0.22	0.22	0.10	0.13	0.13	0.01	0.01
W	13	16	3.68	0.14	0.08	0.31	0.30	0.15	0.46	0.46	0.09	0.09
Re	13	16	2.89	0.34	0.19	0.22	0.19	0.16	0.25	0.25	0.25	0.01
Os	14	16	4.26	0.33	0.18	0.21	0.17	0.15	0.32	0.18	0.01	0.02
Ir	13	17	5.15	1.00	0.60	0.07	0.03	0.11	0.42	0.42	0.03	0.02
Pt	17	21	5.19	0.16	0.12	0.03	0.03	0.08	0.06	0.06	0.03	0.02
Au	16	19	1.48	0.21	0.24	0.05	0.08	0.10	0.65	0.65	0.01	0.01
Hg	20	23	2.35	0.77	8.24	0.08	0.34	0.24	0.07	0.37	0.20	0.19
Tl	12	14	0.37	0.20	0.71	0.07	0.06	0.06	0.33	0.34	0.50	0.39
Pb	12	14	2.59	0.08	0.20	0.01	0.01	0.10	0.12	0.12	0.05	0.07
Bi	14	19	2.79	0.42	0.79	0.00	0.01	0.07	0.04	0.07	0.07	0.06

Hydrogen (H)



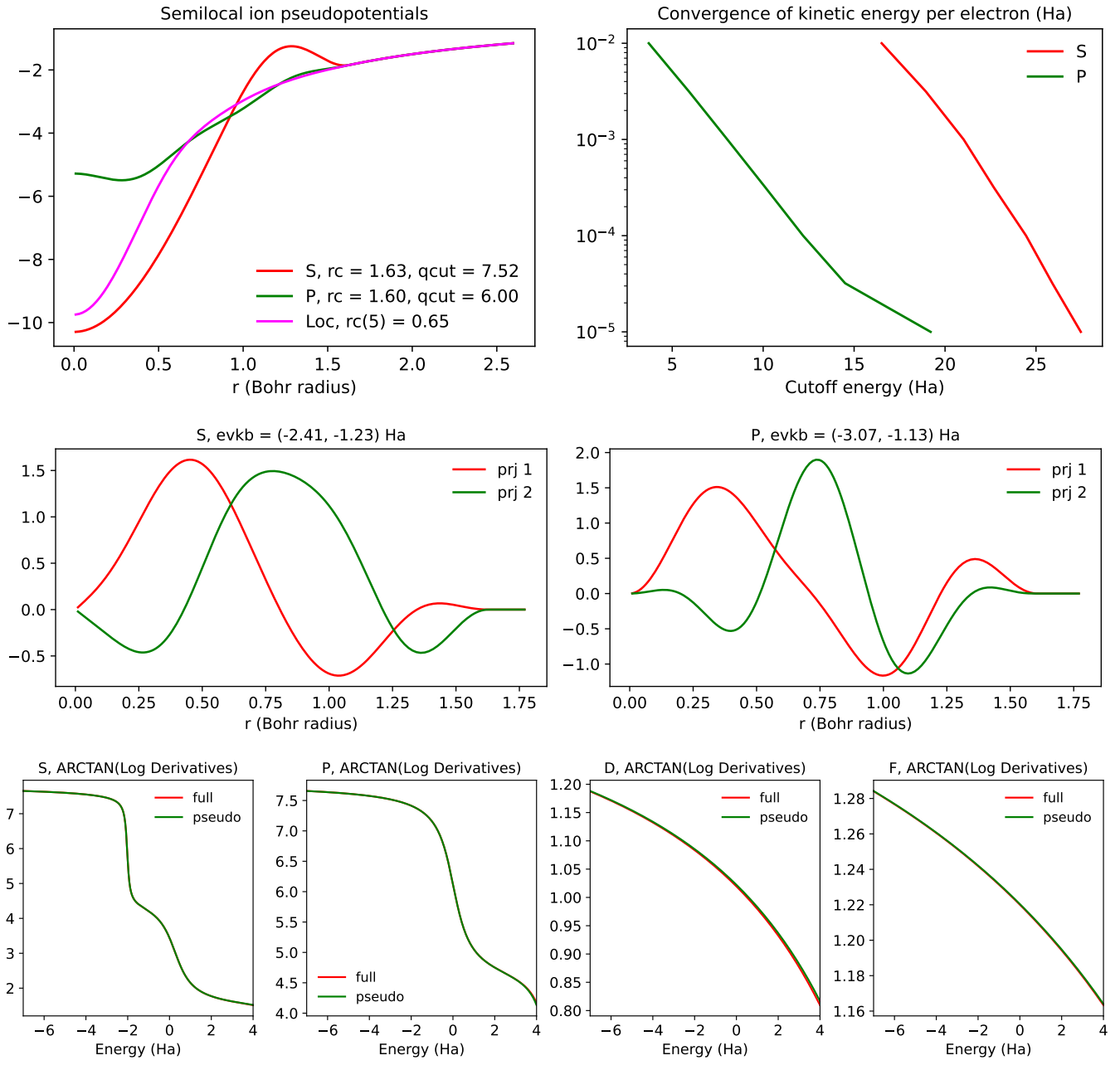
	E_{cut}		$\delta_{\Delta E}$	Δ	Δ'	δ_{lat}			δ_{asr}		δ_{ω}	
	$\delta_E = 10^{-3}$	$\delta_E = 10^{-4}$				BCC	FCC	COMP	LAP	HAP	LOP	HOP
SPMS	20	30	0.61	0.16	2.62	0.06	0.10	-	0.16	0.21	0.23	0.90
PseudoDojo	19	29	0.60	0.15	2.49	0.06	0.10	-	0.16	0.21	0.16	1.53
SG15	21	32	0.43	0.07	1.21	0.02	0.05	-	0.16	0.17	0.55	0.43

Helium (He)



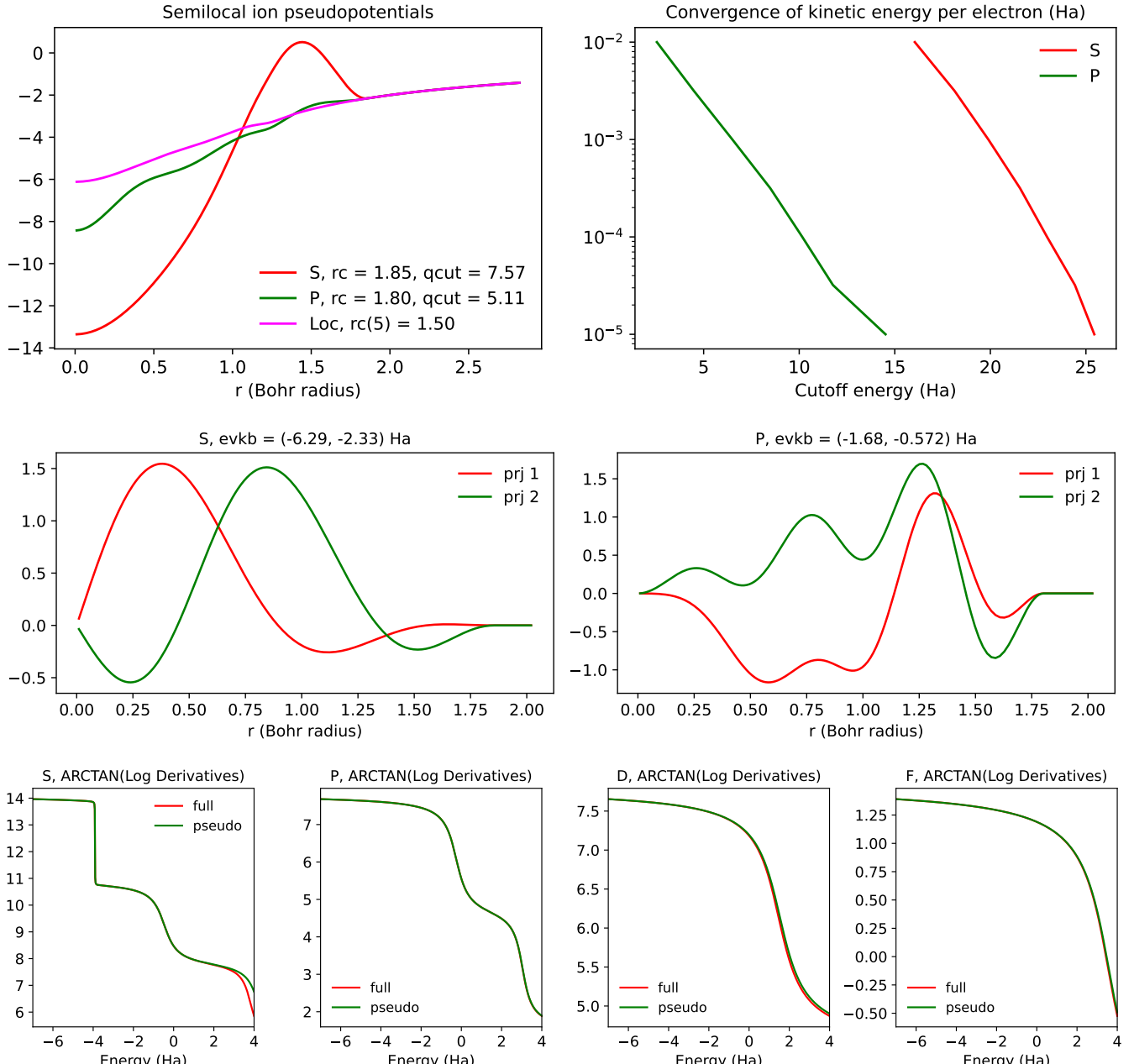
	E_{cut}		$\delta_{\Delta E}$	Δ	Δ'	δ_{lat}			δ_{asr}		δ_{ω}	
	$\delta_E = 10^{-3}$	$\delta_E = 10^{-4}$				BCC	FCC	COMP	LAP	HAP	LOP	HOP
SPMS	27	32	2.13	0.02	4.18	-	-	-	0.69	0.59	4.10	1.58
PseudoDojo	29	36	2.13	0.02	4.16	-	-	-	0.71	0.57	1.30	2.22
SG15	17	21	2.13	0.01	2.49	-	-	-	0.57	0.47	5.14	4.42

Lithium (Li)



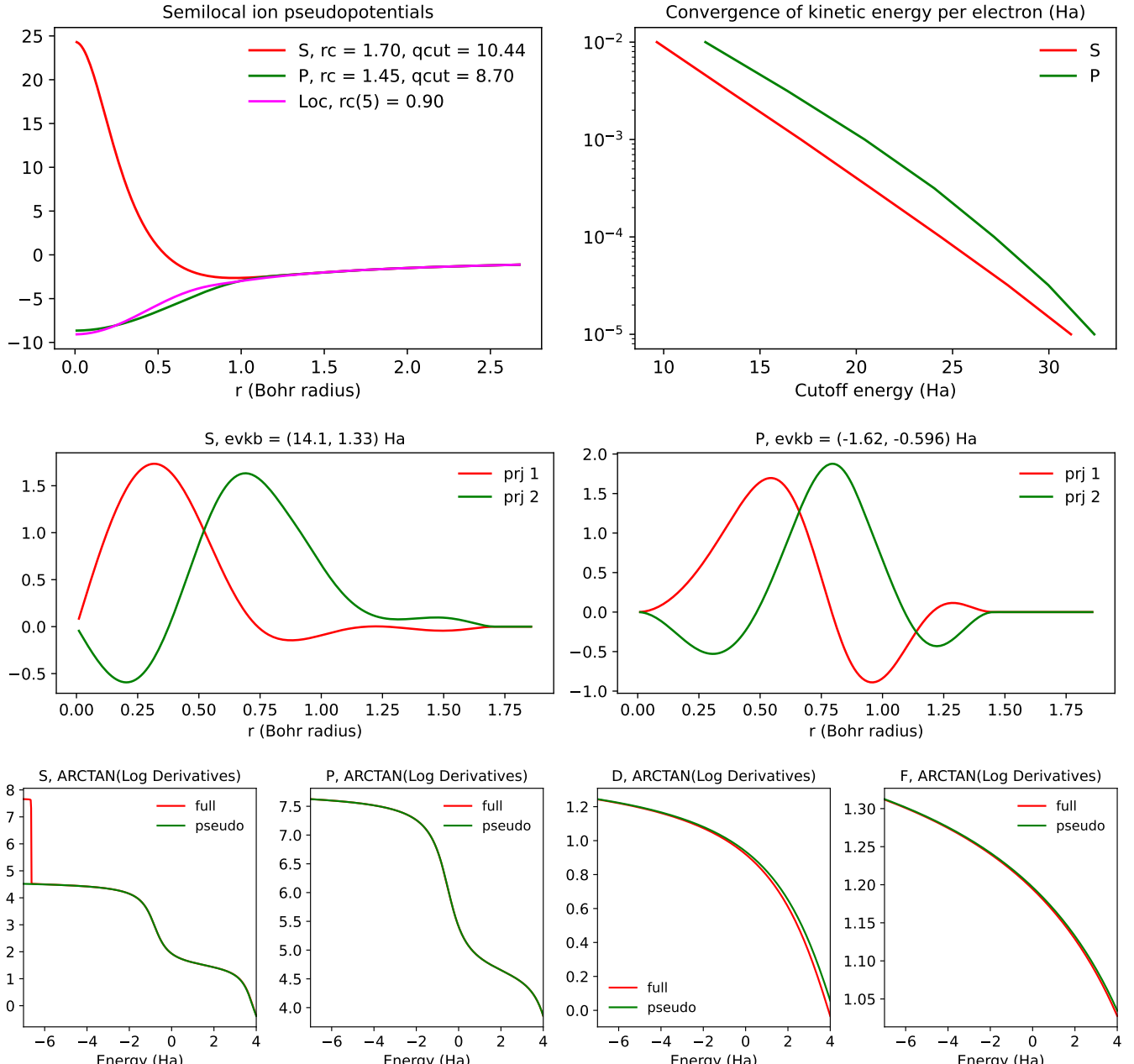
	E_{cut}		$\delta_{\Delta E}$	Δ	Δ'	δ_{lat}			δ_{asr}		δ_{ω}	
	$\delta_E = 10^{-3}$	$\delta_E = 10^{-4}$				BCC	FCC	COMP	LAP	HAP	LOP	HOP
SPMS	22	26	2.42	0.24	2.59	0.59	0.51	0.11	0.52	0.34	0.08	0.04
PseudoDojo	29	33	2.14	0.17	1.85	0.54	0.47	0.11	0.58	0.41	0.41	0.13
SG15	25	30	2.27	0.20	2.17	0.56	0.48	0.12	0.38	0.05	0.29	0.05

Beryllium (Be)



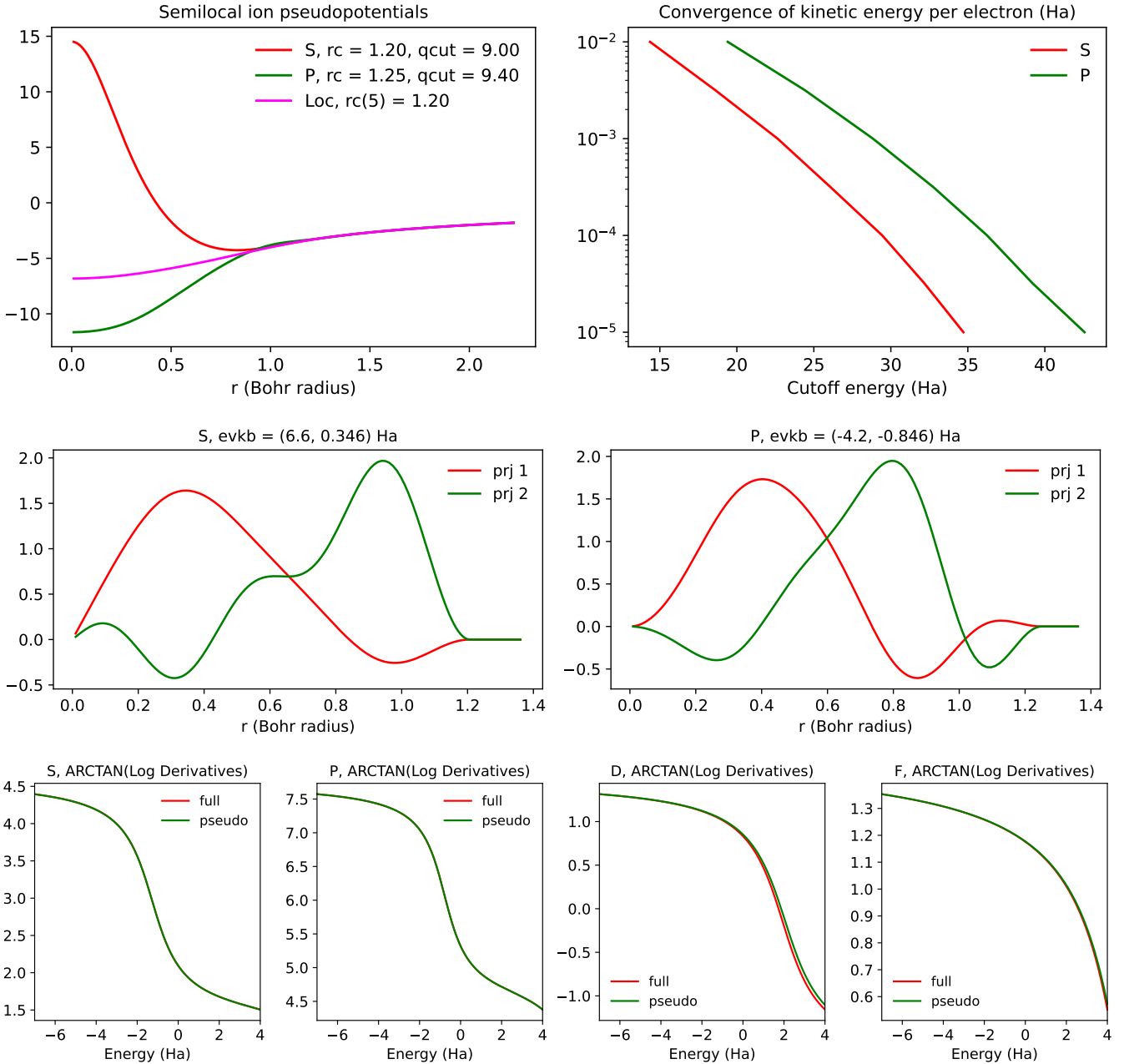
	E_{cut}		$\delta_{\Delta E}$	Δ	Δ'	δ_{lat}			δ_{asr}		δ_{ω}	
	$\delta_E = 10^{-3}$	$\delta_E = 10^{-4}$				BCC	FCC	COMP	LAP	HAP	LOP	HOP
SPMS	22	26	0.19	0.27	0.84	0.04	0.02	0.09	0.82	0.54	0.05	0.01
PseudoDojo	35	40	1.20	1.44	4.38	0.22	0.22	0.07	1.38	0.66	0.07	0.04
SG15	20	26	0.30	0.58	1.78	0.10	0.08	0.12	0.93	1.42	0.07	0.04

Boron (B)



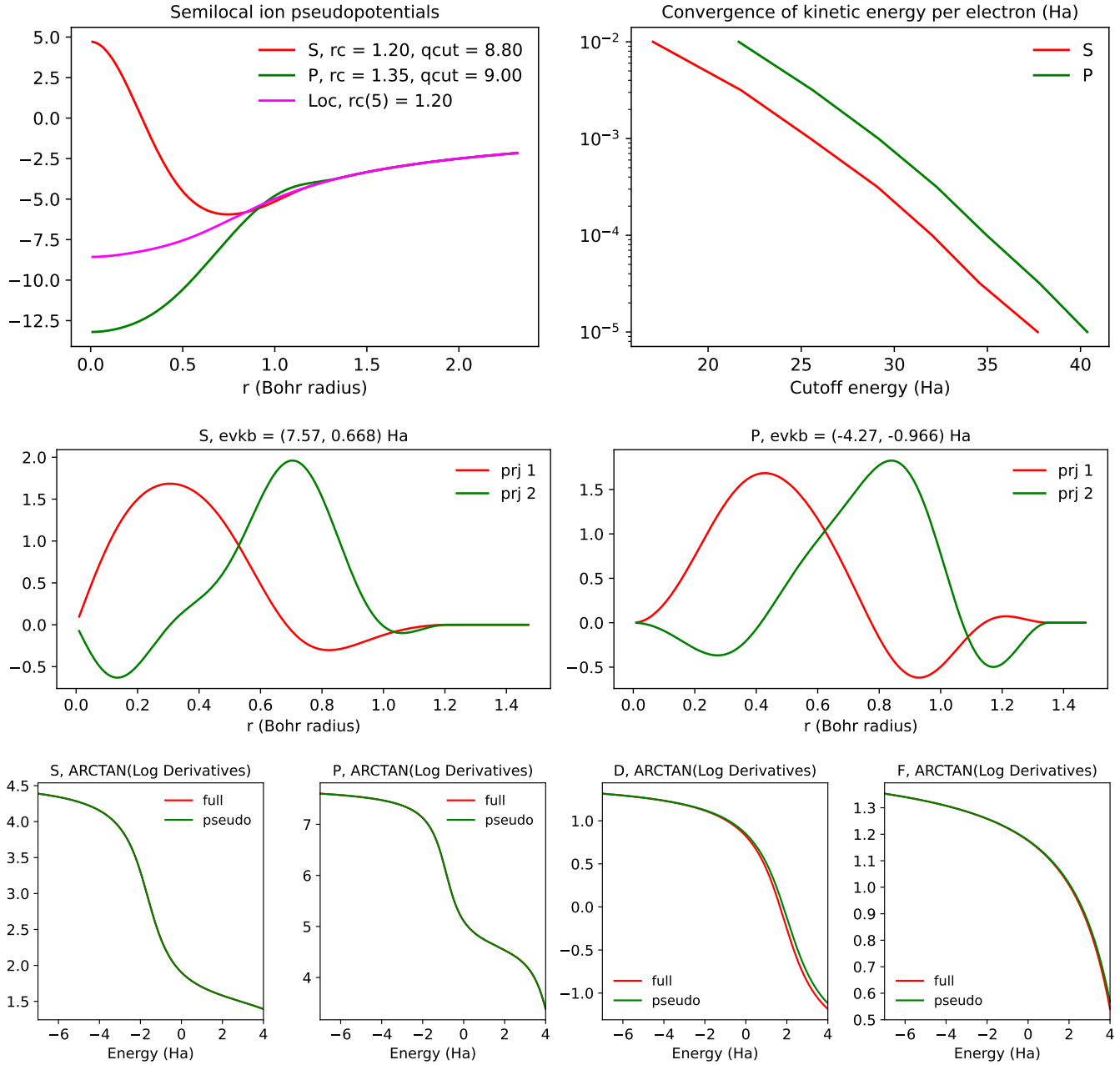
	E_{cut}		$\delta_{\Delta E}$	Δ	Δ'	δ_{lat}			δ_{asr}		δ_{ω}	
	$\delta_E = 10^{-3}$	$\delta_E = 10^{-4}$				BCC	FCC	COMP	LAP	HAP	LOP	HOP
SPMS	22	29	0.74	0.99	1.75	0.03	0.03	0.16	0.31	0.50	0.10	0.00
PseudoDojo	26	33	2.36	0.35	0.61	0.06	0.06	0.05	0.16	0.29	0.01	0.00
SG15	17	22	3.58	3.13	5.55	0.06	0.01	0.08	3.36	4.32	0.02	0.01

Carbon (C)



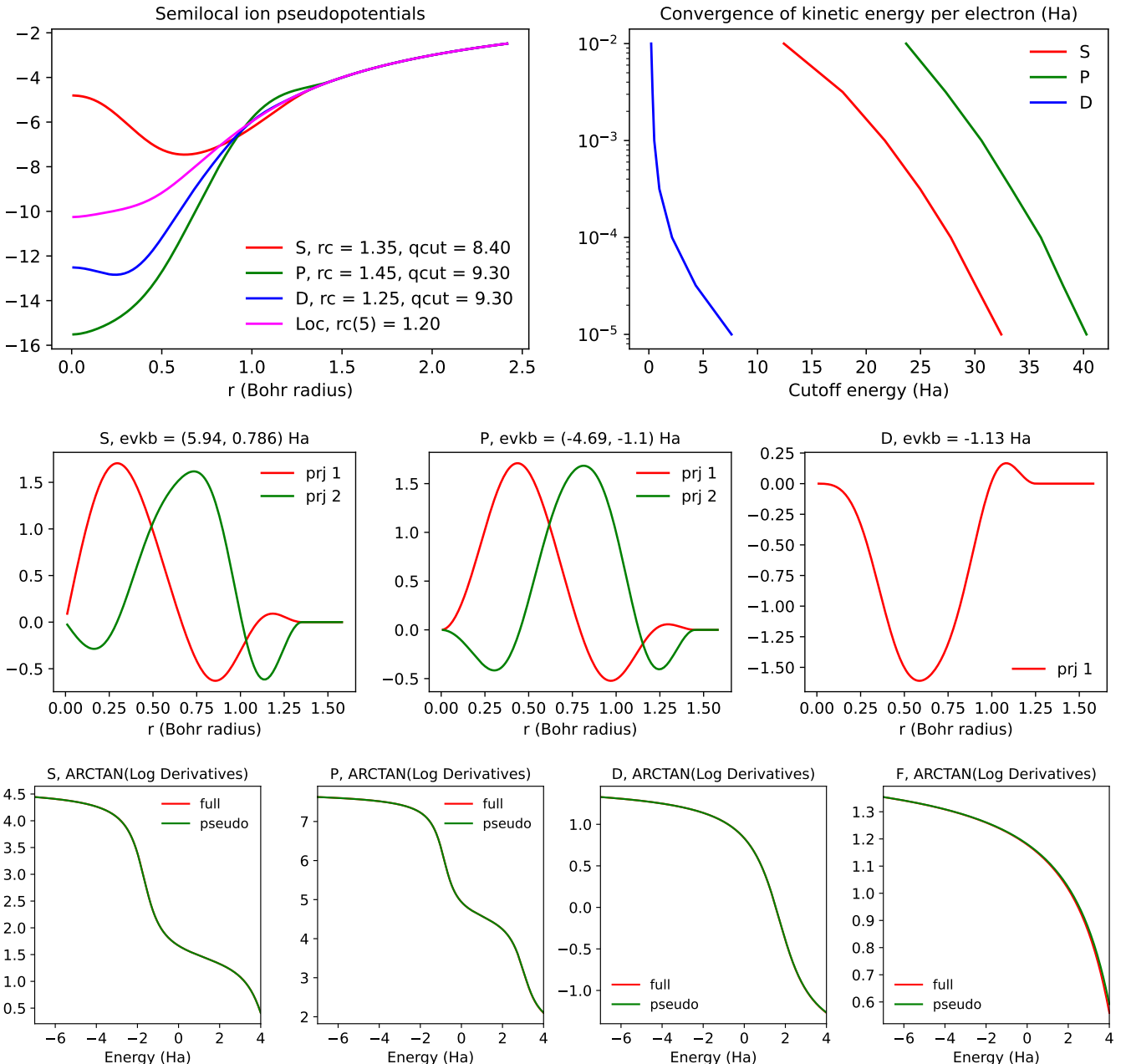
	E_{cut}		$\delta_{\Delta E}$	Δ	Δ'	δ_{lat}			δ_{asr}		δ_{ω}	
	$\delta_E = 10^{-3}$	$\delta_E = 10^{-4}$				BCC	FCC	COMP	LAP	HAP	LOP	HOP
SPMS	31	38	7.71	0.03	0.04	0.75	0.06	0.02	0.93	0.64	5.58	0.08
PseudoDojo	31	38	7.59	0.12	0.15	0.74	0.06	0.07	0.74	0.25	5.56	0.07
SG15	30	52	2.59	2.31	2.88	0.40	0.17	0.05	4.74	4.91	6.84	0.03

Nitrogen (N)



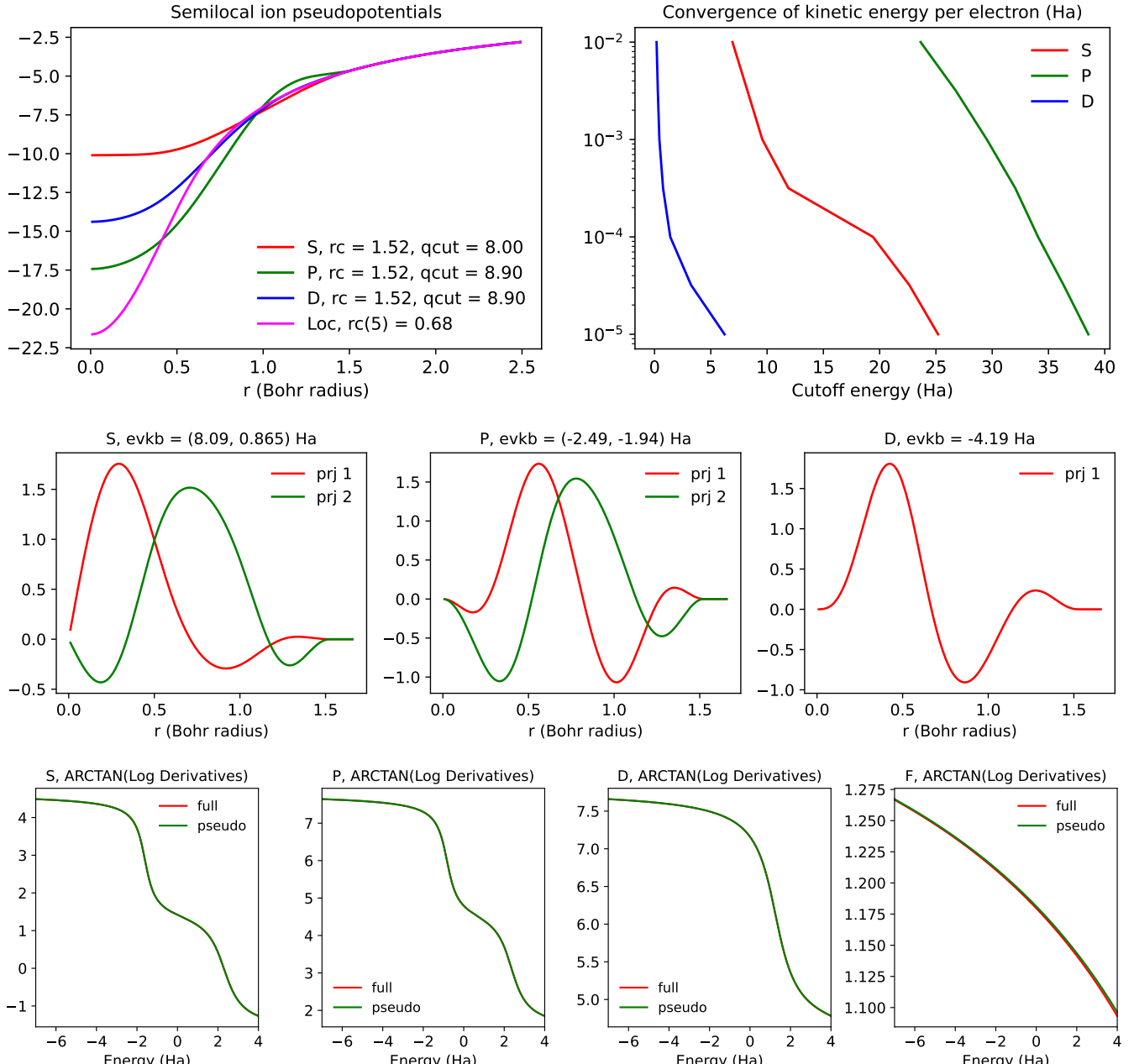
	E_{cut}		$\delta_{\Delta E}$	Δ	Δ'	δ_{lat}			δ_{asr}		δ_{ω}	
	$\delta_E = 10^{-3}$	$\delta_E = 10^{-4}$				BCC	FCC	COMP	LAP	HAP	LOP	HOP
SPMS	32	38	3.34	0.18	0.35	0.04	0.16	0.07	0.67	0.67	3.74	1.70
PseudoDojo	32	37	3.31	0.19	0.37	0.04	0.16	0.06	0.43	0.43	7.05	3.08
SG15	32	38	2.39	1.20	2.32	0.08	0.14	0.05	5.05	5.05	2.71	1.44

Oxygen (O)



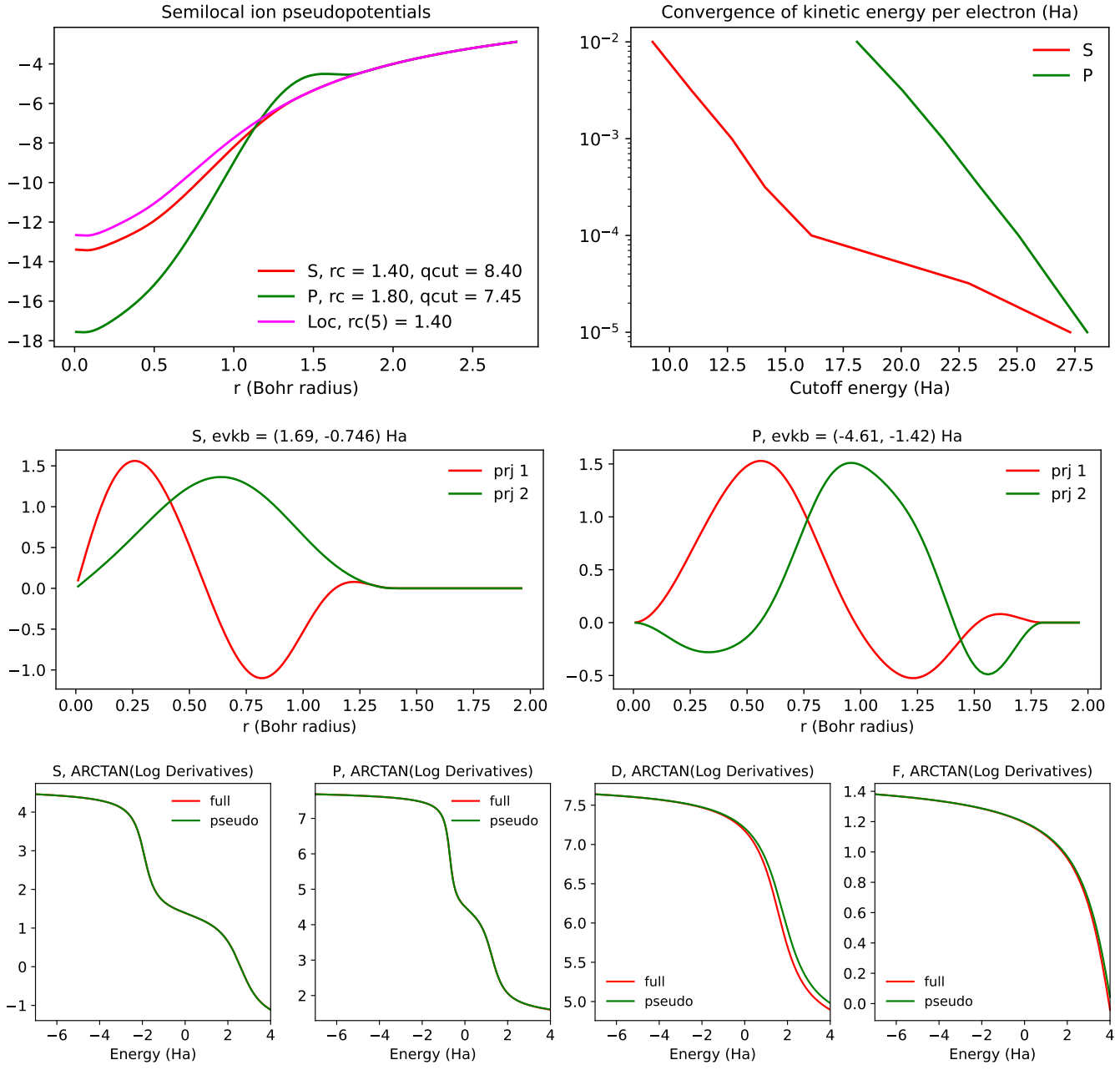
	E_{cut}		$\delta_{\Delta E}$	Δ	Δ'	δ_{lat}			δ_{asr}		δ_{ω}	
	$\delta_E = 10^{-3}$	$\delta_E = 10^{-4}$				BCC	FCC	COMP	LAP	HAP	LOP	HOP
SPMS	34	38	4.30	2.02	6.51	0.06	0.67	0.16	0.26	0.35	7.21	2.05
PseudoDojo	34	38	4.33	2.02	6.53	0.06	0.67	0.18	0.57	0.26	7.75	2.31
SG15	36	49	3.09	0.35	1.10	0.03	0.70	0.12	15.01	7.35	2.99	0.64

Fluorine (F)



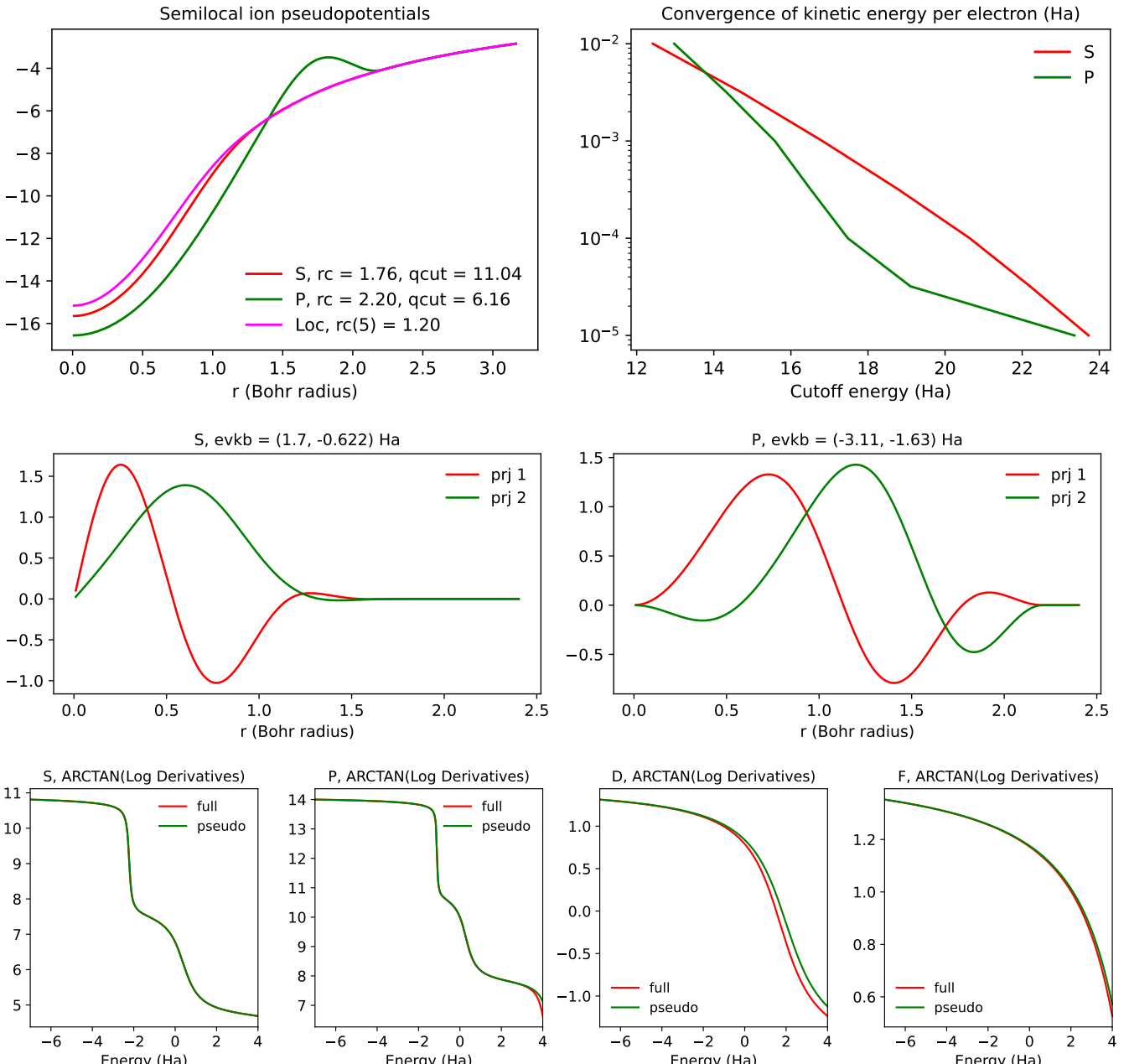
	E_{cut}		$\delta_{\Delta E}$	Δ	Δ'	δ_{lat}			δ_{asr}		δ_{ω}	
	$\delta_E = 10^{-3}$	$\delta_E = 10^{-4}$				BCC	FCC	COMP	LAP	HAP	LOP	HOP
SPMS	33	37	5.36	0.20	0.93	0.55	0.92	0.29	0.14	0.48	0.36	0.44
PseudoDojo	34	39	5.36	0.13	0.60	0.55	0.92	0.26	0.03	0.33	2.17	1.09
SG15	32	37	4.94	0.90	4.09	0.51	0.96	0.26	6.83	5.85	10.31	1.18

Neon (Ne)



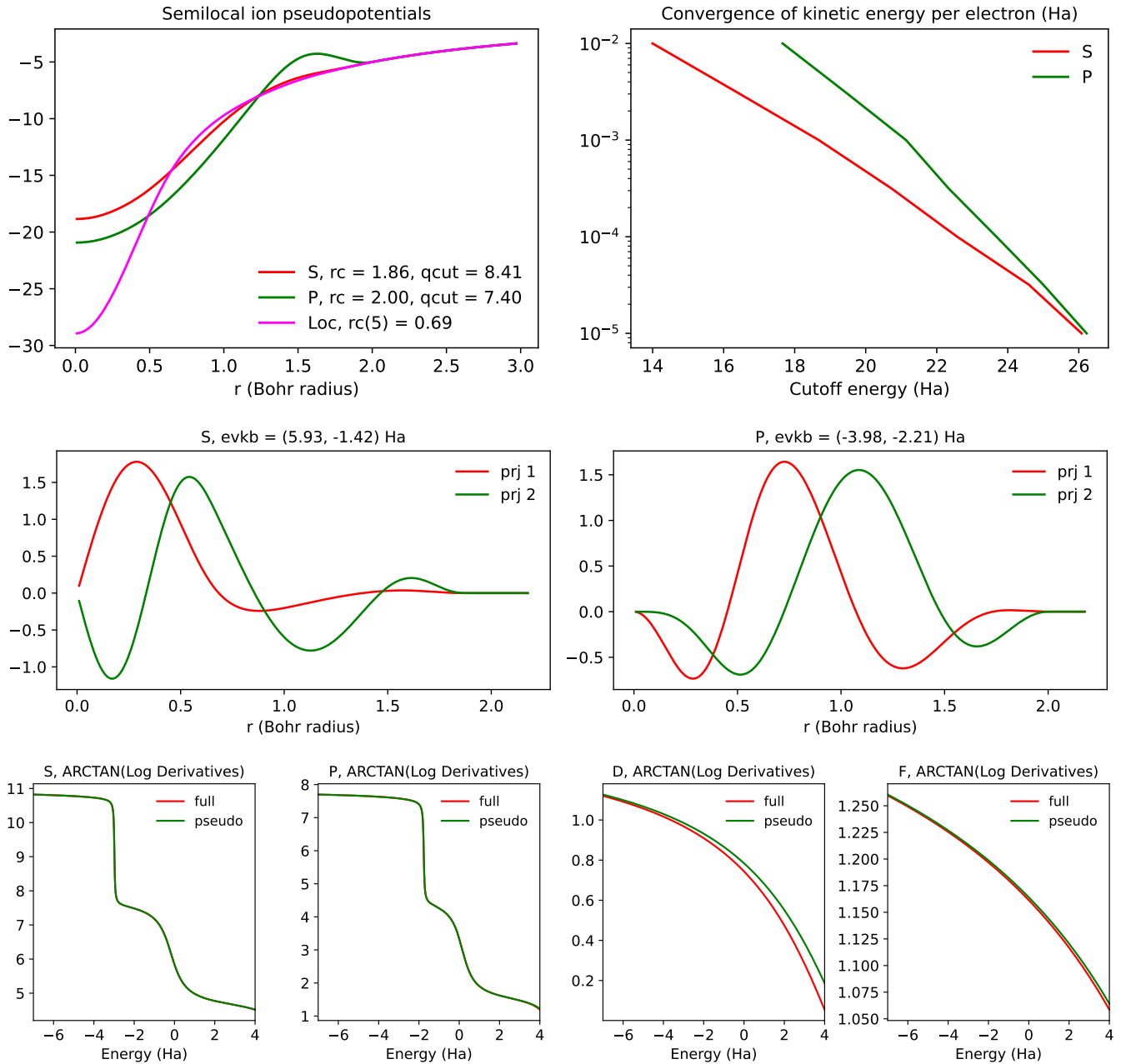
	E_{cut}		$\delta_{\Delta E}$	Δ	Δ'	δ_{lat}			δ_{asr}		δ_{ω}	
	$\delta_E = 10^{-3}$	$\delta_E = 10^{-4}$				BCC	FCC	COMP	LAP	HAP	LOP	HOP
SPMS	24	28	0.65	0.03	2.56	-	-	-	2.03	2.03	6.54	4.78
PseudoDojo	28	32	0.65	0.04	4.04	-	-	-	4.24	4.24	5.94	4.41
SG15	17	19	0.64	0.02	2.11	-	-	-	0.44	0.44	32.05	25.28

Sodium (Na)



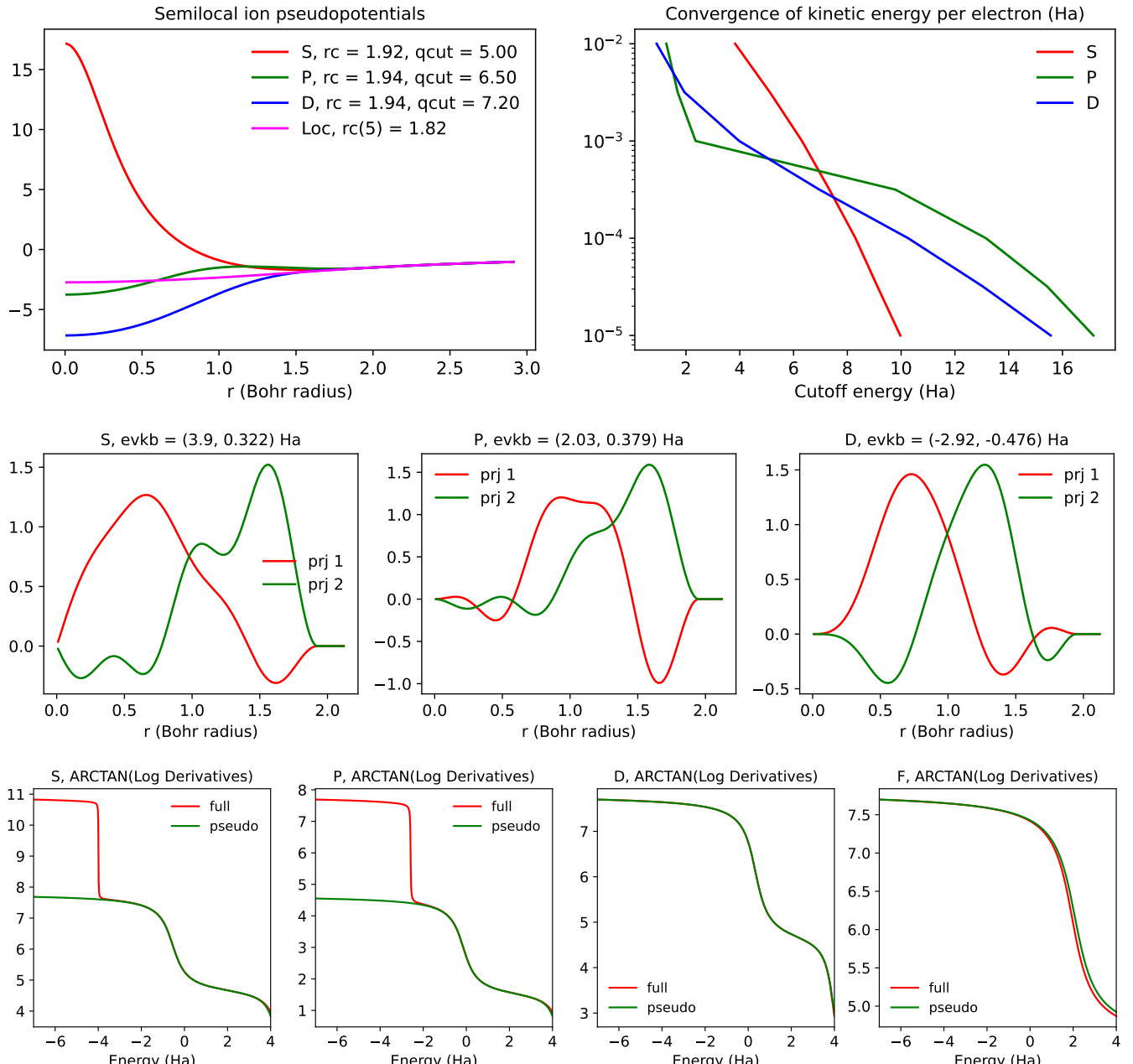
	E_{cut}		$\delta_{\Delta E}$	Δ	Δ'	δ_{lat}			δ_{asr}		δ_{ω}	
	$\delta_E = 10^{-3}$	$\delta_E = 10^{-4}$				BCC	FCC	COMP	LAP	HAP	LOP	HOP
SPMS	19	24	2.77	0.20	2.13	0.69	0.69	0.24	0.22	0.16	0.02	0.21
PseudoDojo	35	39	1.48	0.44	4.58	0.34	0.34	0.09	0.20	4.81	0.61	0.20
SG15	29	41	1.48	0.41	4.27	0.36	0.36	0.10	0.02	0.17	0.05	0.06

Magnesium (Mg)



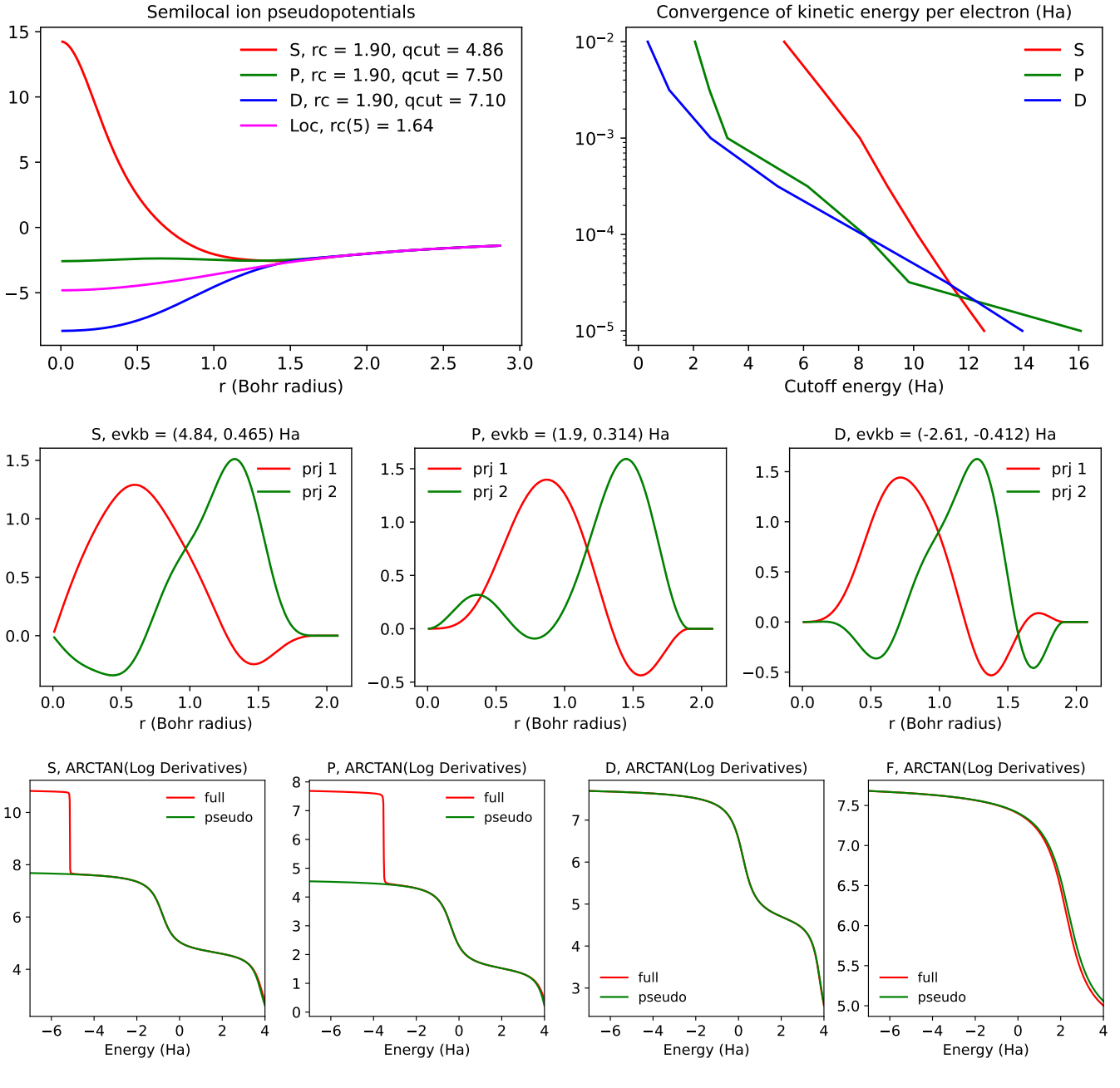
	E_{cut}		$\delta_{\Delta E}$	Δ	Δ'	δ_{lat}			δ_{asr}		δ_{ω}	
	$\delta_E = 10^{-3}$	$\delta_E = 10^{-4}$				BCC	FCC	COMP	LAP	HAP	LOP	HOP
SPMS	23	28	0.61	0.12	0.44	0.02	0.02	0.11	0.16	0.29	0.05	0.03
PseudoDojo	36	39	0.80	0.42	1.54	0.04	0.04	0.07	2.91	4.62	0.01	0.13
SG15	28	44	0.91	0.42	1.51	0.04	0.03	0.08	0.14	0.61	0.00	0.02

Aluminium (Al)



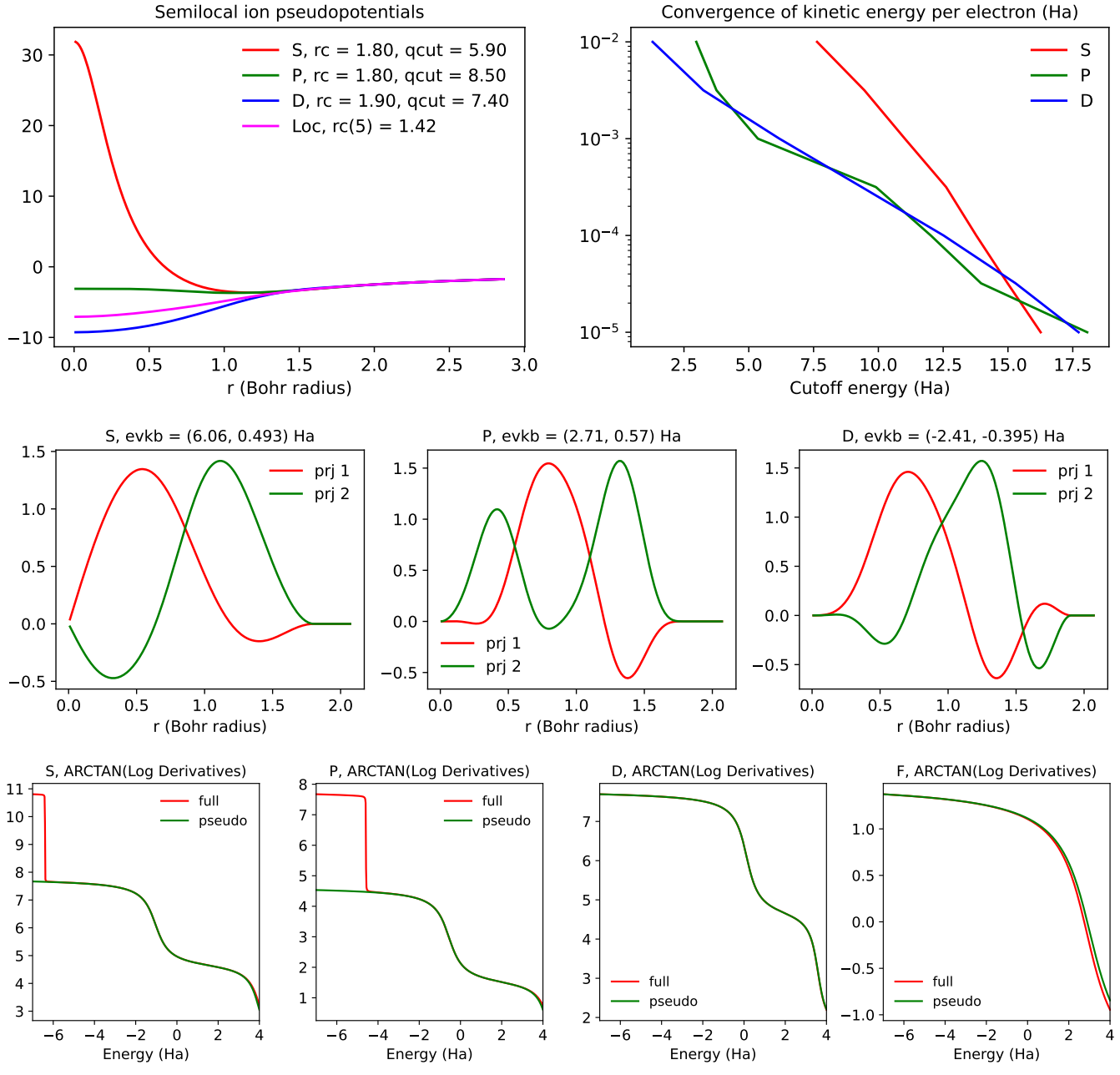
	E_{cut}		$\delta_{\Delta E}$	Δ	Δ'	δ_{lat}			δ_{asr}		δ_{ω}	
	$\delta_E = 10^{-3}$	$\delta_E = 10^{-4}$				BCC	FCC	COMP	LAP	HAP	LOP	HOP
SPMS	9	14	1.92	0.52	1.21	0.14	0.14	0.07	0.16	0.16	0.17	0.15
PseudoDojo	11	17	2.10	0.57	1.33	0.16	0.15	0.08	0.12	0.12	0.36	0.19
SG15	29	35	1.45	1.04	2.44	0.05	0.05	0.08	-	-	-	-

Silicon (Si)



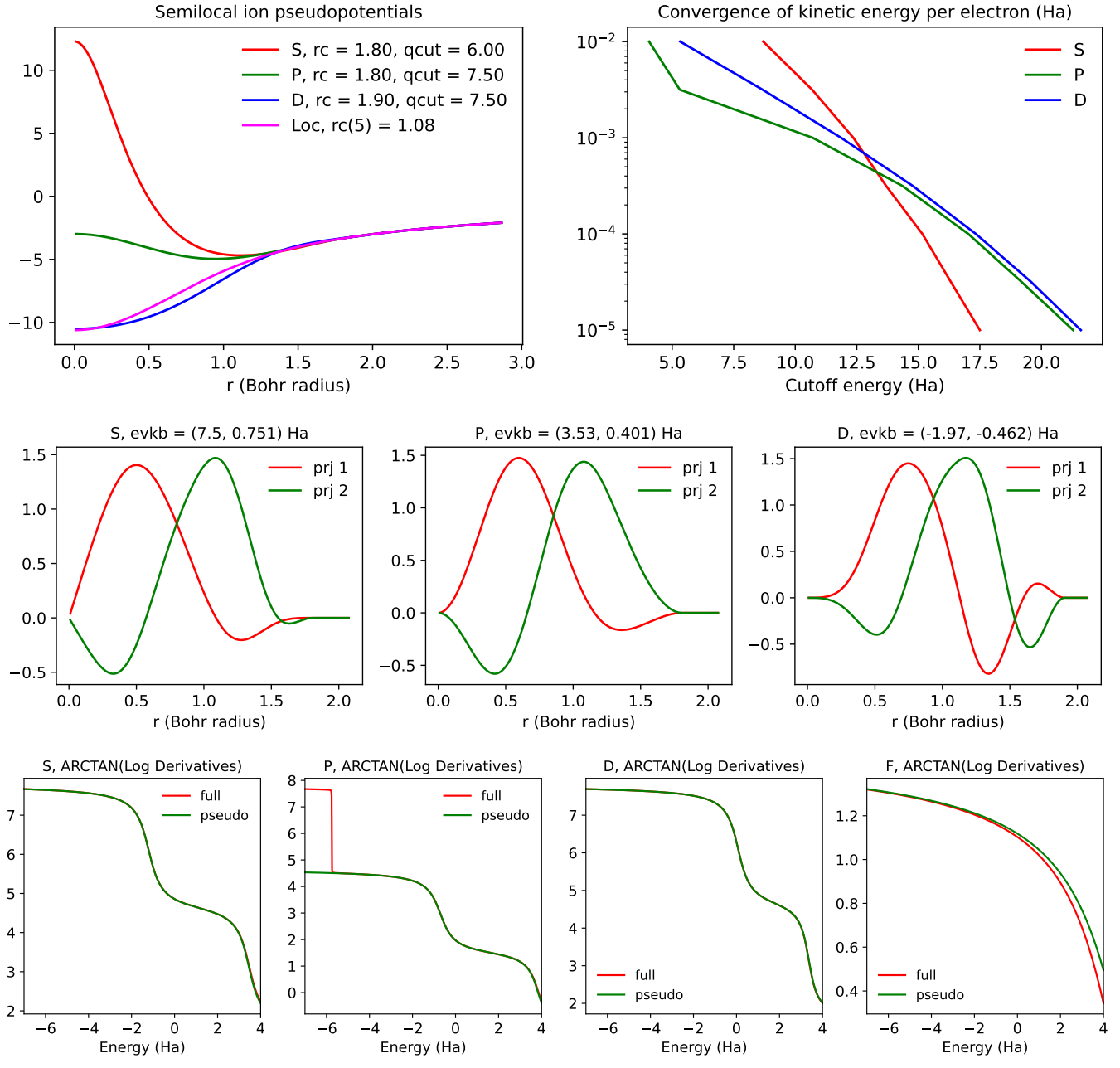
	E_{cut}		$\delta_{\Delta E}$	Δ	Δ'	δ_{lat}			δ_{asr}		δ_{ω}	
	$\delta_E = 10^{-3}$	$\delta_E = 10^{-4}$				BCC	FCC	COMP	LAP	HAP	LOP	HOP
SPMS	9	15	1.63	0.16	0.27	0.63	0.24	0.10	1.51	1.51	0.03	0.03
PseudoDojo	9	15	1.61	0.15	0.25	0.63	0.24	0.09	1.50	1.50	0.01	0.01
SG15	11	20	1.14	1.69	2.82	0.68	0.29	0.06	1.38	1.38	0.01	0.01

Phosphorus (P)



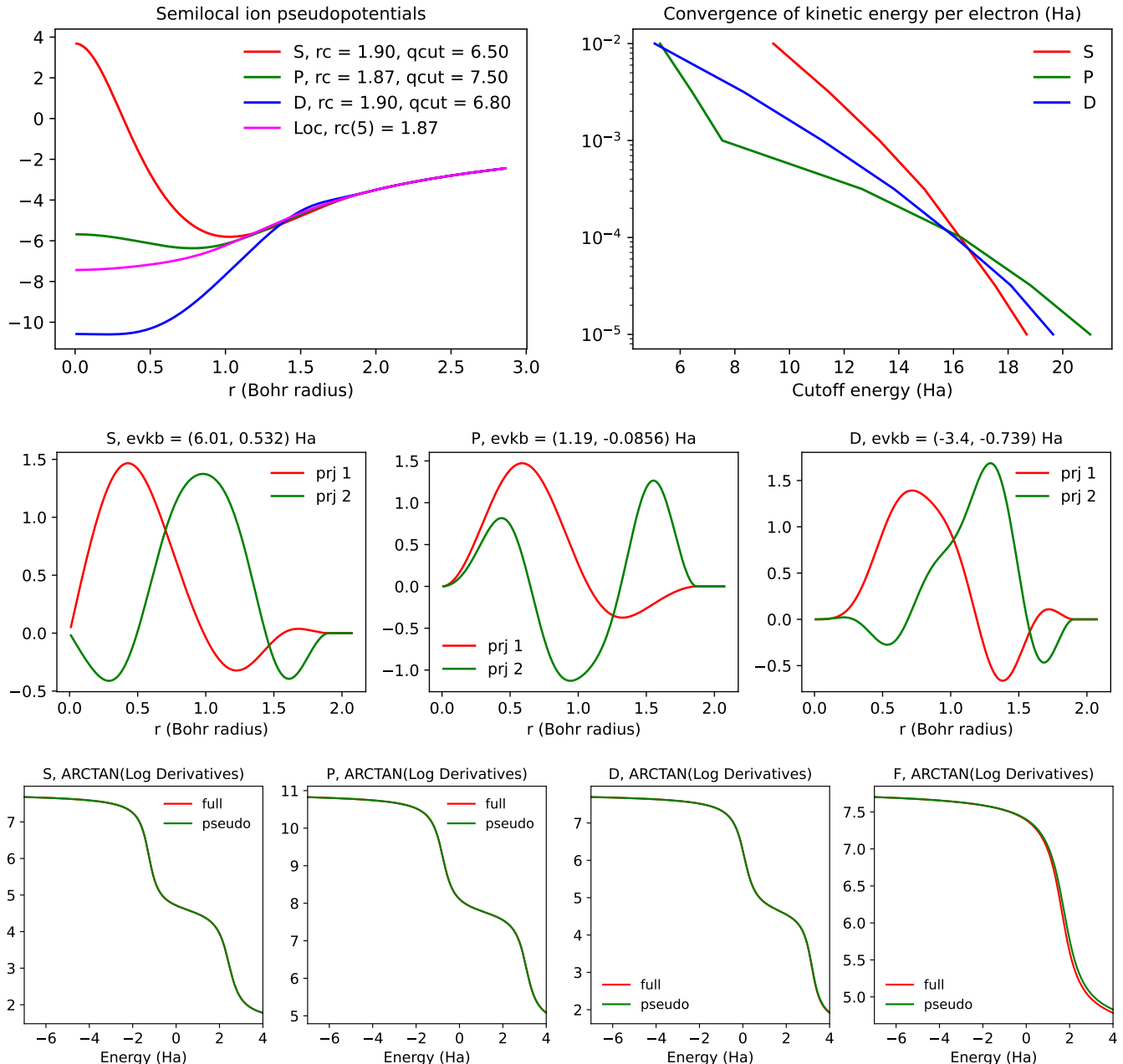
	E_{cut}		$\delta_{\Delta E}$	Δ	Δ'	δ_{lat}			δ_{asr}		δ_{ω}	
	$\delta_E = 10^{-3}$	$\delta_E = 10^{-4}$				BCC	FCC	COMP	LAP	HAP	LOP	HOP
SPMS	13	17	0.52	0.17	0.34	0.01	0.00	0.08	0.08	0.03	0.60	0.07
PseudoDojo	13	18	0.57	0.15	0.31	0.01	0.01	0.05	0.08	0.02	1.62	0.03
SG15	18	29	0.74	0.05	0.10	0.02	0.01	0.03	0.06	0.15	0.57	0.08

Sulfur (S)



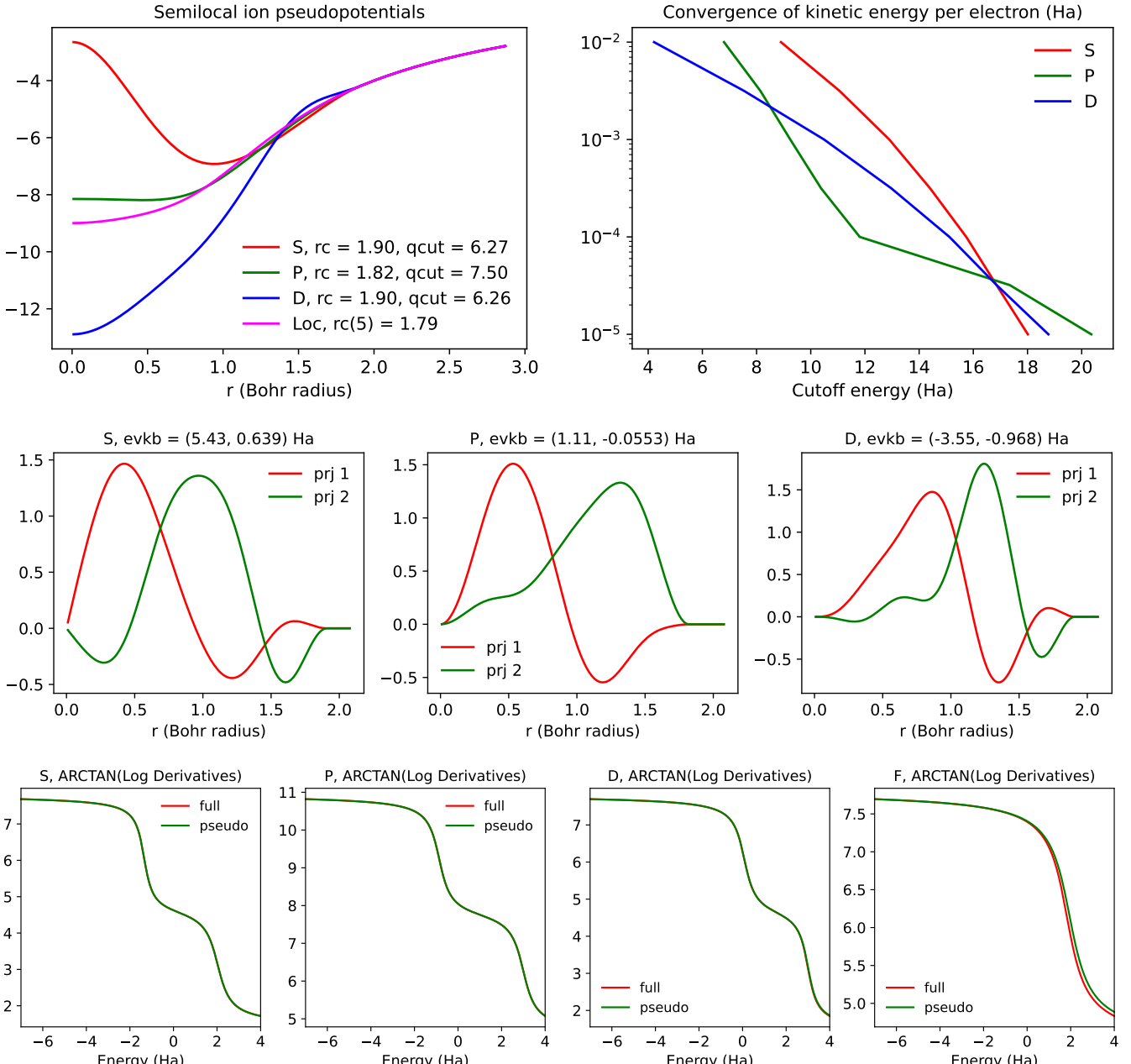
	E_{cut}		$\delta_{\Delta E}$	Δ	Δ'	δ_{lat}			δ_{asr}		δ_{ω}	
	$\delta_E = 10^{-3}$	$\delta_E = 10^{-4}$				BCC	FCC	COMP	LAP	HAP	LOP	HOP
SPMS	15	20	1.02	0.01	0.02	0.07	0.15	0.08	0.17	0.22	-	-
PseudoDojo	16	20	1.04	0.04	0.08	0.07	0.15	0.09	0.24	0.26	-	-
SG15	18	33	4.15	1.80	3.74	0.27	0.33	0.09	0.66	3.05	-	-

Chlorine (Cl)



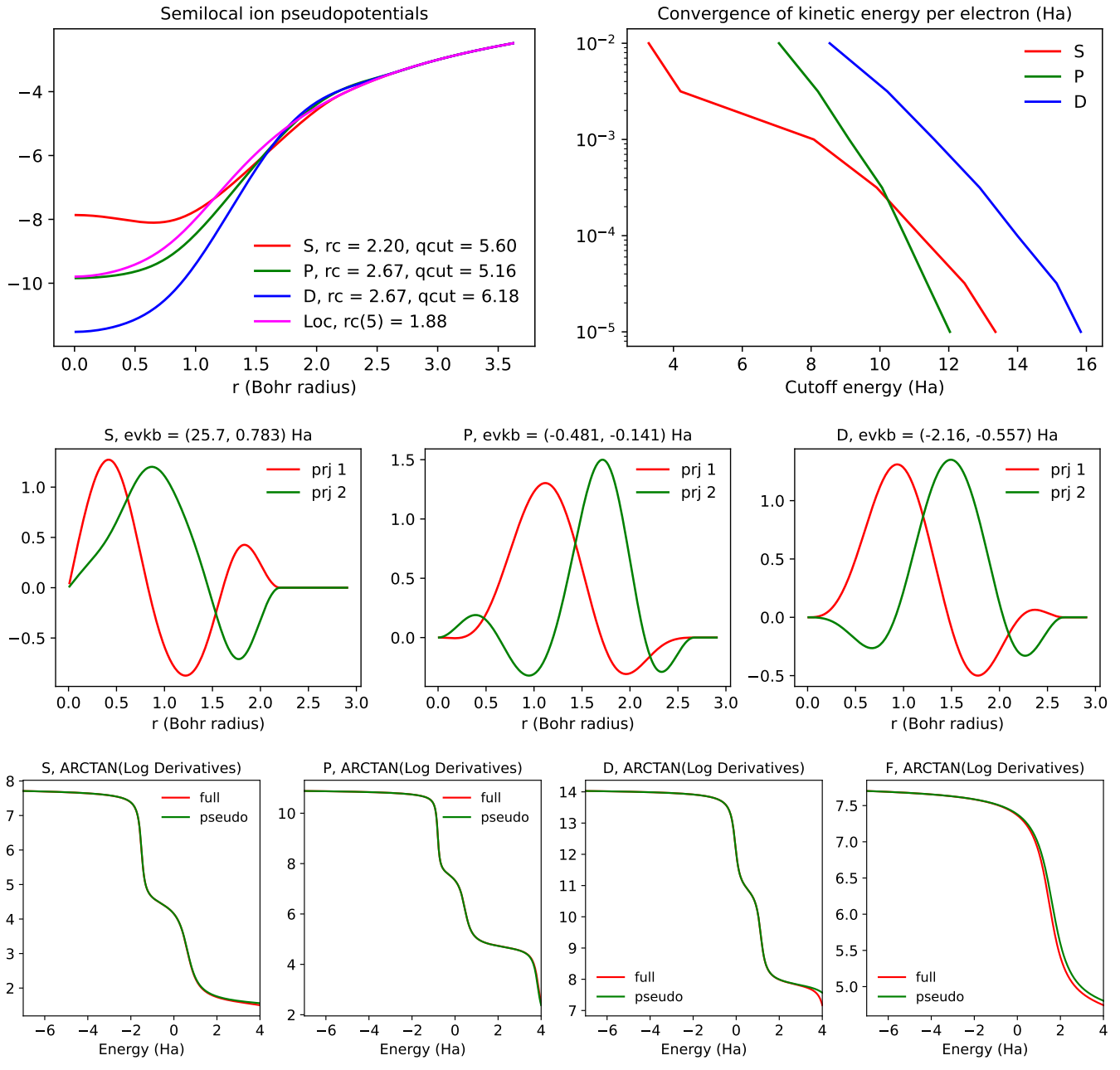
	E_{cut}		$\delta_{\Delta E}$	Δ	Δ'	δ_{lat}			δ_{asr}		δ_{ω}	
	$\delta_E = 10^{-3}$	$\delta_E = 10^{-4}$				BCC	FCC	COMP	LAP	HAP	LOP	HOP
SPMS	16	20	8.62	0.14	0.59	2.31	0.36	0.29	0.11	0.18	2.08	2.32
PseudoDojo	20	25	3.71	0.75	3.08	2.30	0.38	0.25	0.17	0.23	2.71	3.21
SG15	18	31	48.06	1.81	7.36	2.59	0.08	0.25	0.35	0.34	0.82	0.50

Argon (Ar)



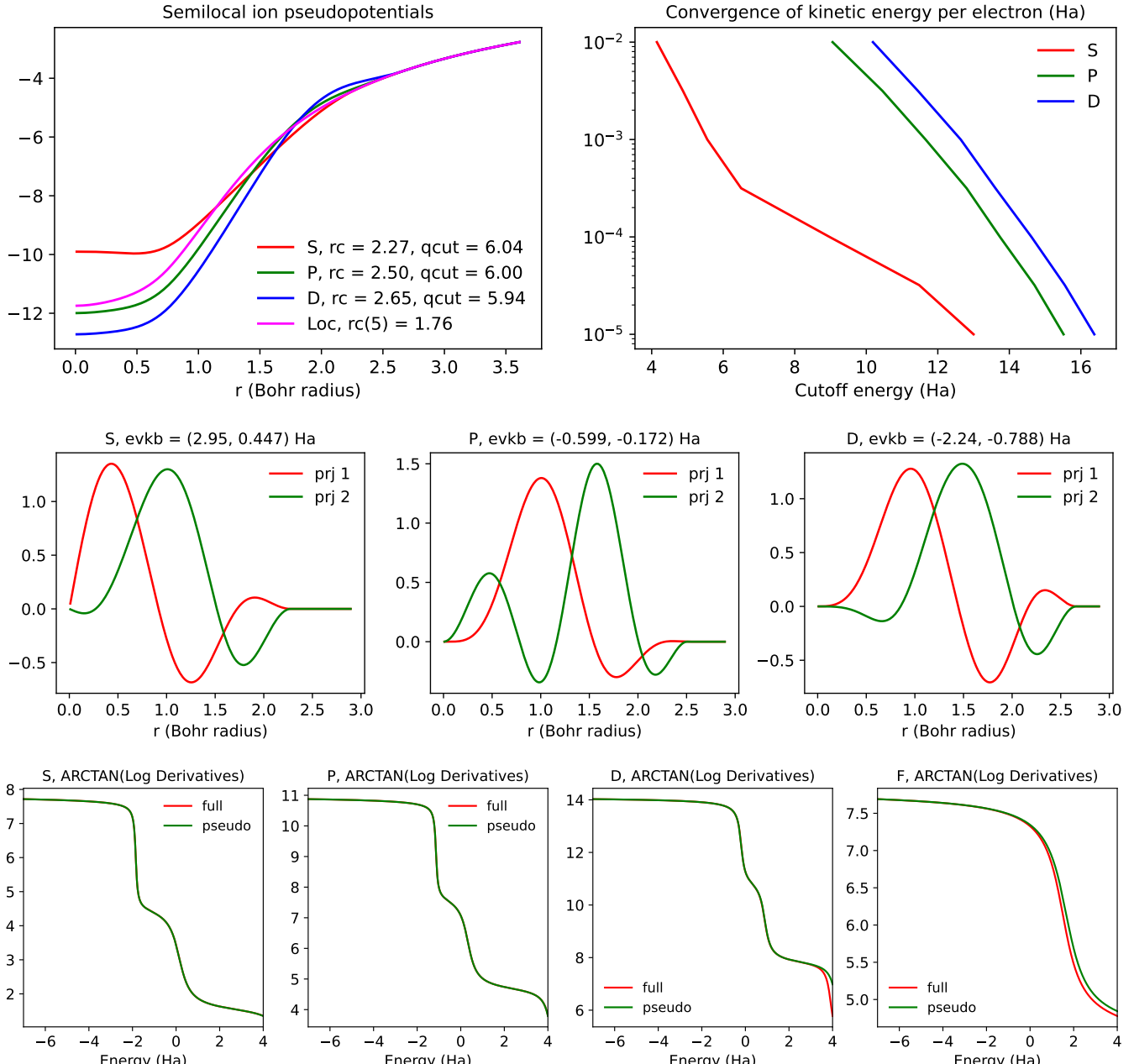
	E_{cut}		$\delta_{\Delta E}$	Δ	Δ'	δ_{lat}			δ_{asr}		δ_{ω}	
	$\delta_E = 10^{-3}$	$\delta_E = 10^{-4}$				BCC	FCC	COMP	LAP	HAP	LOP	HOP
SPMS	14	19	0.90	0.02	1.16	-	-	-	0.29	0.29	2.62	2.74
PseudoDojo	23	28	0.90	0.02	1.18	-	-	-	0.22	0.22	1.55	0.91
SG15	19	24	0.91	0.02	1.65	-	-	-	0.23	0.23	1.03	0.54

Potassium (K)



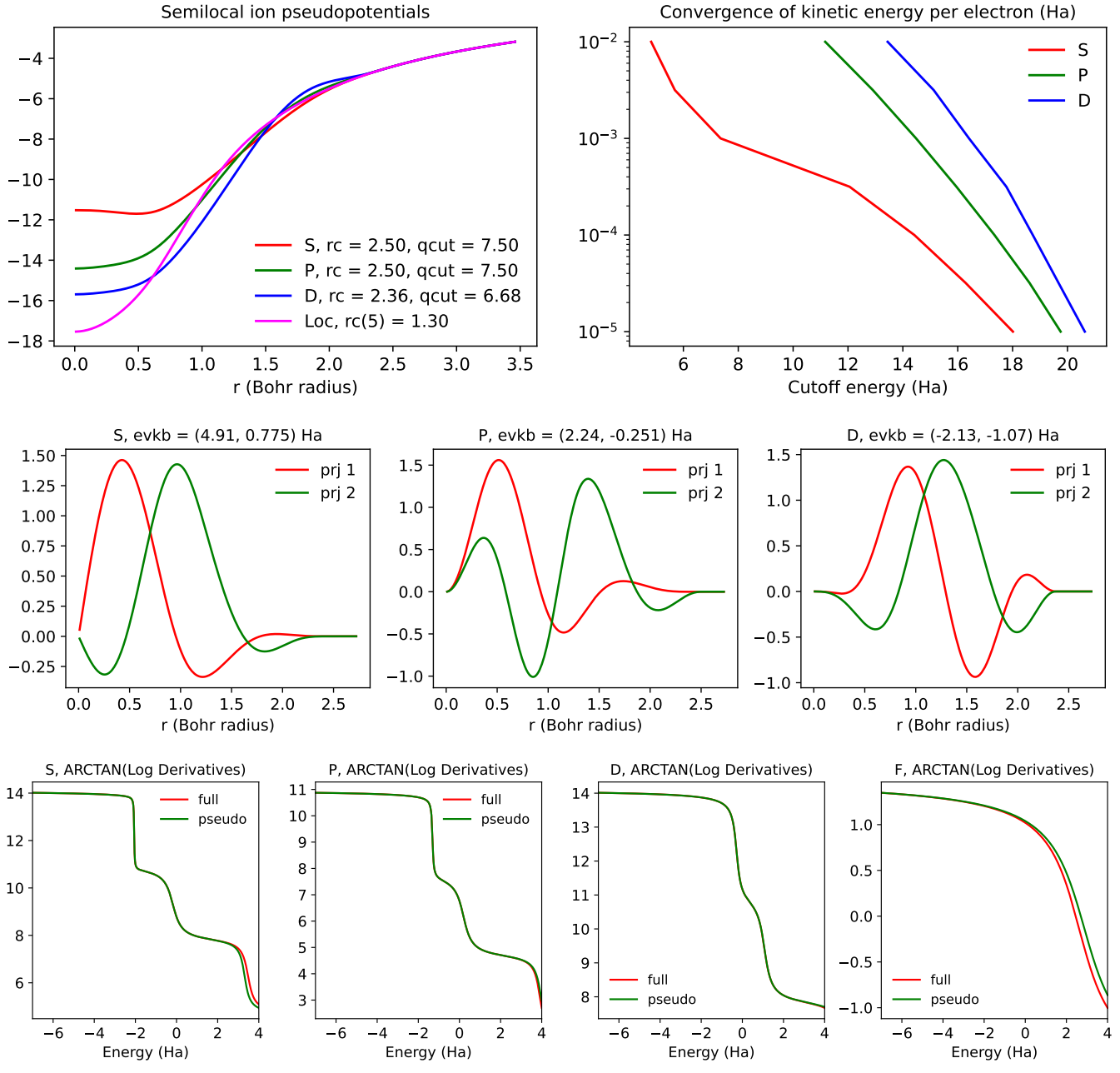
	E_{cut}		$\delta_{\Delta E}$	Δ	Δ'	δ_{lat}			δ_{asr}		δ_{ω}	
	$\delta_E = 10^{-3}$	$\delta_E = 10^{-4}$				BCC	FCC	COMP	LAP	HAP	LOP	HOP
SPMS	11	13	0.36	0.18	2.03	0.05	0.06	0.23	0.24	0.24	0.05	0.05
PseudoDojo	27	32	0.36	0.18	2.02	0.05	0.06	0.21	0.43	0.43	0.02	0.02
SG15	14	17	0.37	0.17	1.99	0.05	0.07	0.21	1.49	1.49	0.08	0.08

Calcium (Ca)



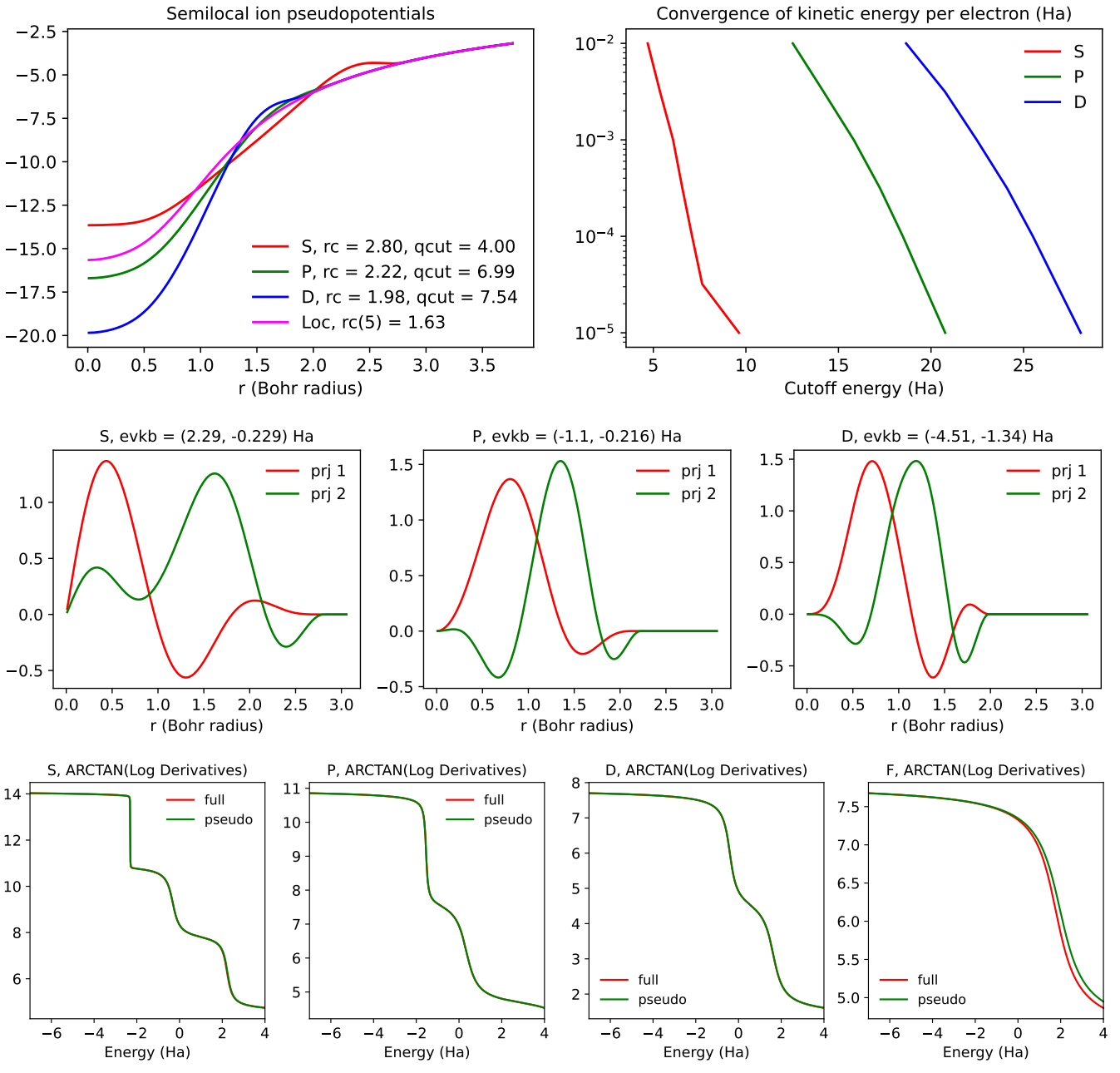
	E_{cut}		$\delta_{\Delta E}$	Δ	Δ'	δ_{lat}			δ_{asr}		δ_{ω}	
	$\delta_E = 10^{-3}$	$\delta_E = 10^{-4}$				BCC	FCC	COMP	LAP	HAP	LOP	HOP
SPMS	13	16	0.79	0.39	1.60	0.03	0.08	0.09	0.53	0.53	0.02	0.00
PseudoDojo	26	31	1.24	0.06	0.26	0.13	0.15	0.08	1.62	1.62	0.00	0.02
SG15	17	20	1.06	0.11	0.45	0.11	0.14	0.07	1.06	1.06	0.22	0.12

Scandium (Sc)



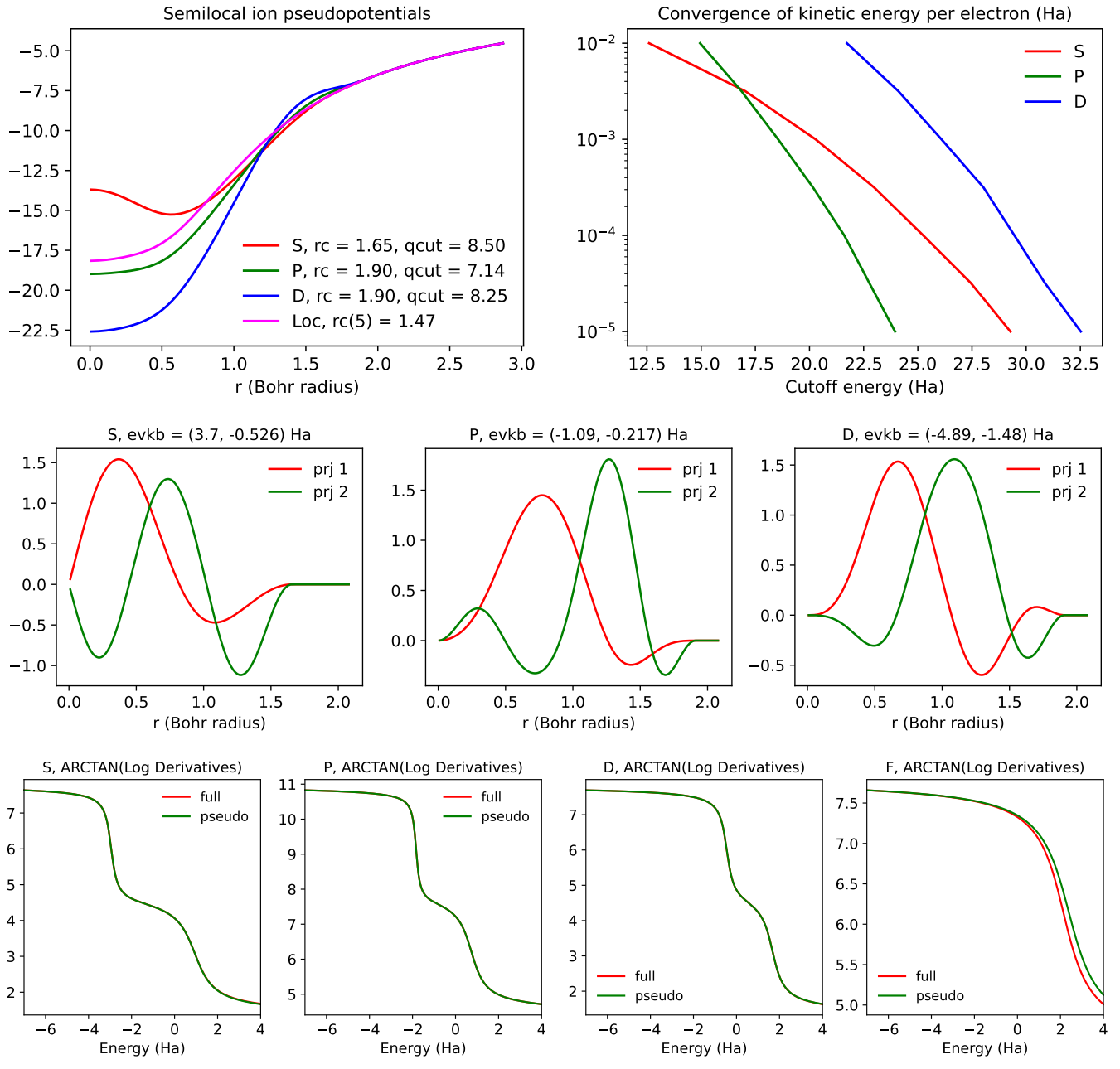
	E_{cut}		$\delta_{\Delta E}$	Δ	Δ'	δ_{lat}			δ_{asr}		δ_{ω}	
	$\delta_E = 10^{-3}$	$\delta_E = 10^{-4}$				BCC	FCC	COMP	LAP	HAP	LOP	HOP
SPMS	17	20	4.43	1.25	2.84	0.11	0.13	0.06	16.41	11.61	0.03	0.13
PseudoDojo	31	36	2.87	1.26	2.85	0.12	0.12	0.06	17.11	12.09	0.04	0.05
SG15	17	20	4.39	1.48	3.35	0.09	0.10	0.05	0.29	0.33	0.03	0.08

Titanium (Ti)



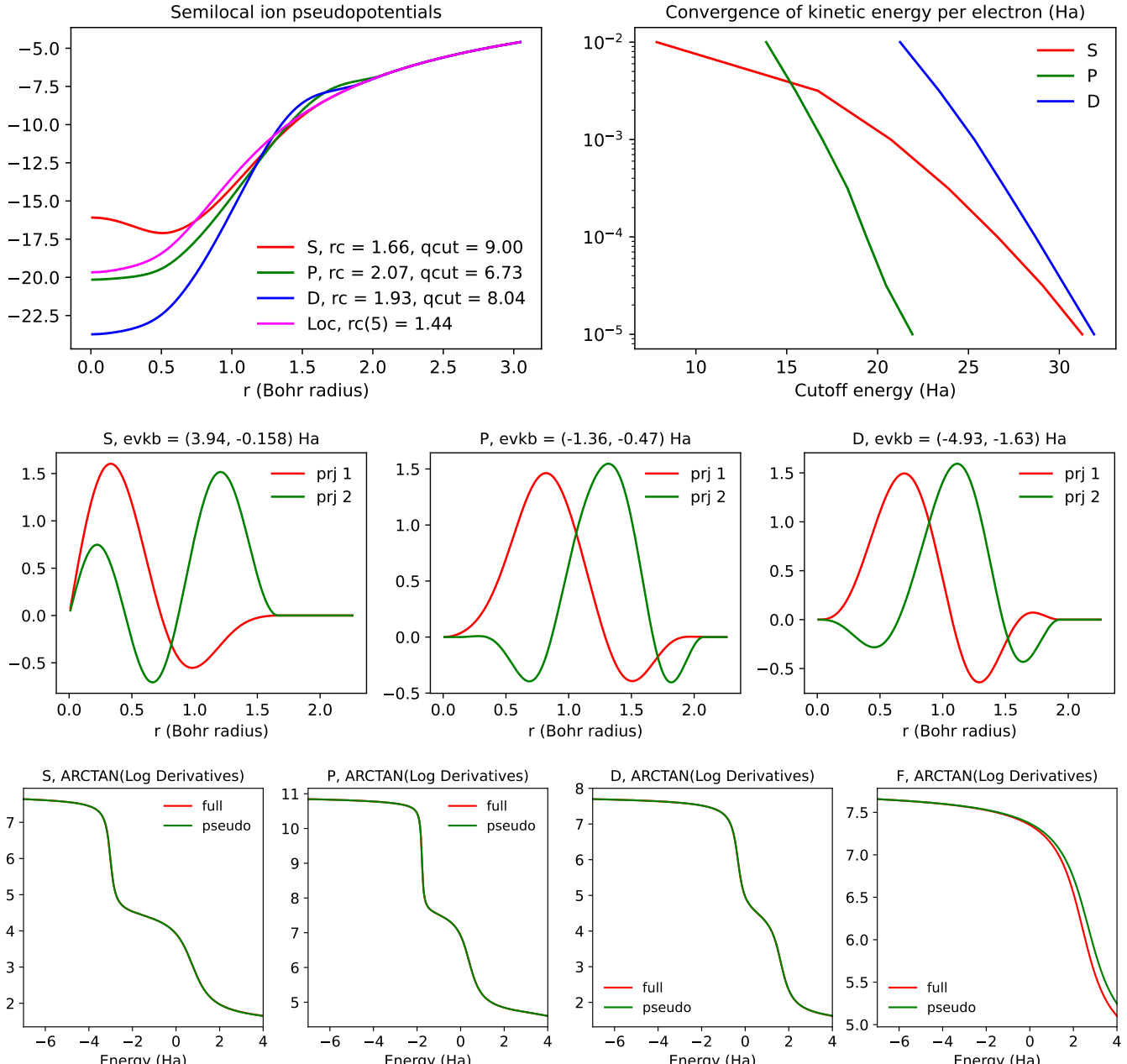
	E_{cut}		$\delta_{\Delta E}$	Δ	Δ'	δ_{lat}			δ_{asr}		δ_{ω}	
	$\delta_E = 10^{-3}$	$\delta_E = 10^{-4}$				BCC	FCC	COMP	LAP	HAP	LOP	HOP
SPMS	23	26	4.12	1.05	1.63	0.00	0.00	0.07	9.63	6.80	0.27	0.36
PseudoDojo	33	38	2.10	0.86	1.33	0.02	0.01	0.08	10.59	7.50	0.04	0.11
SG15	21	26	5.28	1.07	1.67	0.00	0.01	0.06	0.23	0.47	0.01	0.01

Vanadium (V)



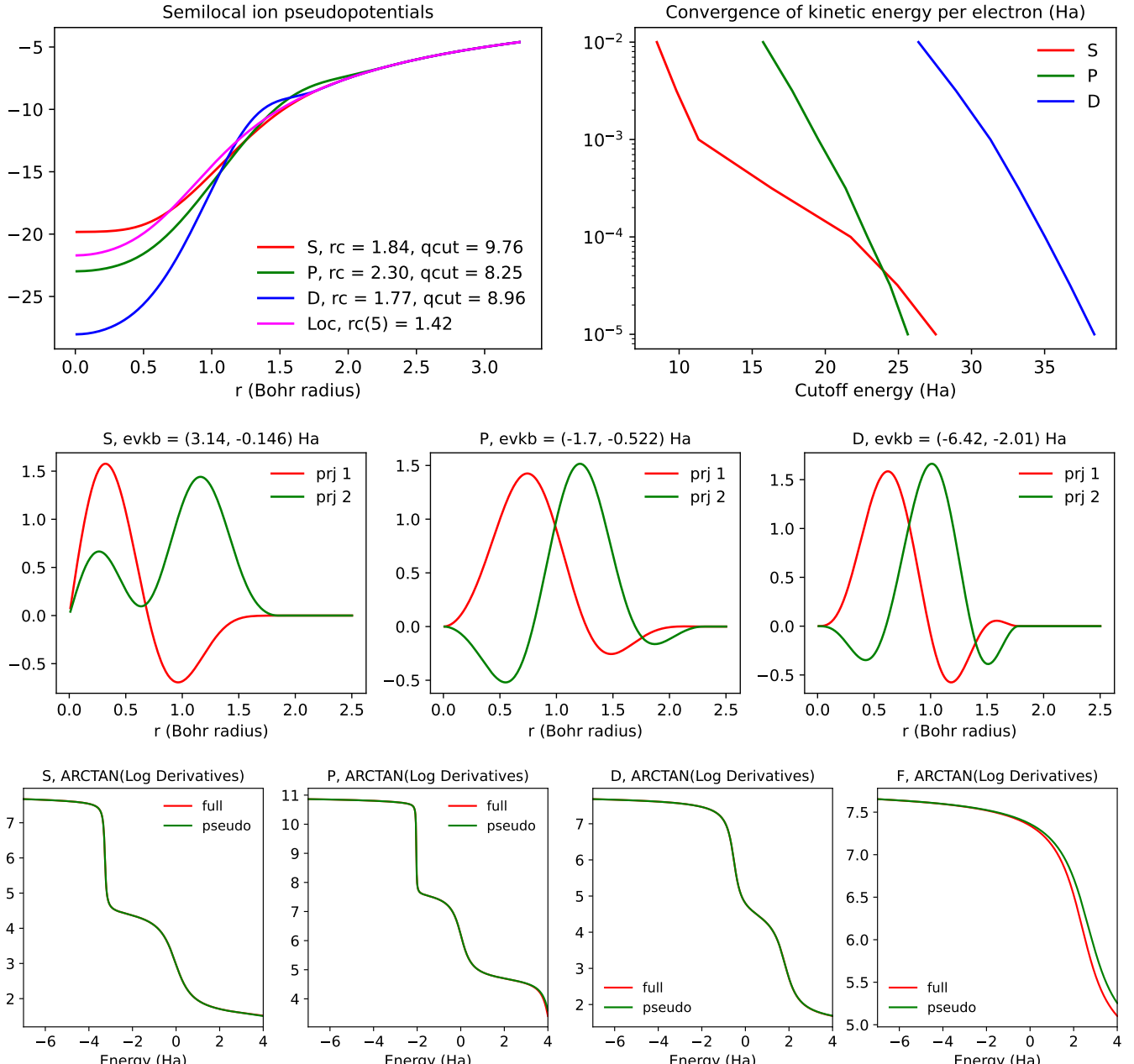
	E_{cut}		$\delta_{\Delta E}$	Δ	Δ'	δ_{lat}			δ_{asr}		δ_{ω}	
	$\delta_E = 10^{-3}$	$\delta_E = 10^{-4}$				BCC	FCC	COMP	LAP	HAP	LOP	HOP
SPMS	27	31	2.64	1.75	2.15	0.00	0.02	0.11	0.07	0.07	0.20	0.20
PseudoDojo	34	39	2.14	1.34	1.64	0.03	0.01	0.10	0.22	0.22	0.00	0.00
SG15	28	49	2.60	1.82	2.23	0.00	0.02	0.06	2.77	2.77	0.02	0.02

Chromium (Cr)



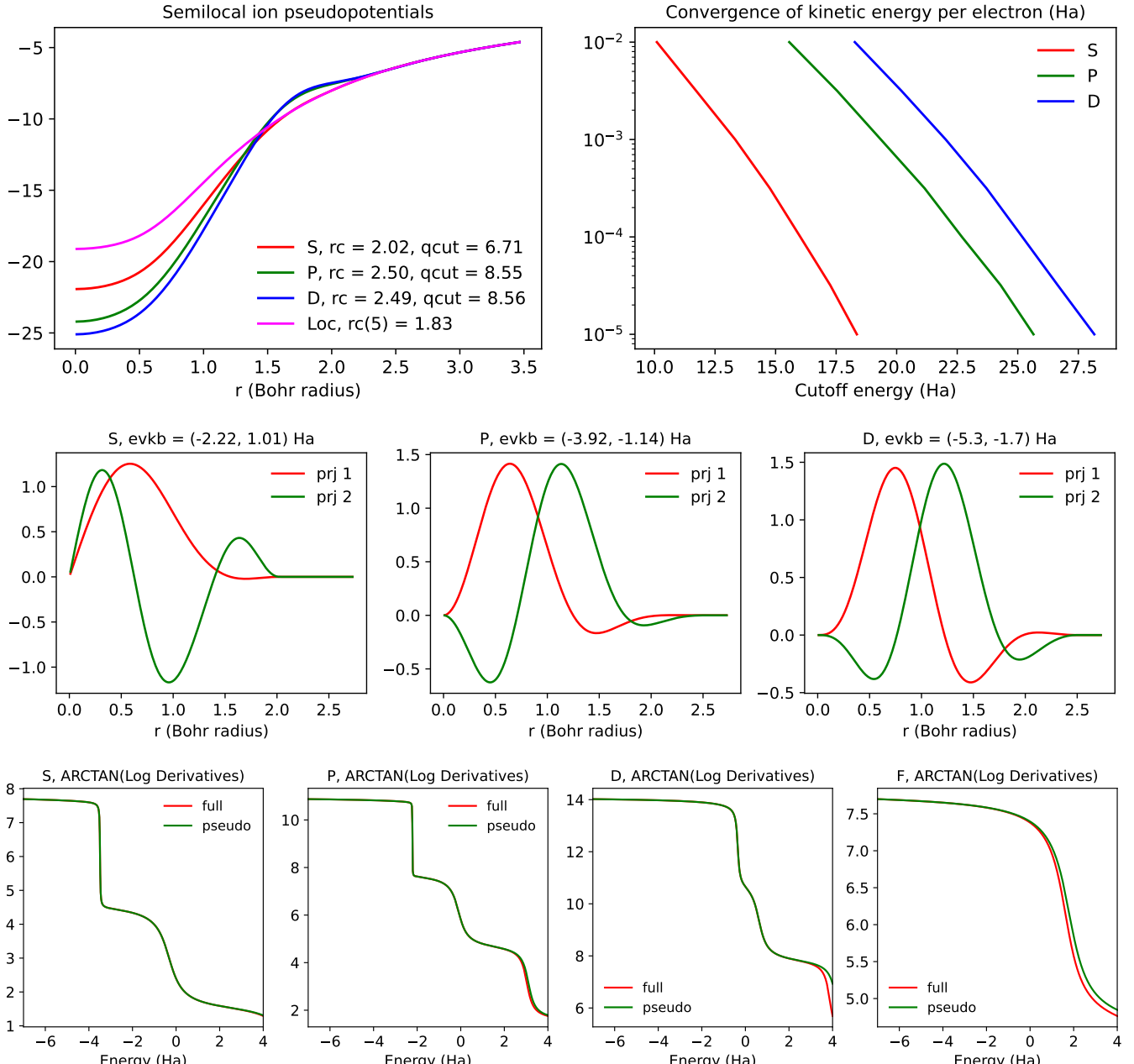
	E_{cut}		$\delta_{\Delta E}$	Δ	Δ'	δ_{lat}			δ_{asr}		δ_{ω}	
	$\delta_E = 10^{-3}$	$\delta_E = 10^{-4}$				BCC	FCC	COMP	LAP	HAP	LOP	HOP
SPMS	27	32	3.74	11.65	19.80	0.30	0.24	0.09	0.34	0.34	0.02	0.02
PseudoDojo	39	43	3.00	10.50	18.15	0.16	0.10	0.12	0.20	0.20	0.15	0.15
SG15	22	25	5.34	20.75	43.53	0.27	0.21	0.02	0.41	0.41	0.06	0.06

Manganese (Mn)



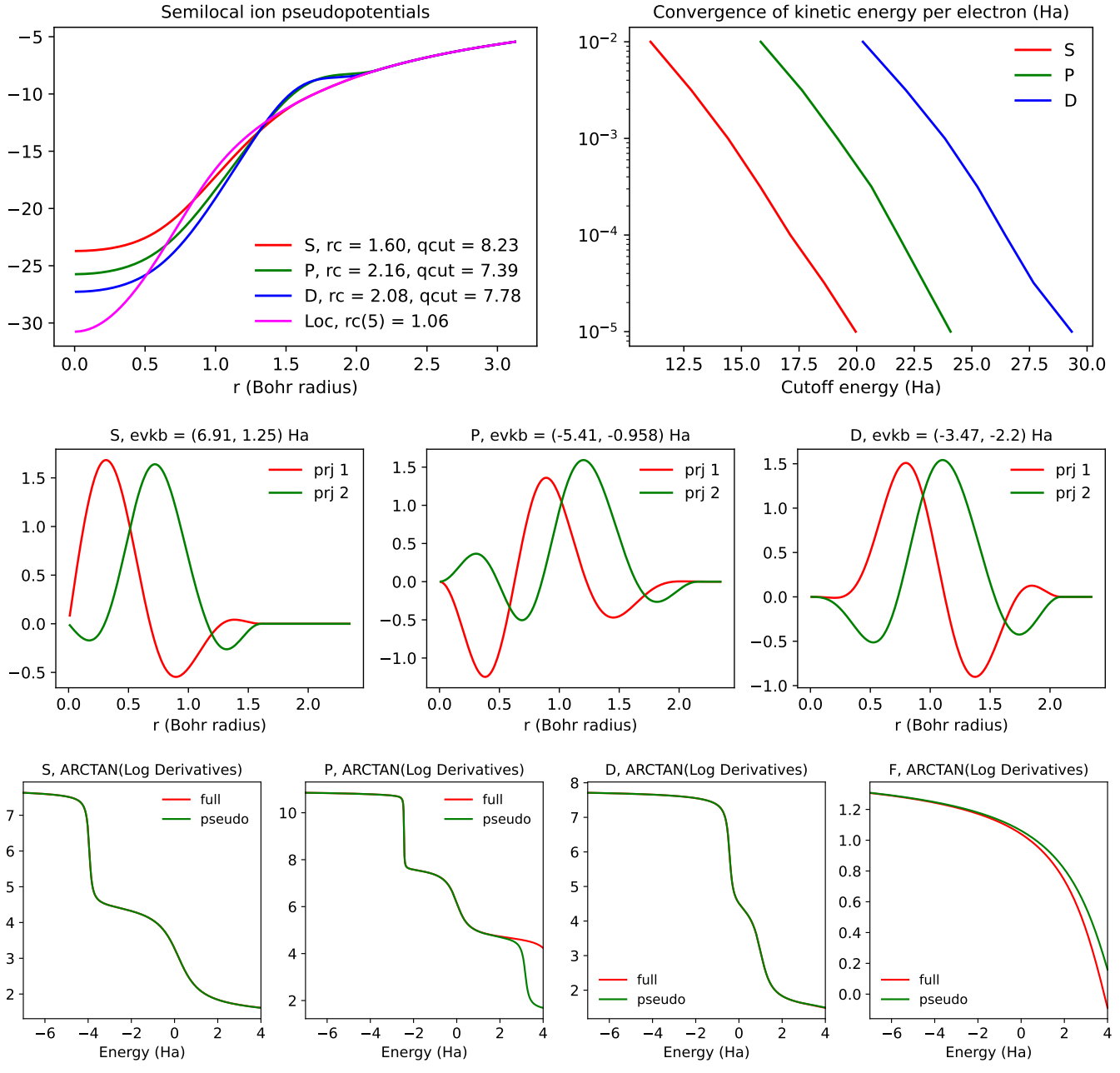
	E_{cut}		$\delta_{\Delta E}$	Δ	Δ'	δ_{lat}			δ_{asr}		δ_{ω}	
	$\delta_E = 10^{-3}$	$\delta_E = 10^{-4}$				BCC	FCC	COMP	LAP	HAP	LOP	HOP
SPMS	33	37	2.23	7.75	16.33	0.16	0.14	0.08	0.13	0.18	0.23	0.15
PseudoDojo	41	45	2.71	8.03	16.95	0.10	0.08	0.10	0.16	0.43	0.13	0.09
SG15	27	38	4.82	12.90	26.71	0.20	0.17	0.07	0.27	0.58	0.04	0.02

Iron (Fe)



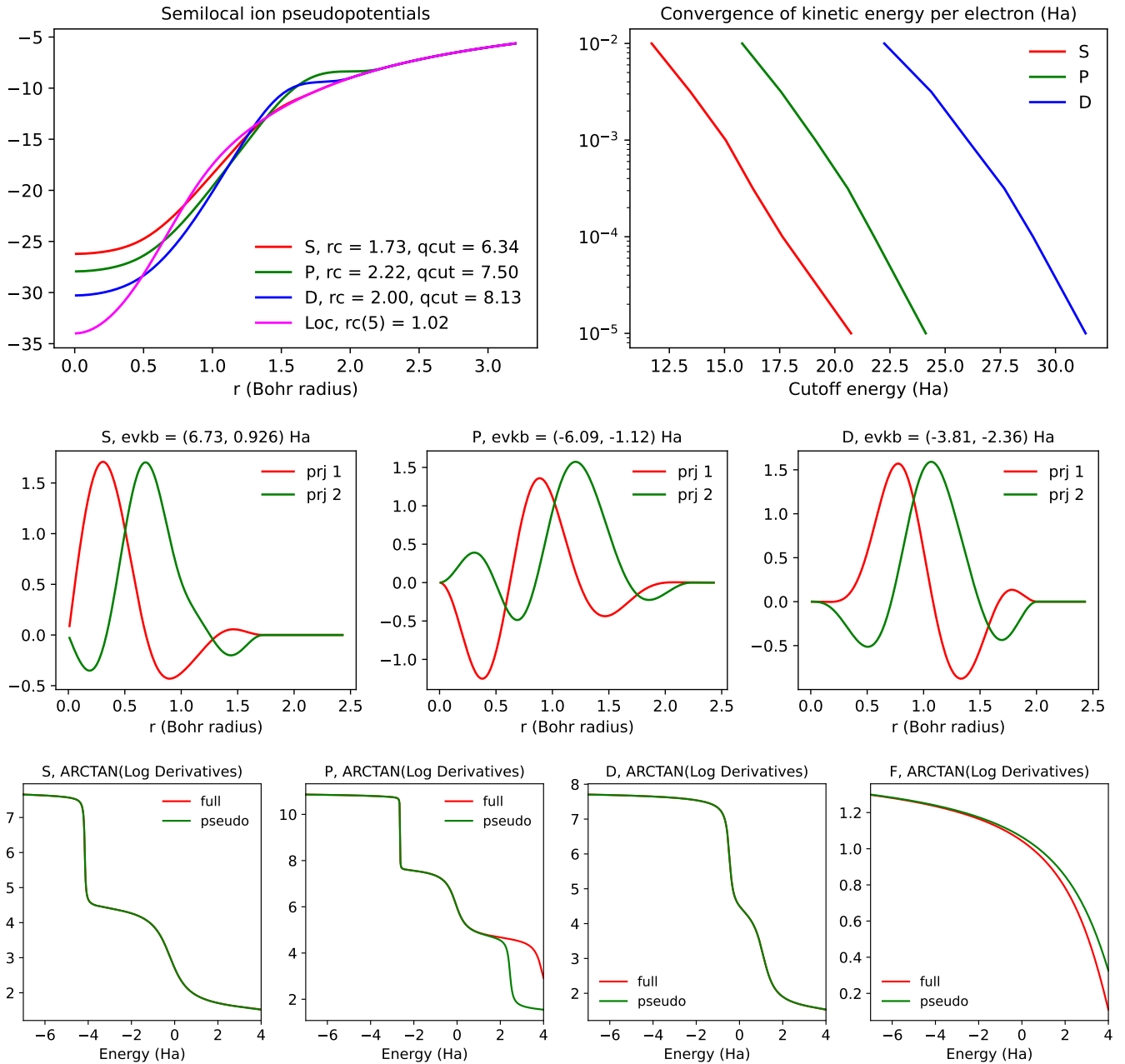
	E_{cut}		$\delta_{\Delta E}$	Δ	Δ'	δ_{lat}			δ_{asr}		δ_{ω}	
	$\delta_E = 10^{-3}$	$\delta_E = 10^{-4}$				BCC	FCC	COMP	LAP	HAP	LOP	HOP
SPMS	25	32	3.93	6.12	9.75	0.11	0.10	0.09	0.30	0.30	0.00	0.00
PseudoDojo	40	44	4.73	5.60	9.22	0.06	0.02	0.08	0.56	0.56	0.02	0.02
SG15	31	34	3.12	5.85	9.19	0.17	0.14	0.04	0.79	0.79	0.05	0.05

Cobalt (Co)



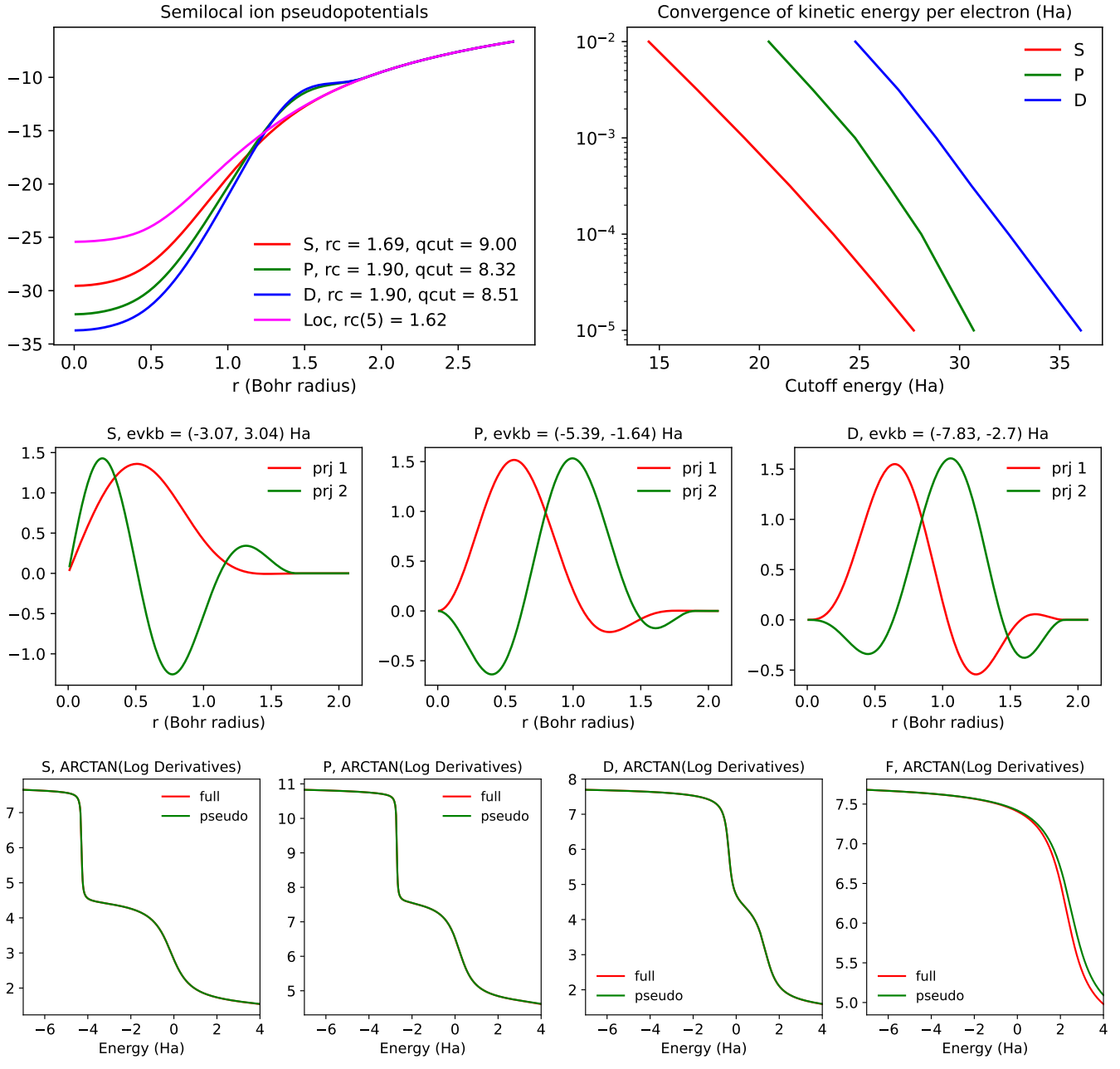
	E_{cut}		$\delta_{\Delta E}$	Δ	Δ'	δ_{lat}			δ_{asr}		δ_{ω}	
	$\delta_E = 10^{-3}$	$\delta_E = 10^{-4}$				BCC	FCC	COMP	LAP	HAP	LOP	HOP
SPMS	26	31	3.43	0.33	0.44	0.06	0.06	0.09	24.73	17.49	0.01	0.13
PseudoDojo	41	47	1.55	1.06	1.38	0.01	0.02	0.07	43.00	30.41	0.00	0.04
SG15	27	33	6.76	3.56	4.68	0.14	0.14	0.05	0.38	0.62	0.01	0.03

Nickel (Ni)



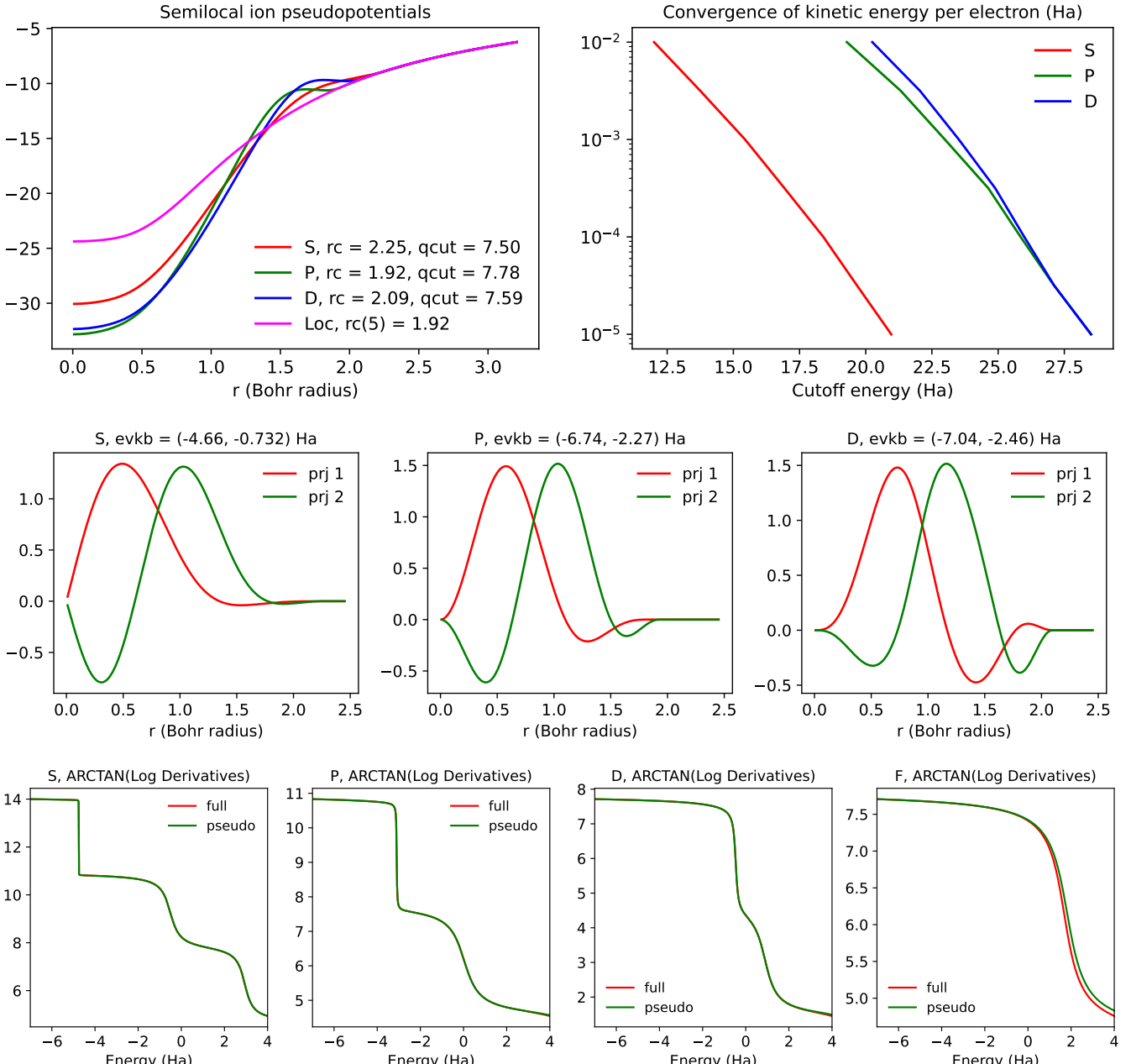
	E_{cut}		$\delta_{\Delta E}$	Δ	Δ'	δ_{lat}			δ_{asr}		δ_{ω}	
	$\delta_E = 10^{-3}$	$\delta_E = 10^{-4}$				BCC	FCC	COMP	LAP	HAP	LOP	HOP
SPMS	29	34	2.93	0.54	0.76	0.10	0.10	0.09	0.15	0.15	0.05	0.07
PseudoDojo	42	47	1.32	1.07	1.50	0.08	0.08	0.07	0.46	0.46	0.01	0.02
SG15	28	31	7.66	3.28	4.65	0.10	0.10	0.06	0.38	0.38	0.08	0.04

Copper (Cu)



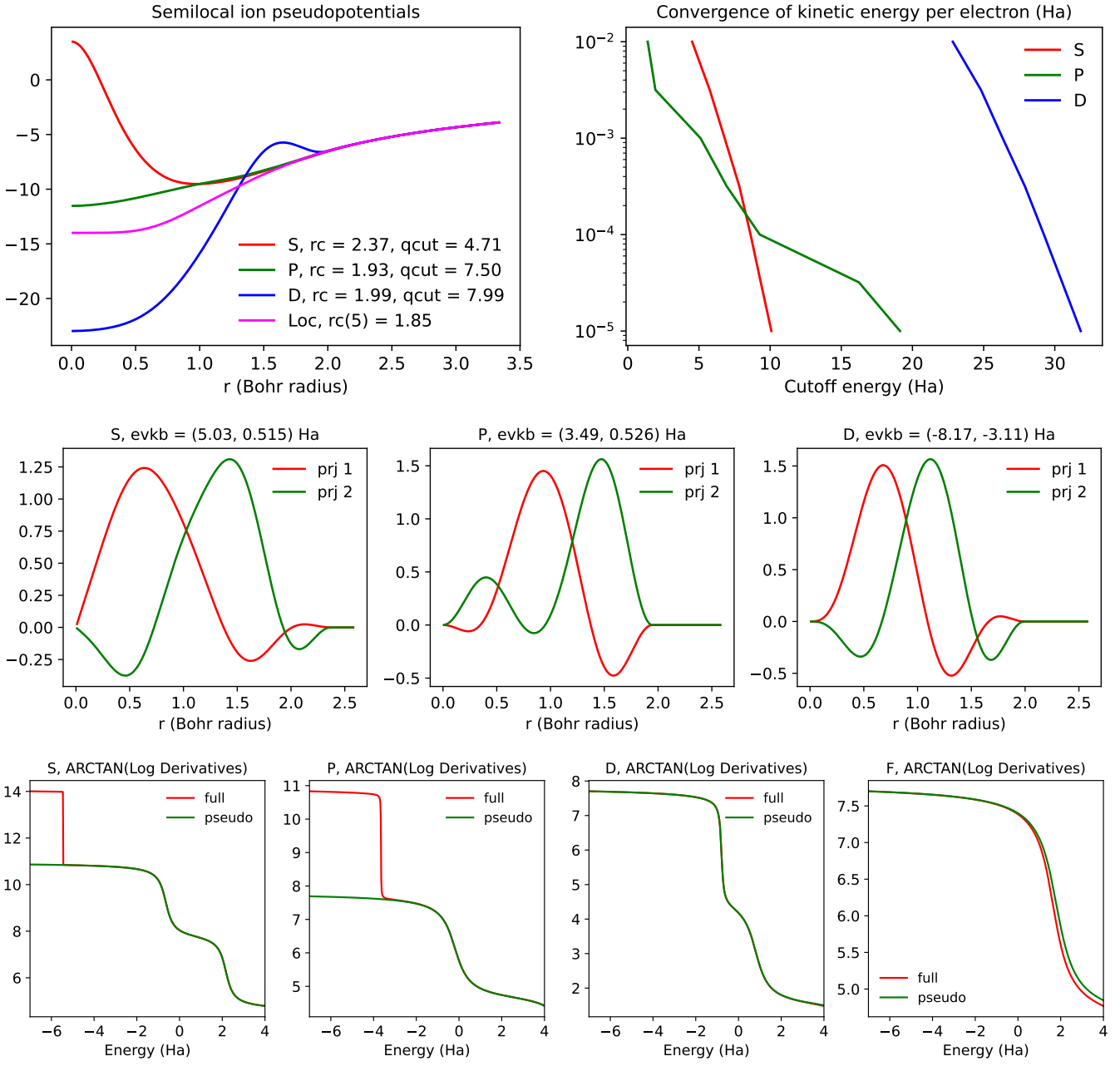
	E_{cut}		$\delta_{\Delta E}$	Δ	Δ'	δ_{lat}			δ_{asr}		δ_{ω}	
	$\delta_E = 10^{-3}$	$\delta_E = 10^{-4}$				BCC	FCC	COMP	LAP	HAP	LOP	HOP
SPMS	32	35	3.05	0.31	0.54	0.11	0.06	0.07	0.52	0.52	0.00	0.03
PseudoDojo	40	44	2.85	0.53	0.93	0.17	0.12	0.07	0.71	0.71	0.00	0.01
SG15	37	58	2.52	1.04	1.88	0.04	0.02	0.08	0.54	0.54	0.01	0.01

Zinc (Zn)



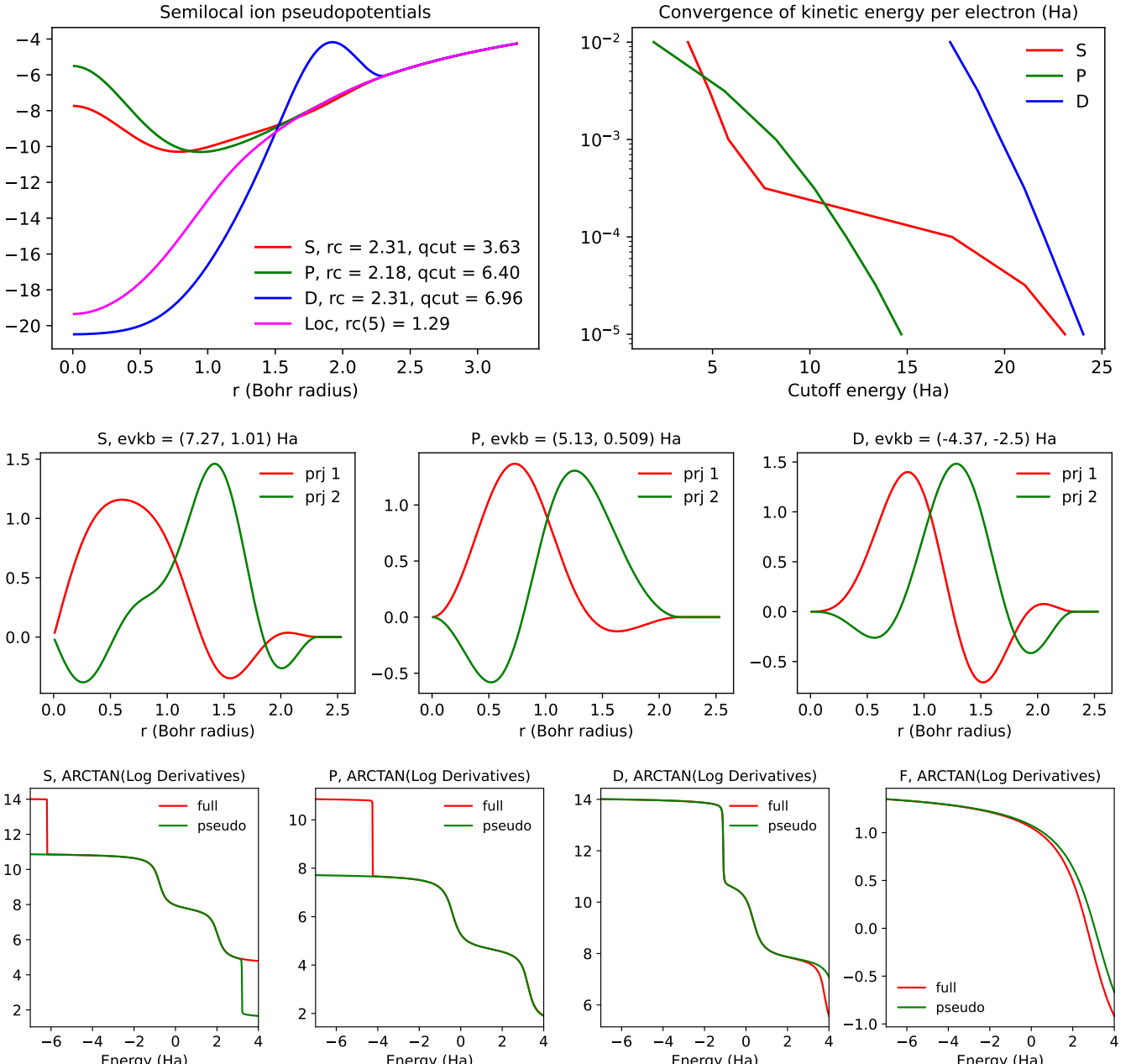
	E_{cut}		$\delta_{\Delta E}$	Δ	Δ'	δ_{lat}			δ_{asr}		δ_{ω}	
	$\delta_E = 10^{-3}$	$\delta_E = 10^{-4}$				BCC	FCC	COMP	LAP	HAP	LOP	HOP
SPMS	27	30	0.34	0.80	2.11	0.04	0.03	0.12	39.60	28.00	0.09	0.00
PseudoDojo	36	39	1.32	0.29	0.78	0.16	0.16	0.12	62.04	43.86	0.04	0.04
SG15	32	51	1.36	0.16	0.42	0.15	0.15	0.10	0.06	0.30	0.01	0.02

Gallium (Ga)



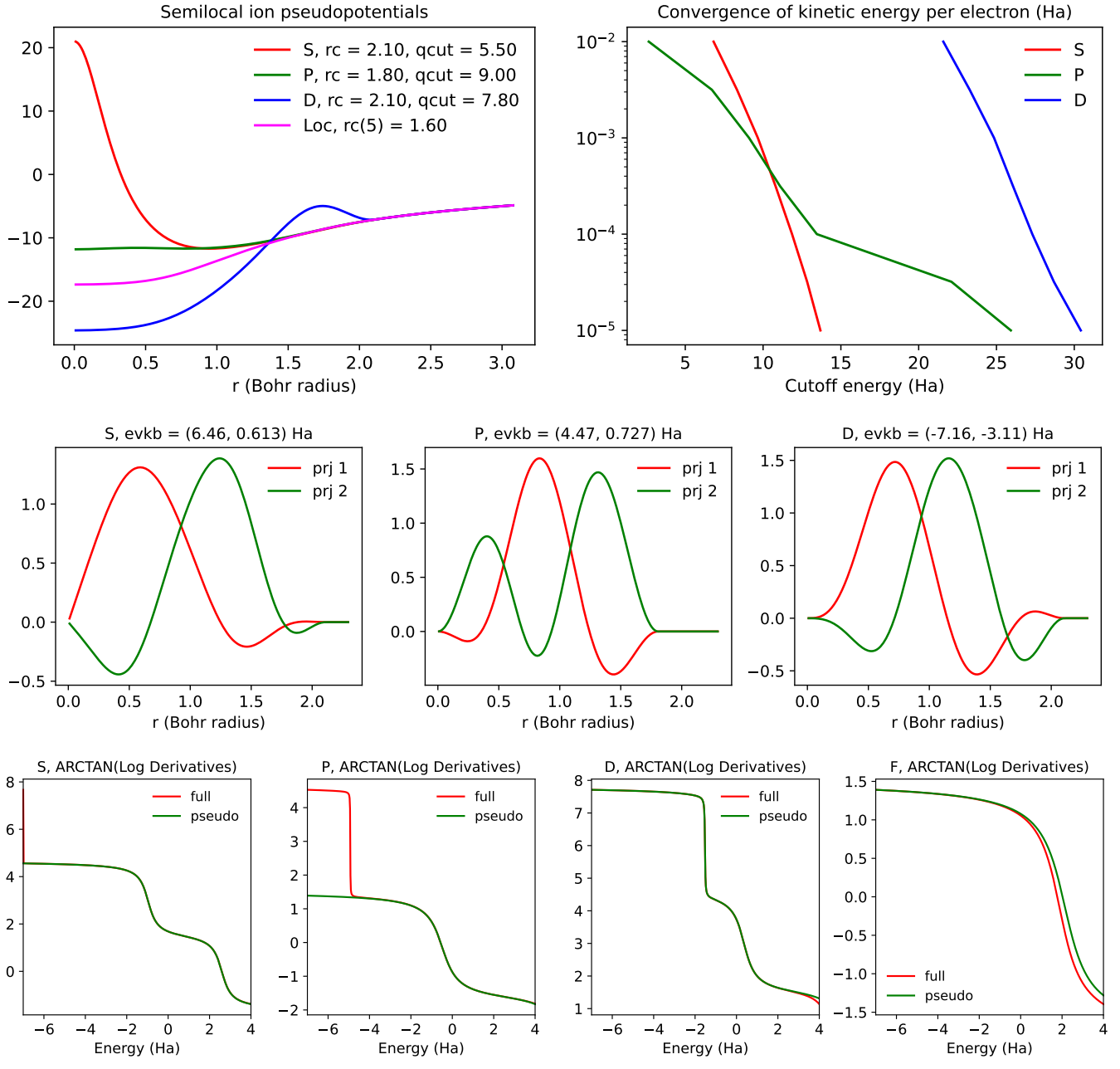
	E_{cut}		$\delta_{\Delta E}$	Δ	Δ'	δ_{lat}			δ_{asr}		δ_{ω}	
	$\delta_E = 10^{-3}$	$\delta_E = 10^{-4}$				BCC	FCC	COMP	LAP	HAP	LOP	HOP
SPMS	29	34	0.65	0.97	2.94	0.03	0.01	0.06	0.04	0.07	0.09	0.04
PseudoDojo	35	39	0.97	0.50	1.51	0.09	0.07	0.08	0.06	0.06	0.13	0.42
SG15	55	63	0.91	0.62	1.89	0.07	0.05	0.08	1.16	1.25	0.23	0.44

Germanium (Ge)



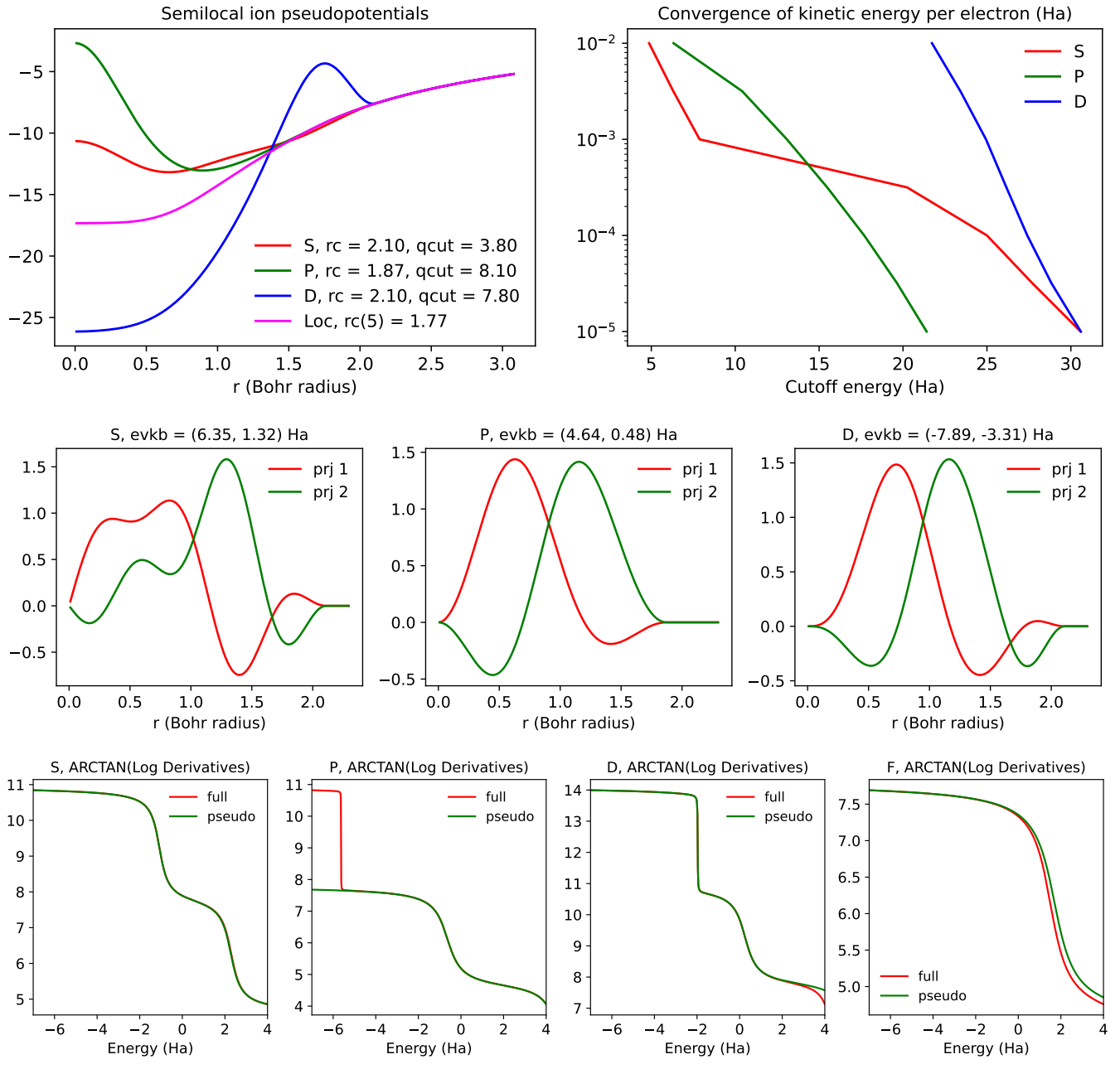
	E_{cut}		$\delta_{\Delta E}$	Δ	Δ'	δ_{lat}			δ_{asr}		δ_{ω}	
	$\delta_E = 10^{-3}$	$\delta_E = 10^{-4}$				BCC	FCC	COMP	LAP	HAP	LOP	HOP
SPMS	22	25	1.77	0.41	0.87	0.01	0.05	0.17	1.21	1.21	0.04	0.04
PseudoDojo	34	37	1.84	0.48	1.03	0.02	0.05	0.08	1.50	1.50	0.02	0.02
SG15	19	28	2.81	1.03	2.20	0.11	0.03	0.12	1.64	1.64	0.01	0.01

Arsenic (As)



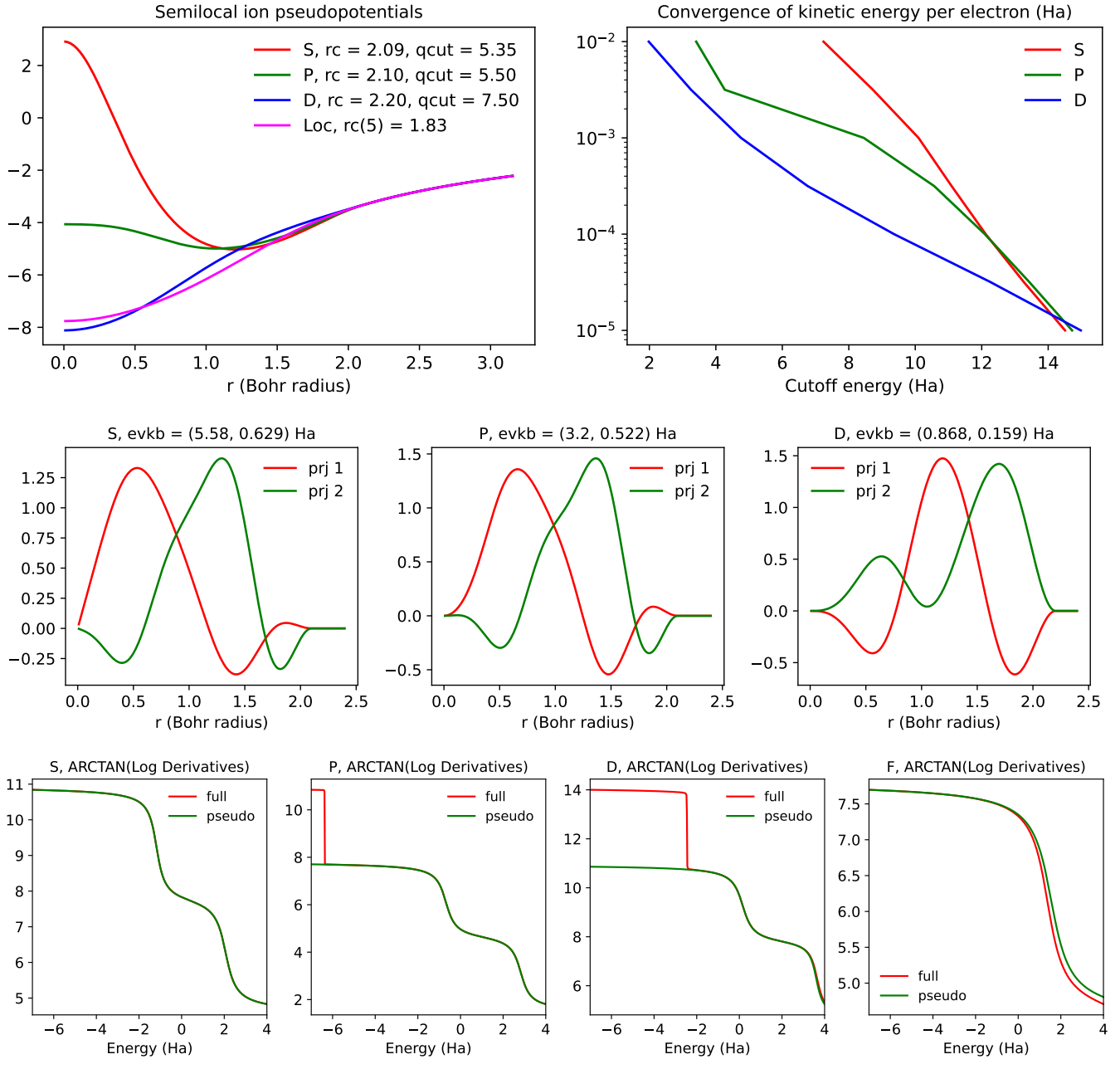
	E_{cut}		$\delta_{\Delta E}$	Δ	Δ'	δ_{lat}			δ_{asr}		δ_{ω}	
	$\delta_E = 10^{-3}$	$\delta_E = 10^{-4}$				BCC	FCC	COMP	LAP	HAP	LOP	HOP
SPMS	27	30	1.28	0.71	1.39	0.02	0.05	0.05	0.19	0.23	0.03	0.03
PseudoDojo	37	40	0.93	0.37	0.72	0.01	0.00	0.05	0.18	0.29	0.46	0.27
SG15	12	16	0.90	1.19	2.31	0.01	0.01	0.02	0.03	0.04	0.21	0.05

Selenium (Se)



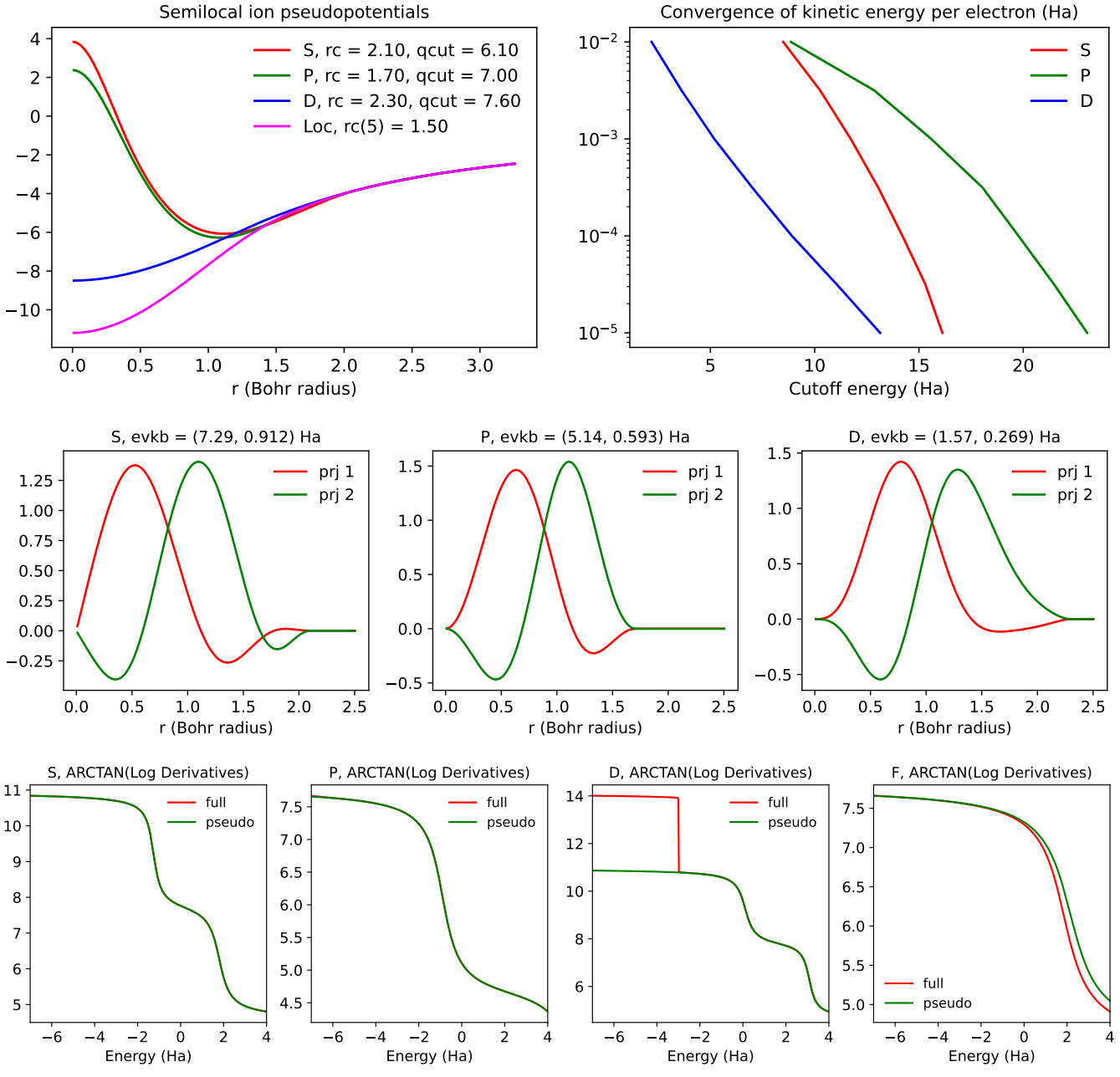
	E_{cut}		$\delta_{\Delta E}$	Δ	Δ'	δ_{lat}			δ_{asr}		δ_{ω}	
	$\delta_E = 10^{-3}$	$\delta_E = 10^{-4}$				BCC	FCC	COMP	LAP	HAP	LOP	HOP
SPMS	27	30	3.35	0.12	0.25	0.06	0.10	0.14	0.36	0.36	0.15	0.08
PseudoDojo	37	40	3.81	0.24	0.51	0.06	0.09	0.13	0.10	0.10	0.46	0.15
SG15	12	15	5.23	0.64	1.36	0.04	0.07	0.09	0.23	0.24	0.00	0.03

Bromine (Br)



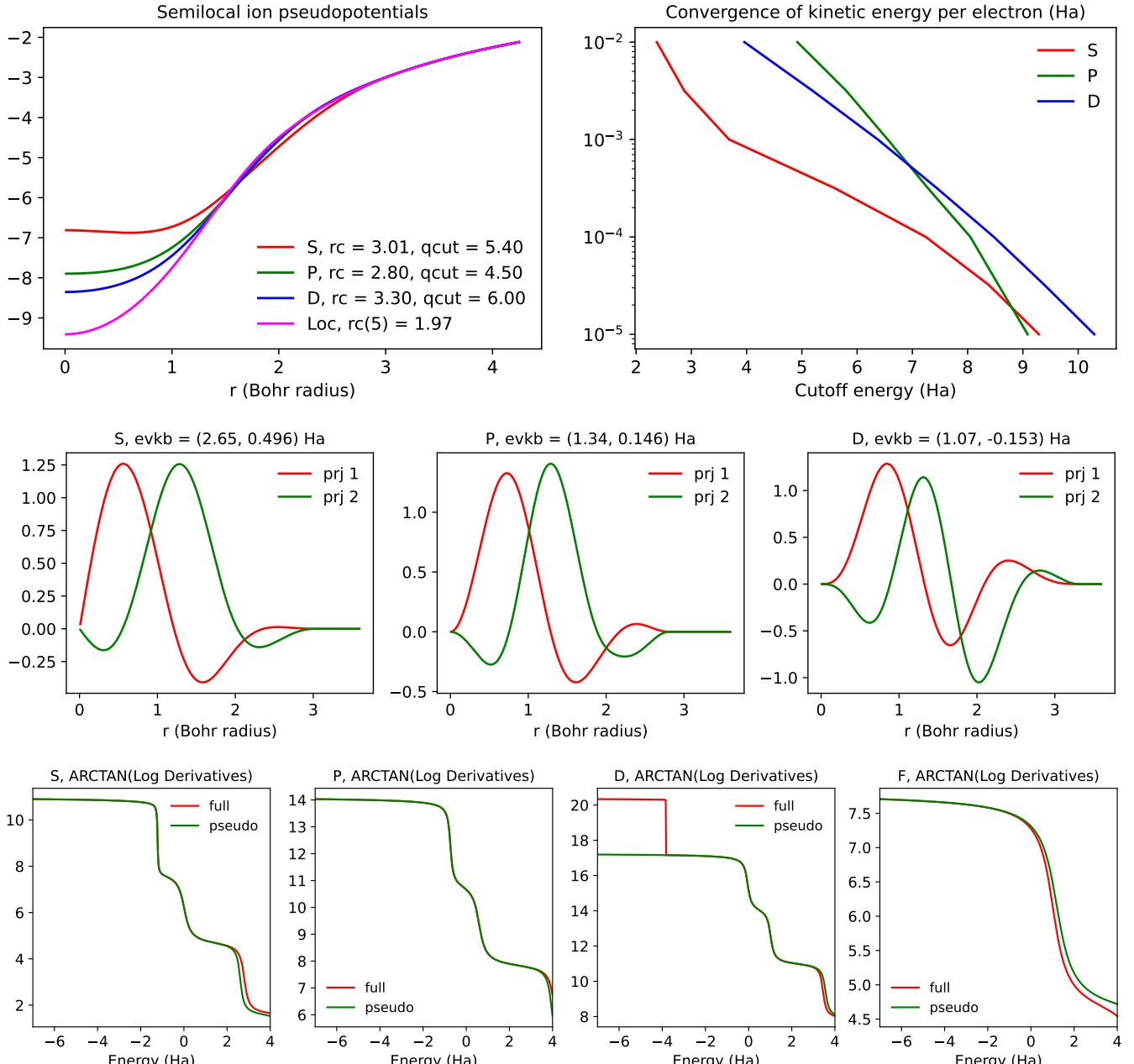
	E_{cut}		$\delta_{\Delta E}$	Δ	Δ'	δ_{lat}			δ_{asr}		δ_{ω}	
	$\delta_E = 10^{-3}$	$\delta_E = 10^{-4}$				BCC	FCC	COMP	LAP	HAP	LOP	HOP
SPMS	11	14	1.09	0.15	0.49	0.06	0.01	0.22	0.21	0.17	0.05	0.11
PseudoDojo	16	20	1.27	0.05	0.17	0.05	0.01	0.17	0.19	0.21	2.77	0.42
SG15	10	25	0.62	1.10	3.72	0.08	0.03	0.18	0.22	0.88	0.47	0.03

Krypton (Kr)



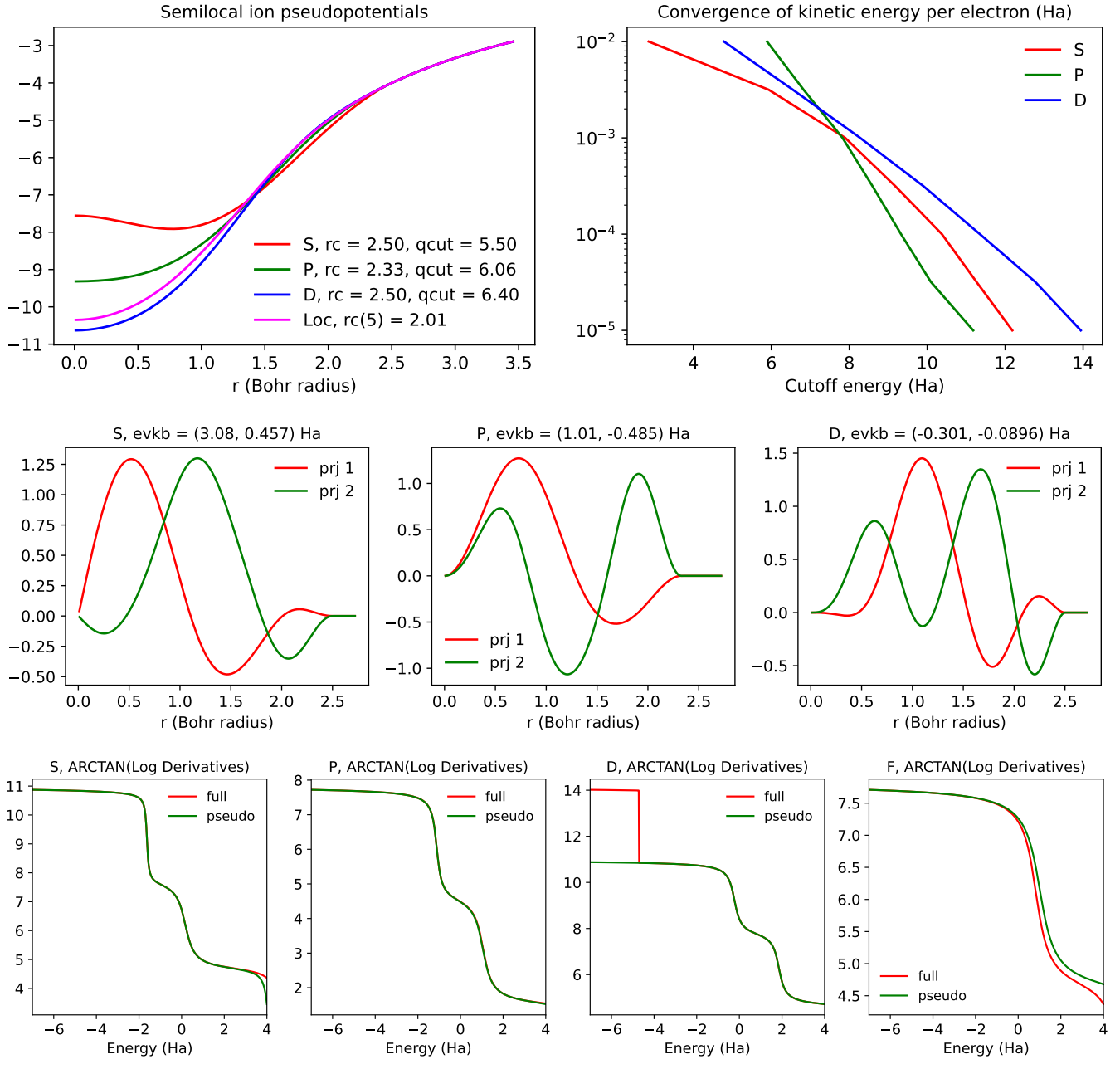
	E_{cut}		$\delta_{\Delta E}$	Δ	Δ'	δ_{lat}			δ_{asr}		δ_{ω}	
	$\delta_E = 10^{-3}$	$\delta_E = 10^{-4}$				BCC	FCC	COMP	LAP	HAP	LOP	HOP
SPMS	19	22	7.04	0.03	2.27	-	-	-	0.06	0.06	0.82	1.02
PseudoDojo	19	23	7.04	0.03	2.29	-	-	-	0.08	0.08	1.65	1.44
SG15	8	10	7.17	0.04	2.62	-	-	-	0.07	0.07	20.64	18.18

Rubidium (Rb)



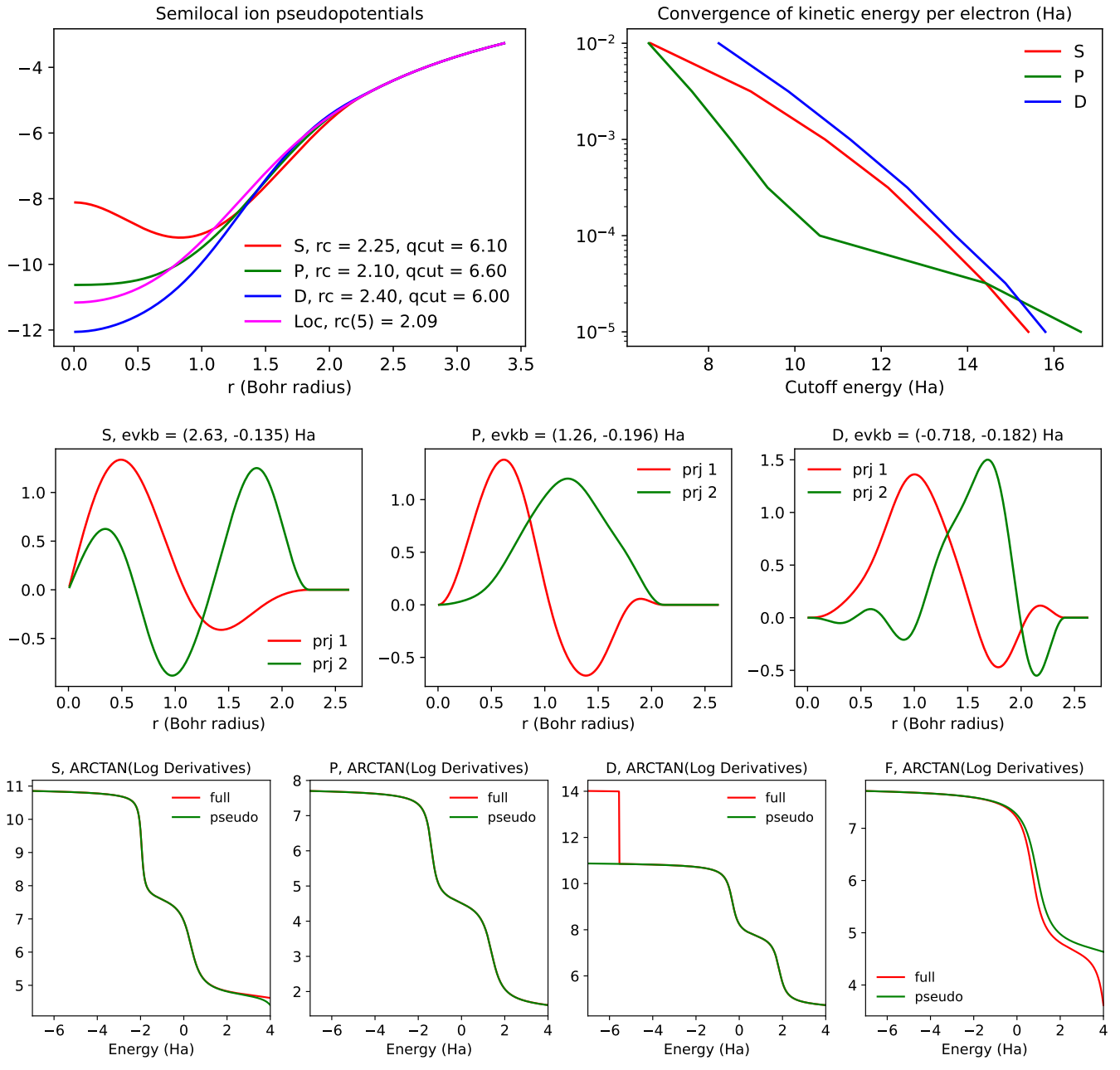
	E_{cut}		$\delta_{\Delta E}$	Δ	Δ'	δ_{lat}			δ_{asr}		δ_{ω}	
	$\delta_E = 10^{-3}$	$\delta_E = 10^{-4}$				BCC	FCC	COMP	LAP	HAP	LOP	HOP
SPMS	7	9	0.38	0.24	2.90	0.06	0.05	0.09	0.02	0.02	0.25	0.25
PseudoDojo	18	23	0.38	0.24	2.88	0.06	0.06	0.10	0.10	0.10	0.02	0.02
SG15	8	9	0.39	0.24	2.85	0.06	0.06	0.09	0.02	0.02	0.42	0.42

Strontium (Sr)



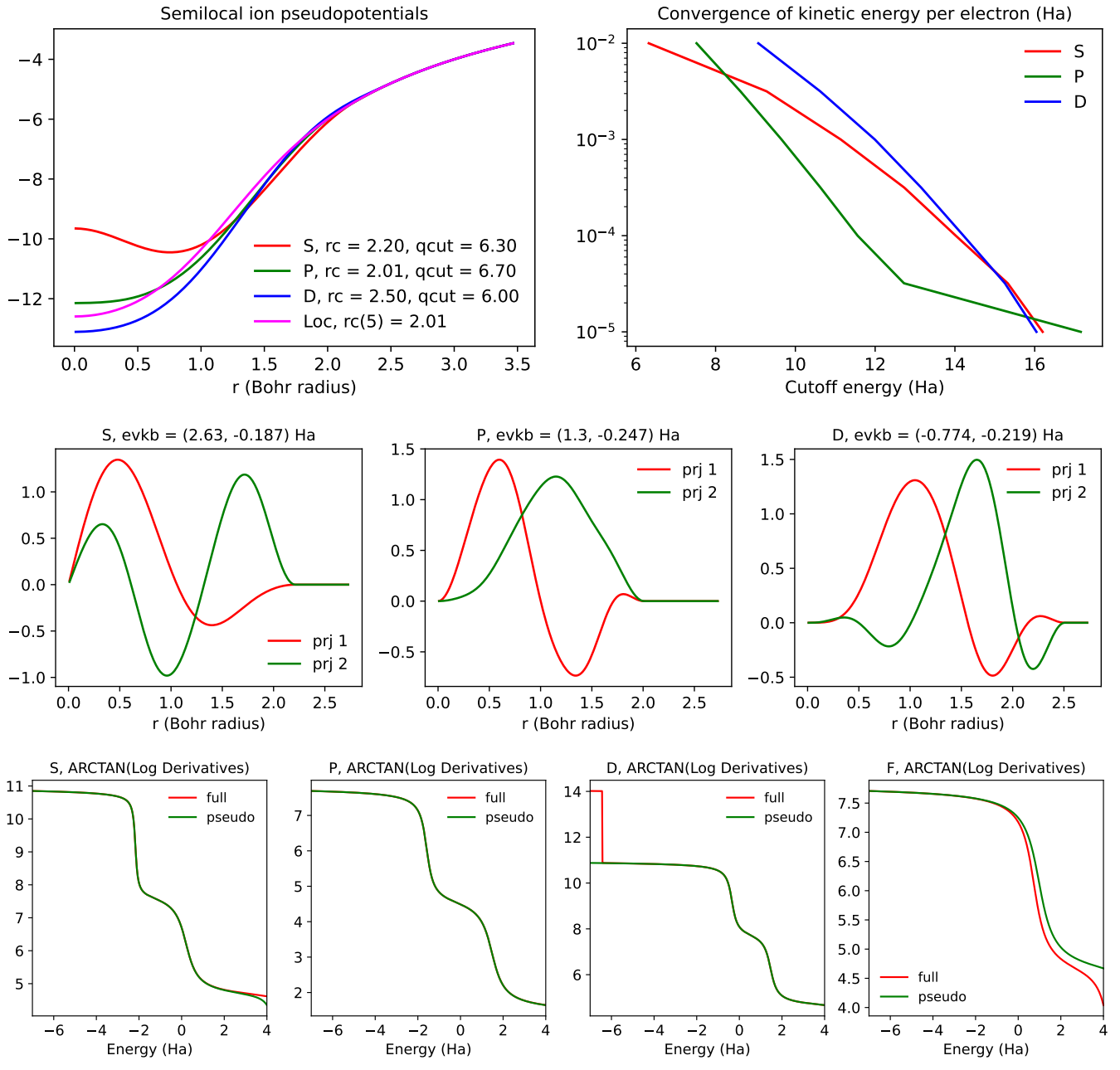
	E_{cut}		$\delta_{\Delta E}$	Δ	Δ'	δ_{lat}			δ_{asr}		δ_{ω}	
	$\delta_E = 10^{-3}$	$\delta_E = 10^{-4}$				BCC	FCC	COMP	LAP	HAP	LOP	HOP
SPMS	10	13	0.92	0.97	4.48	0.06	0.09	0.19	0.20	0.20	0.02	0.06
PseudoDojo	26	31	1.17	1.32	6.10	0.15	0.17	0.19	0.19	0.19	0.01	0.00
SG15	9	12	1.02	1.21	5.58	0.12	0.15	0.14	0.13	0.13	0.07	0.13

Yttrium (Y)



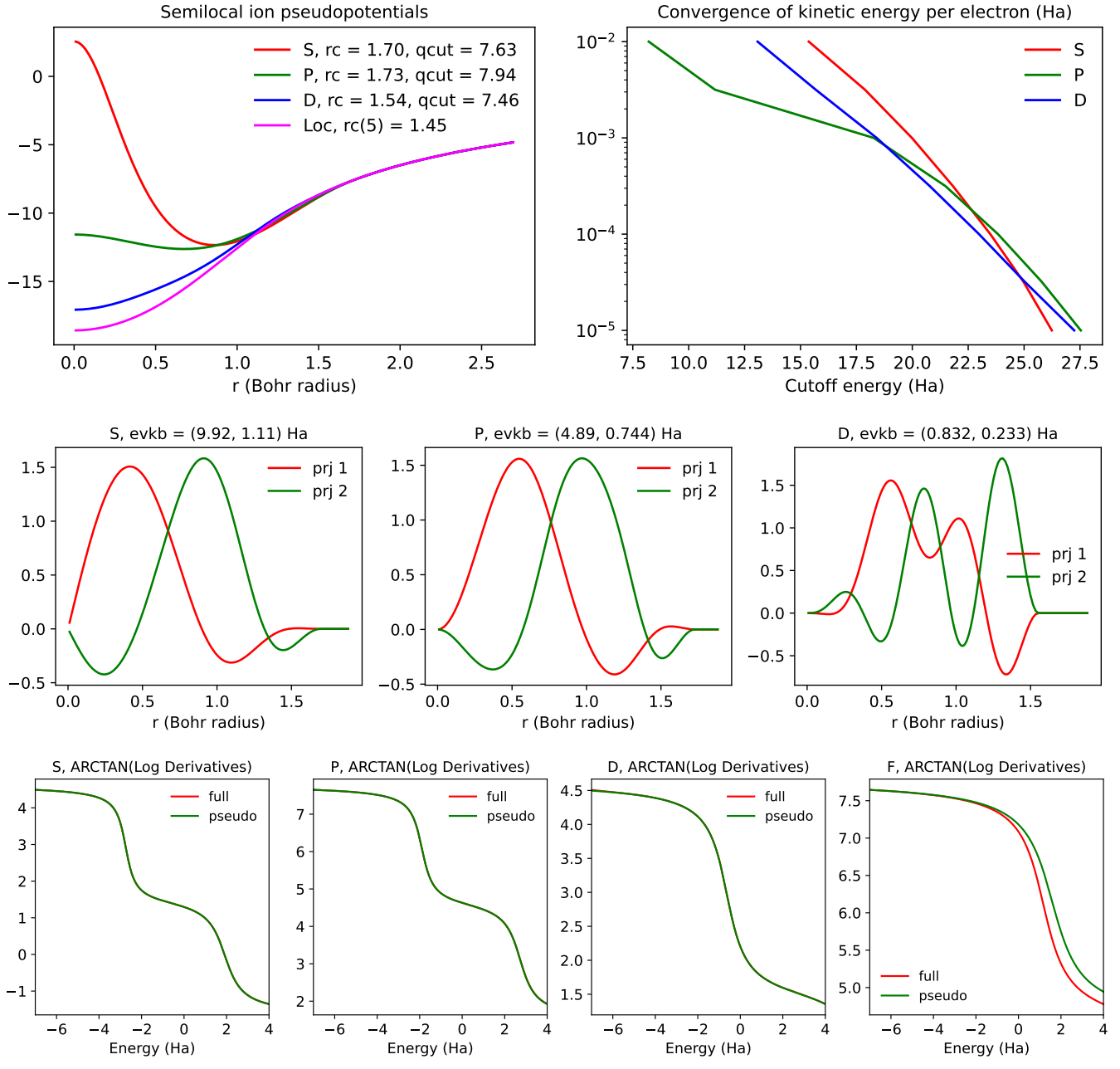
	E_{cut}		$\delta_{\Delta E}$	Δ	Δ'	δ_{lat}			δ_{asr}		δ_{ω}	
	$\delta_E = 10^{-3}$	$\delta_E = 10^{-4}$				BCC	FCC	COMP	LAP	HAP	LOP	HOP
SPMS	13	16	2.67	1.09	2.46	0.15	0.16	0.06	0.38	0.31	0.00	0.05
PseudoDojo	28	33	2.74	1.00	2.26	0.16	0.17	0.06	0.46	0.33	0.02	0.02
SG15	17	26	2.85	0.96	2.16	0.17	0.17	0.04	0.18	0.37	0.01	0.01

Zirconium (Zr)



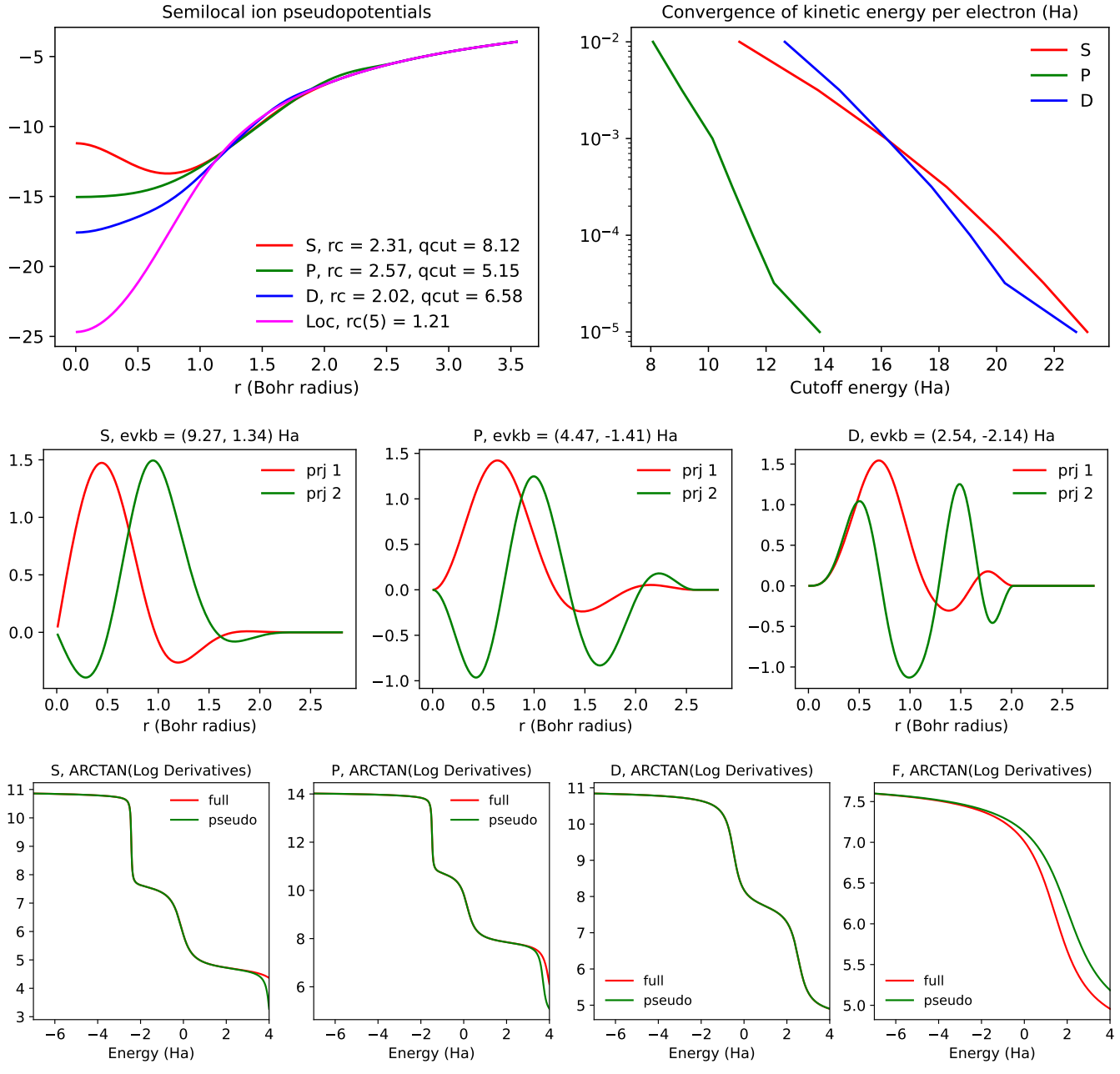
	E_{cut}		$\delta_{\Delta E}$	Δ	Δ'	δ_{lat}			δ_{asr}		δ_{ω}	
	$\delta_E = 10^{-3}$	$\delta_E = 10^{-4}$				BCC	FCC	COMP	LAP	HAP	LOP	HOP
SPMS	13	17	2.35	1.33	1.82	0.01	0.03	0.07	0.97	0.70	0.12	0.0
PseudoDojo	26	31	1.51	0.77	1.06	0.02	0.01	0.09	1.03	0.76	0.06	0.0
SG15	22	29	2.58	0.52	0.72	0.04	0.03	0.07	0.29	0.35	0.02	0.0

Niobium (Nb)



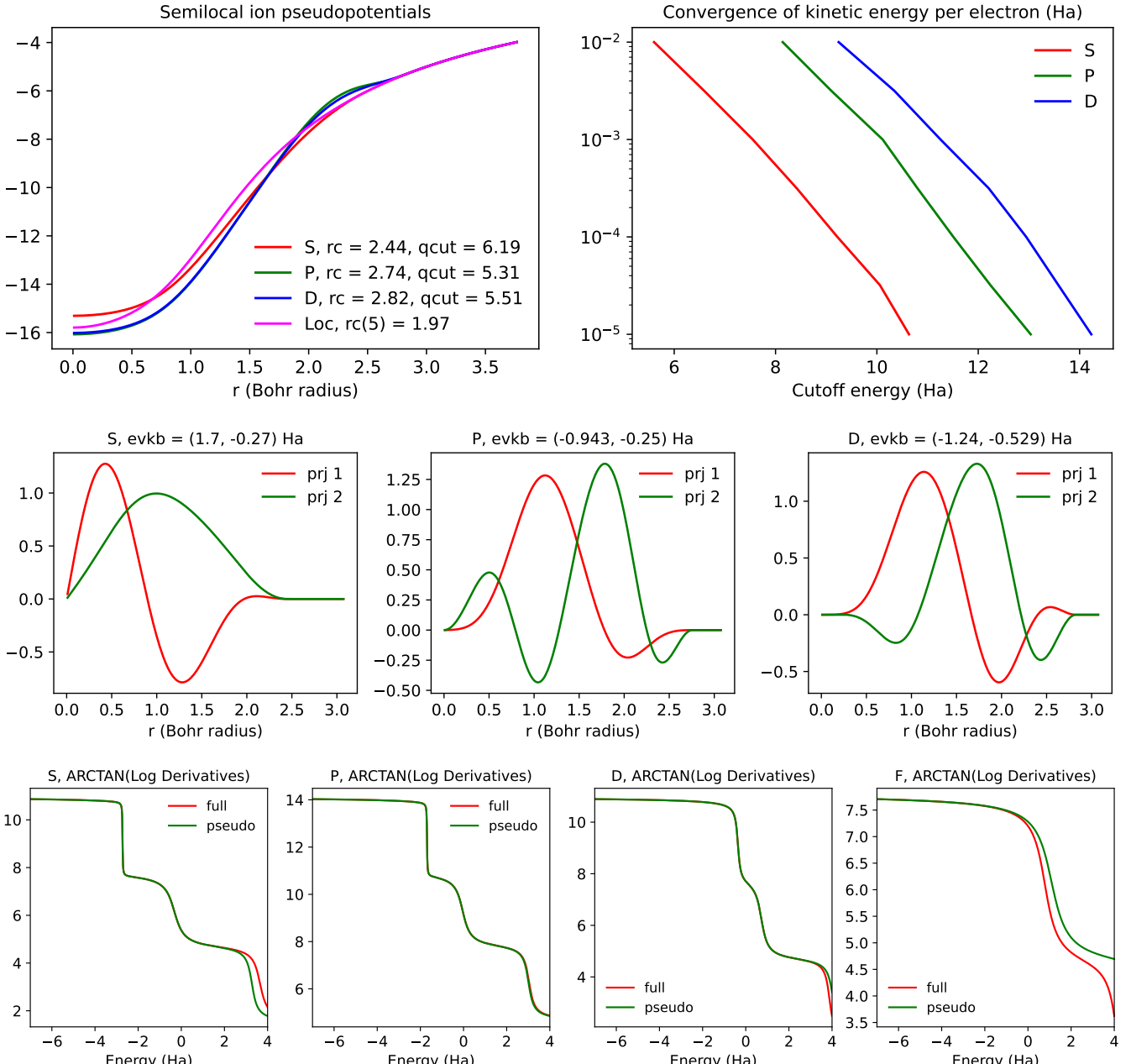
	E_{cut}		$\delta_{\Delta E}$	Δ	Δ'	δ_{lat}			δ_{asr}		δ_{ω}	
	$\delta_E = 10^{-3}$	$\delta_E = 10^{-4}$				BCC	FCC	COMP	LAP	HAP	LOP	HOP
SPMS	24	28	1.18	1.53	1.50	0.03	0.02	0.10	0.88	0.88	0.01	0.01
PseudoDojo	33	39	1.04	1.29	1.26	0.01	0.01	0.10	0.69	0.69	0.00	0.00
SG15	41	72	1.42	1.35	1.32	0.02	0.01	0.09	1.40	1.40	0.00	0.00

Molybdenum (Mo)



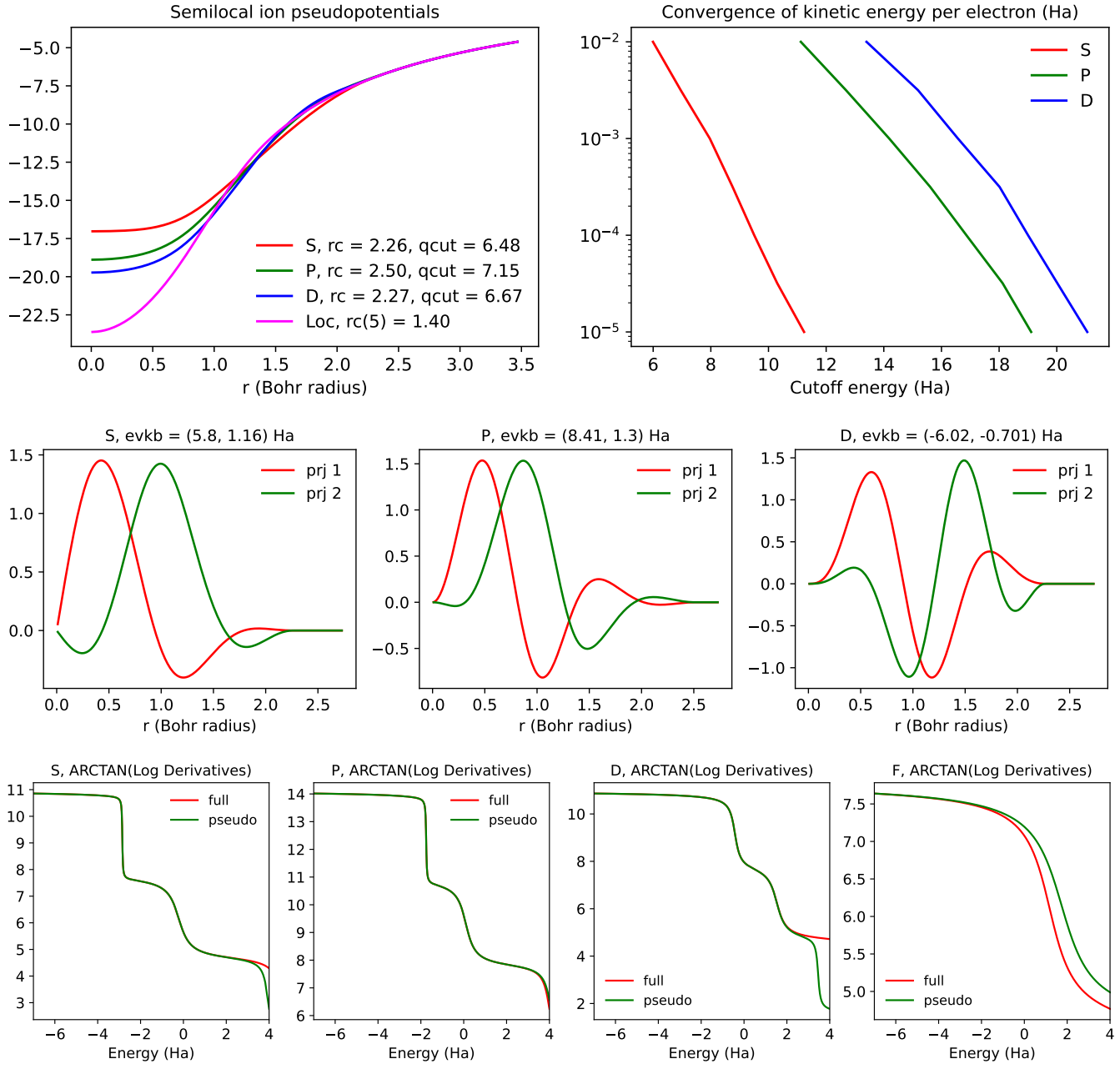
	E_{cut}		$\delta_{\Delta E}$	Δ	Δ'	δ_{lat}			δ_{asr}		δ_{ω}	
	$\delta_E = 10^{-3}$	$\delta_E = 10^{-4}$				BCC	FCC	COMP	LAP	HAP	LOP	HOP
SPMS	19	23	1.30	1.60	1.17	0.08	0.03	0.13	0.25	0.25	0.01	0.01
PseudoDojo	32	38	1.24	1.41	1.03	0.09	0.02	0.12	0.47	0.47	0.12	0.12
SG15	15	19	4.20	0.12	0.09	0.14	0.03	0.13	0.30	0.30	0.07	0.07

Technetium (Tc)



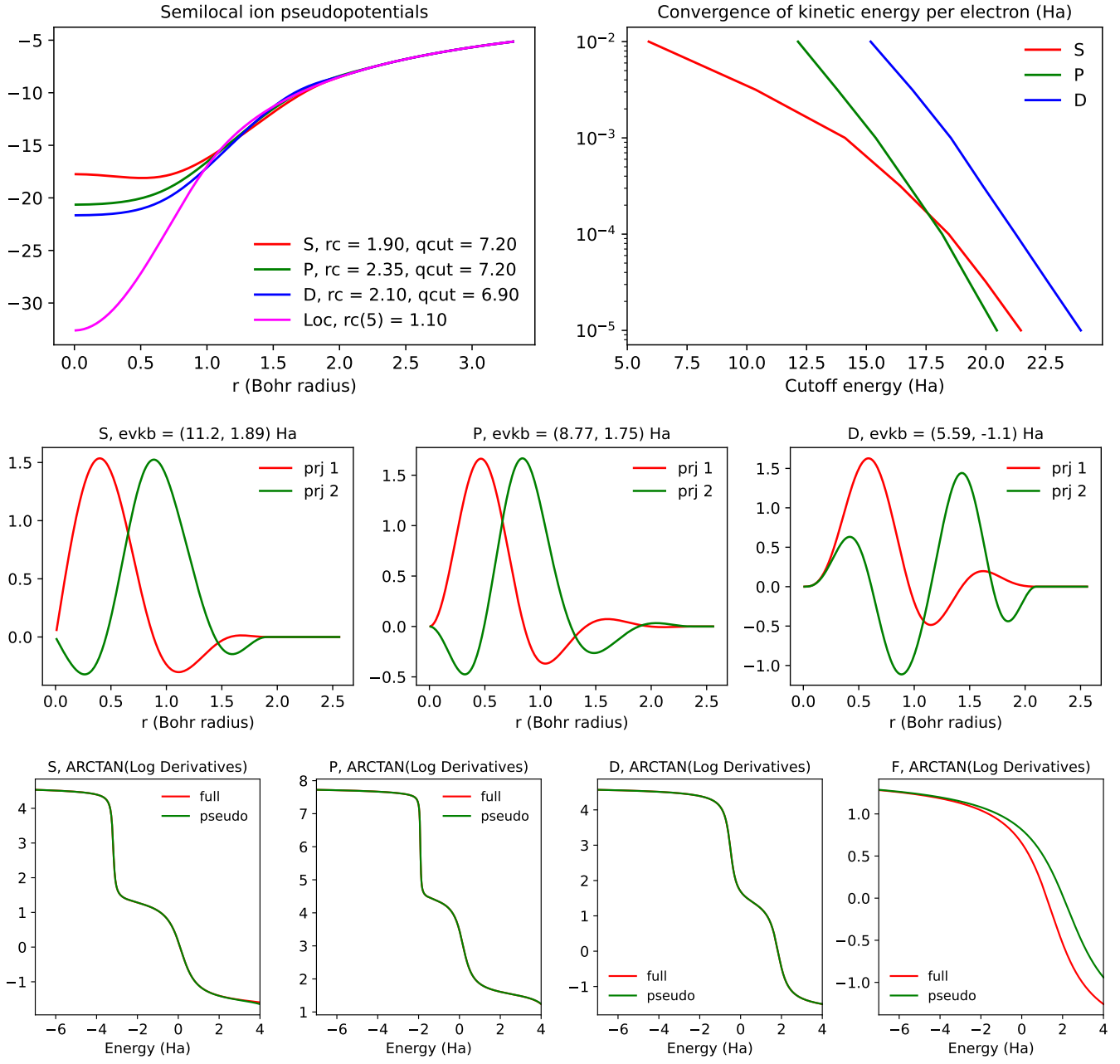
	E_{cut}		$\delta_{\Delta E}$	Δ	Δ'	δ_{lat}			δ_{asr}		δ_{ω}	
	$\delta_E = 10^{-3}$	$\delta_E = 10^{-4}$				BCC	FCC	COMP	LAP	HAP	LOP	HOP
SPMS	12	14	4.32	0.61	0.43	0.02	0.08	0.11	3.21	2.27	0.50	0.07
PseudoDojo	34	39	0.94	1.63	1.14	0.01	0.11	0.13	3.91	2.75	0.10	0.02
SG15	15	26	2.99	0.75	0.52	0.03	0.08	0.10	0.17	0.08	0.31	0.05

Ruthenium (Ru)



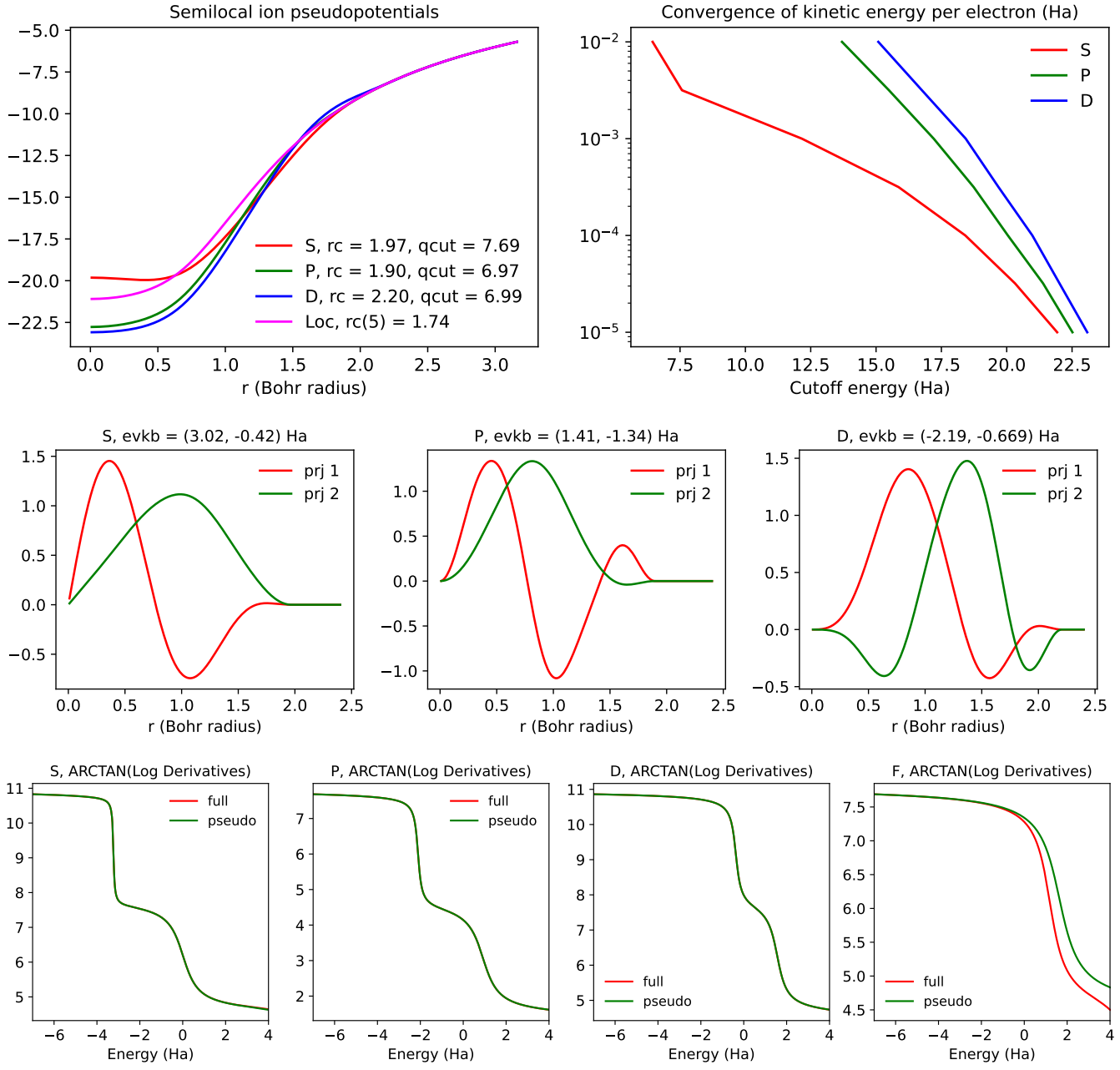
	E_{cut}		$\delta_{\Delta E}$	Δ	Δ'	δ_{lat}			δ_{asr}		δ_{ω}	
	$\delta_E = 10^{-3}$	$\delta_E = 10^{-4}$				BCC	FCC	COMP	LAP	HAP	LOP	HOP
SPMS	19	24	2.81	2.35	1.63	0.19	0.16	0.12	5.38	3.80	0.01	0.02
PseudoDojo	35	42	2.82	2.12	1.48	0.19	0.15	0.12	5.79	4.10	0.01	0.00
SG15	17	27	2.20	1.12	0.78	0.15	0.12	0.08	0.03	0.18	0.02	0.05

Rhodium (Rh)



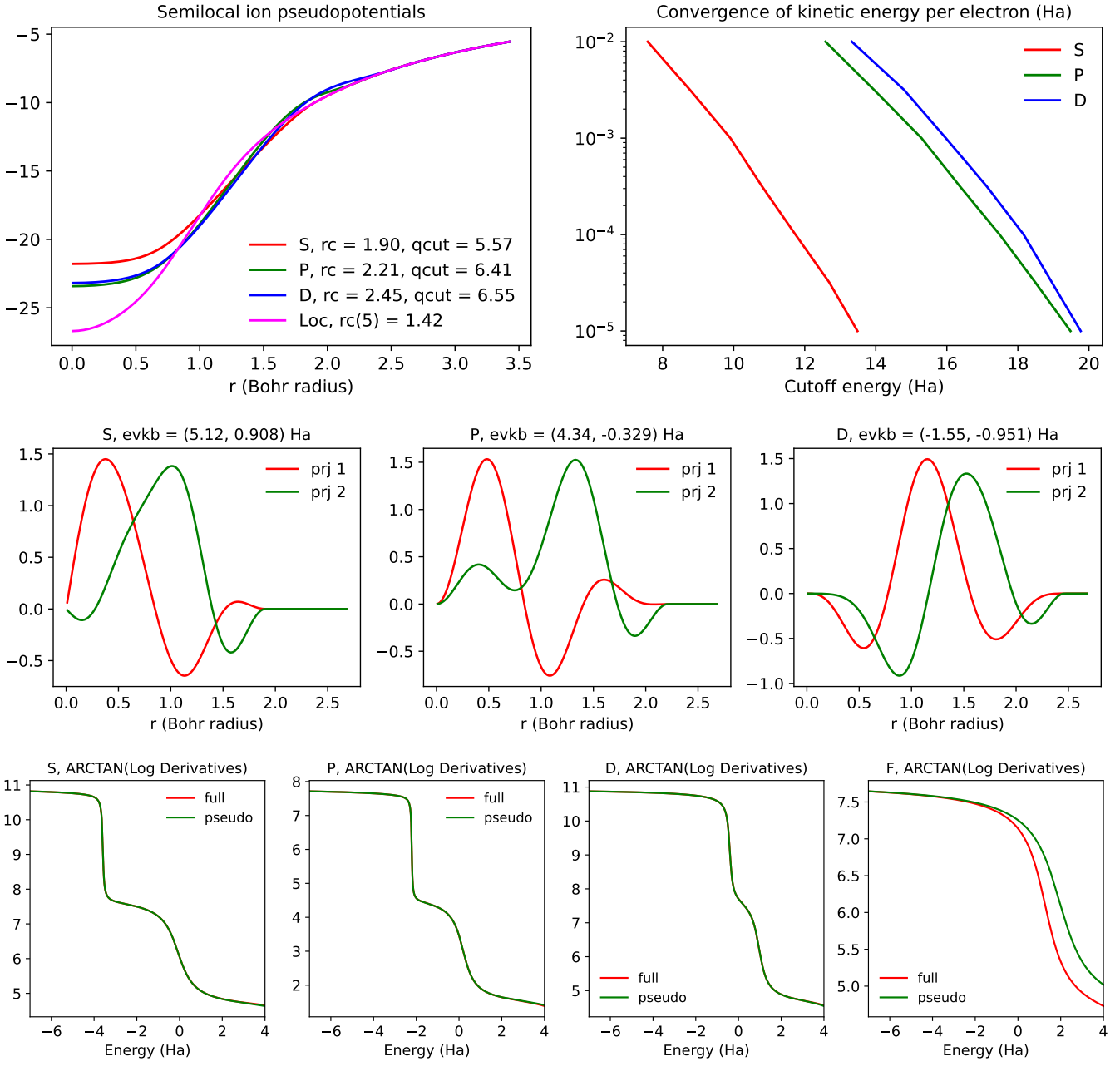
	E_{cut}		$\delta_{\Delta E}$	Δ	Δ'	δ_{lat}			δ_{asr}		δ_{ω}	
	$\delta_E = 10^{-3}$	$\delta_E = 10^{-4}$				BCC	FCC	COMP	LAP	HAP	LOP	HOP
SPMS	21	25	1.53	2.61	2.17	0.13	0.11	0.09	0.08	0.08	0.02	0.01
PseudoDojo	37	42	1.36	2.56	2.14	0.14	0.11	0.09	0.93	0.93	0.05	0.04
SG15	20	33	2.55	2.02	1.69	0.10	0.09	0.06	0.46	0.46	0.11	0.13

Palladium (Pd)



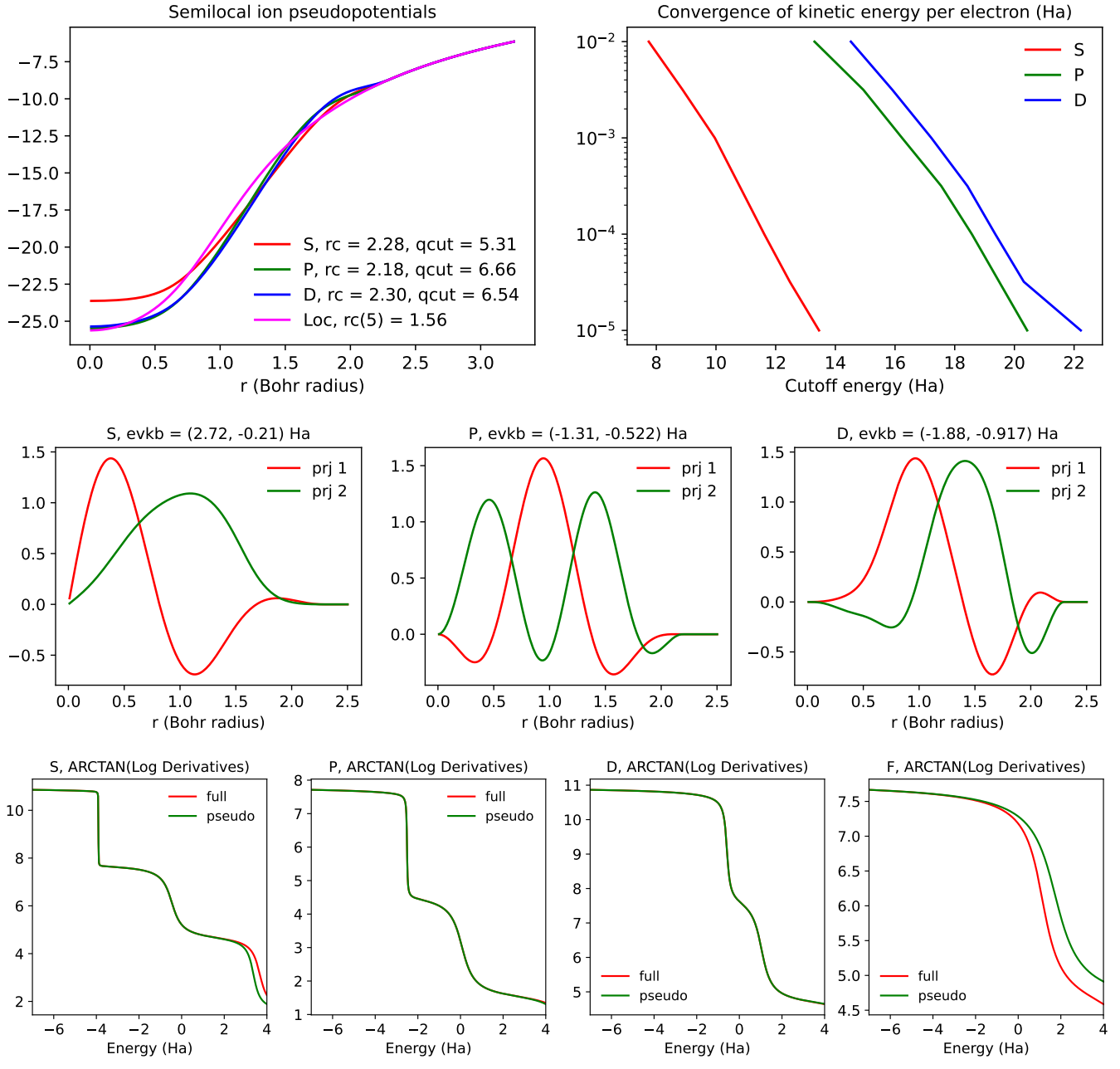
	E_{cut}		$\delta_{\Delta E}$	Δ	Δ'	δ_{lat}			δ_{asr}		δ_{ω}	
	$\delta_E = 10^{-3}$	$\delta_E = 10^{-4}$				BCC	FCC	COMP	LAP	HAP	LOP	HOP
SPMS	21	24	1.95	3.70	4.27	0.11	0.09	0.10	0.38	0.38	0.02	0.03
PseudoDojo	34	39	3.95	1.14	1.32	0.05	0.06	0.11	0.11	0.11	0.01	0.02
SG15	23	41	2.51	1.60	1.87	0.02	0.03	0.10	0.09	0.09	0.04	0.02

Silver (Ag)



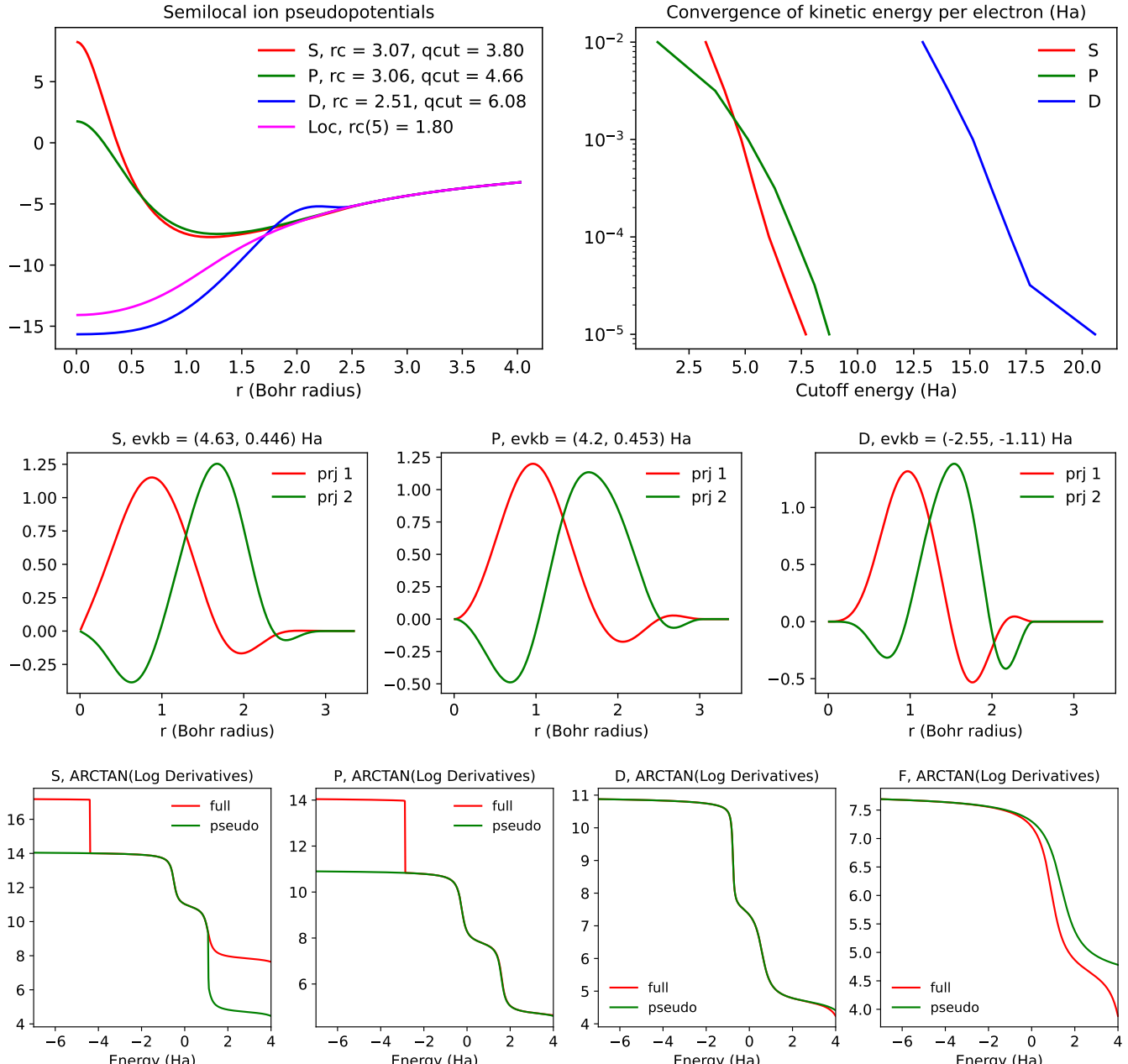
	E_{cut}		$\delta_{\Delta E}$	Δ	Δ'	δ_{lat}			δ_{asr}		δ_{ω}	
	$\delta_E = 10^{-3}$	$\delta_E = 10^{-4}$				BCC	FCC	COMP	LAP	HAP	LOP	HOP
SPMS	18	22	1.14	0.29	0.52	0.09	0.14	0.13	0.42	0.42	0.03	0.03
PseudoDojo	36	40	0.96	0.32	0.58	0.13	0.17	0.11	0.59	0.59	0.00	0.00
SG15	22	24	1.12	0.35	0.65	0.14	0.17	0.11	0.28	0.28	0.13	0.15

Cadmium (Cd)



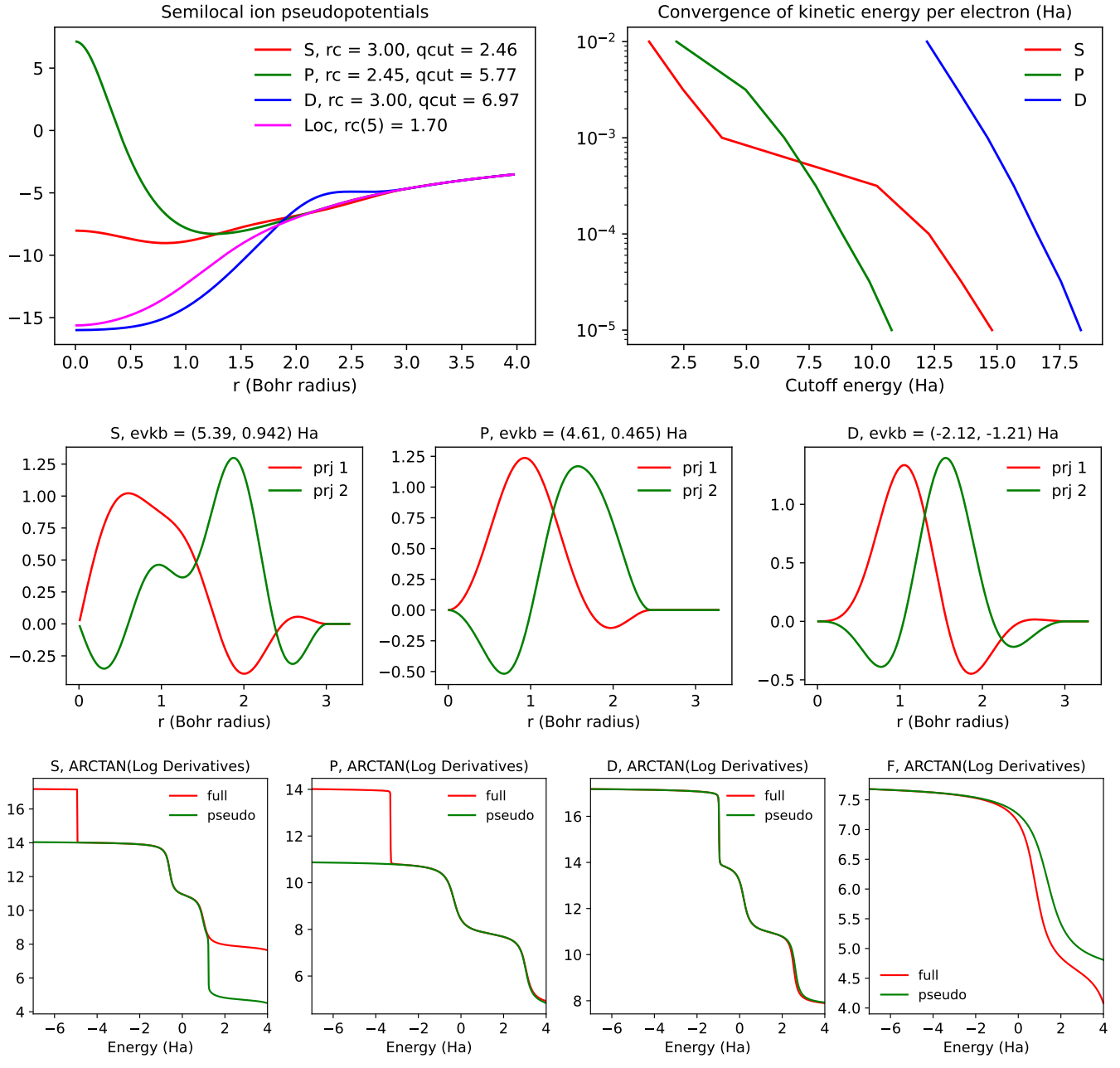
	E_{cut}		$\delta_{\Delta E}$	Δ	Δ'	δ_{lat}			δ_{asr}		δ_{ω}	
	$\delta_E = 10^{-3}$	$\delta_E = 10^{-4}$				BCC	FCC	COMP	LAP	HAP	LOP	HOP
SPMS	19	24	0.40	0.43	1.28	0.01	0.05	0.06	14.72	10.41	0.16	0.11
PseudoDojo	44	49	1.26	1.13	3.45	0.11	0.07	0.06	22.51	15.92	0.06	0.11
SG15	16	18	1.47	1.65	5.00	0.15	0.13	0.07	0.19	0.16	0.65	0.31

Indium (In)



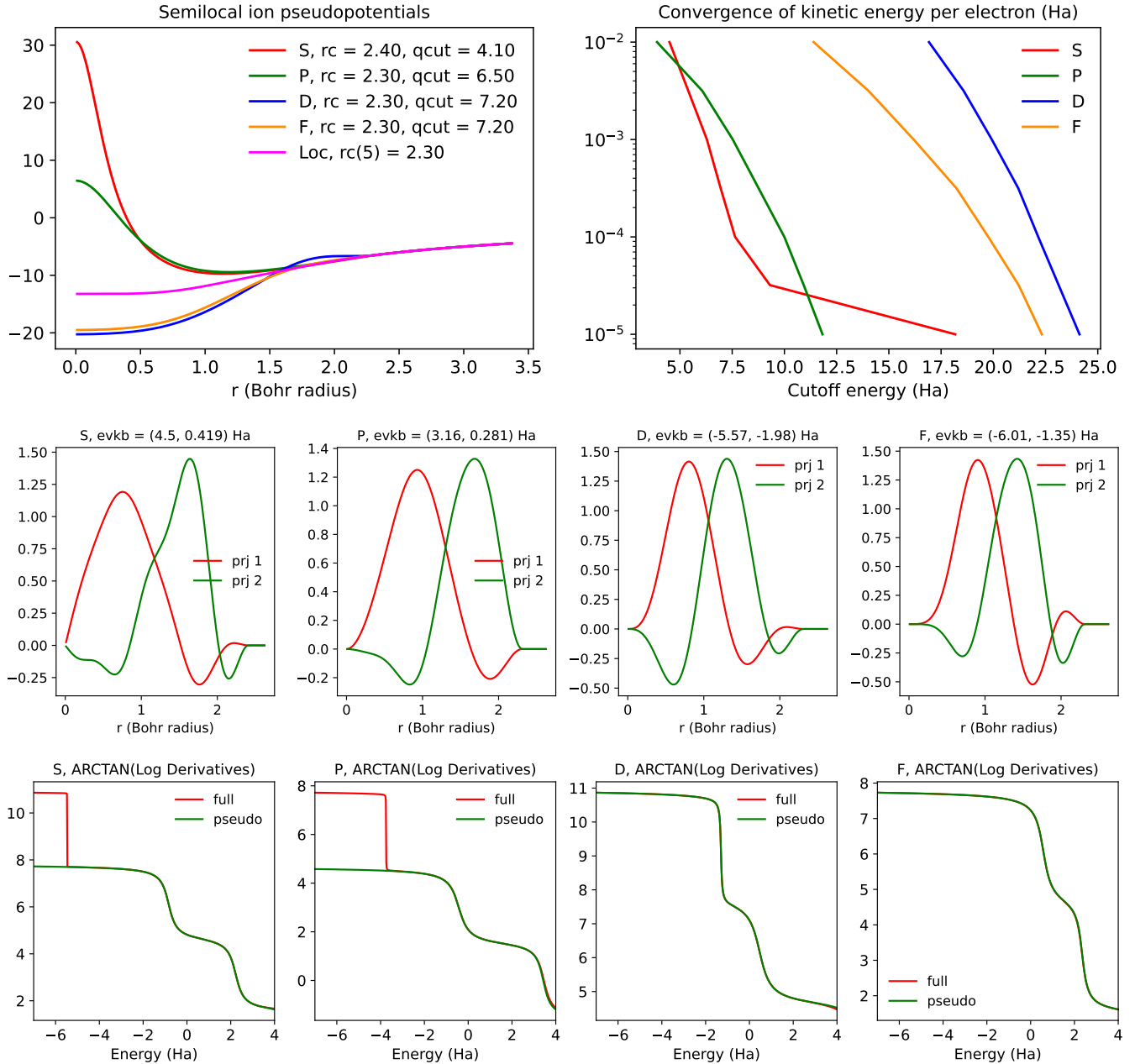
	E_{cut}		$\delta_{\Delta E}$	Δ	Δ'	δ_{lat}			δ_{asr}		δ_{ω}	
	$\delta_E = 10^{-3}$	$\delta_E = 10^{-4}$				BCC	FCC	COMP	LAP	HAP	LOP	HOP
SPMS	17	20	0.40	0.39	1.22	0.05	0.03	0.10	0.44	0.31	0.03	0.01
PseudoDojo	30	33	0.88	0.07	0.21	0.02	0.04	0.05	0.30	0.45	0.08	0.00
SG15	26	33	0.40	0.40	1.25	0.05	0.03	0.09	0.24	0.18	0.02	0.01

Tin (Sn)



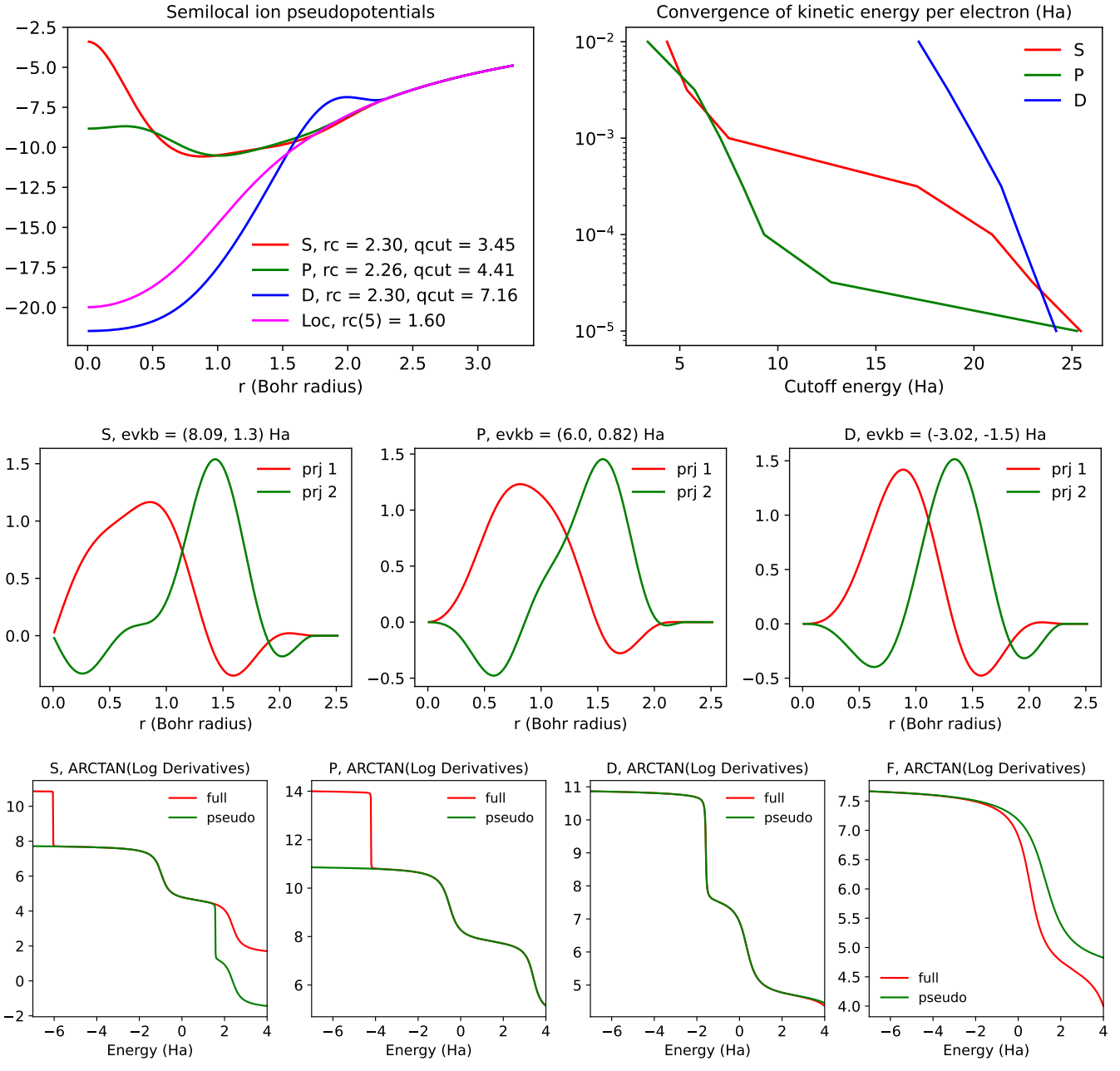
	E_{cut}		$\delta_{\Delta E}$	Δ	Δ'	δ_{lat}			δ_{asr}		δ_{ω}	
	$\delta_E = 10^{-3}$	$\delta_E = 10^{-4}$				BCC	FCC	COMP	LAP	HAP	LOP	HOP
SPMS	16	18	4.16	0.89	2.05	0.06	0.06	0.08	0.50	0.50	0.10	0.10
PseudoDojo	31	34	3.77	0.77	1.76	0.00	0.01	0.07	0.76	0.76	0.03	0.03
SG15	17	21	3.94	0.46	1.05	0.03	0.04	0.07	0.97	0.97	0.01	0.01

Antimony (Sb)



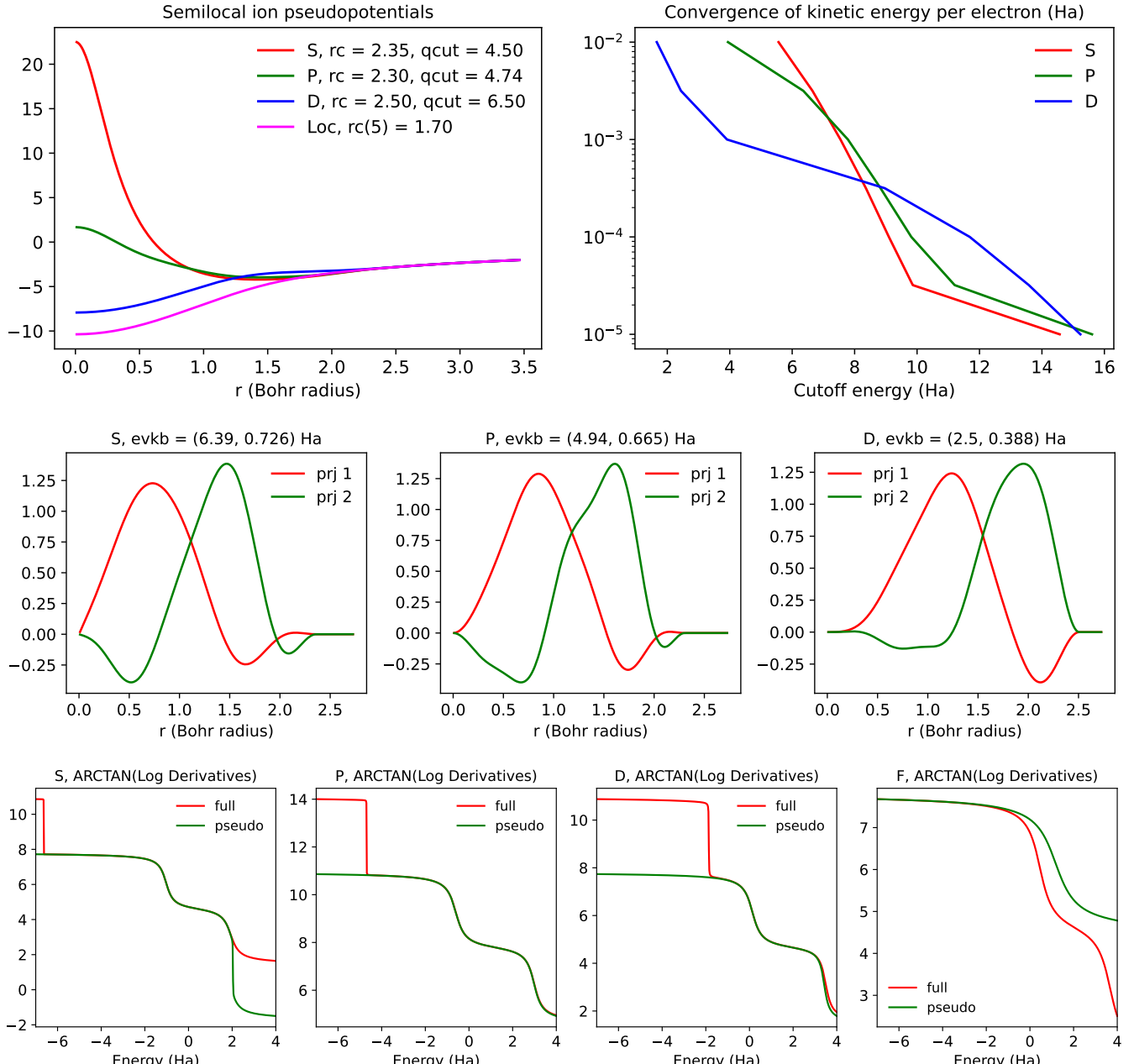
	E_{cut}		$\delta_{\Delta E}$	Δ	Δ'	δ_{lat}			δ_{asr}		δ_{ω}	
	$\delta_E = 10^{-3}$	$\delta_E = 10^{-4}$				BCC	FCC	COMP	LAP	HAP	LOP	HOP
SPMS	22	24	0.69	0.42	0.78	0.01	0.03	0.06	0.25	0.13	0.14	0.00
PseudoDojo	35	38	1.70	0.53	1.00	0.04	0.05	0.06	0.13	0.05	0.01	0.07
SG15	20	26	2.34	0.43	0.81	0.05	0.07	0.05	0.28	0.15	0.11	0.05

Tellurium (Te)



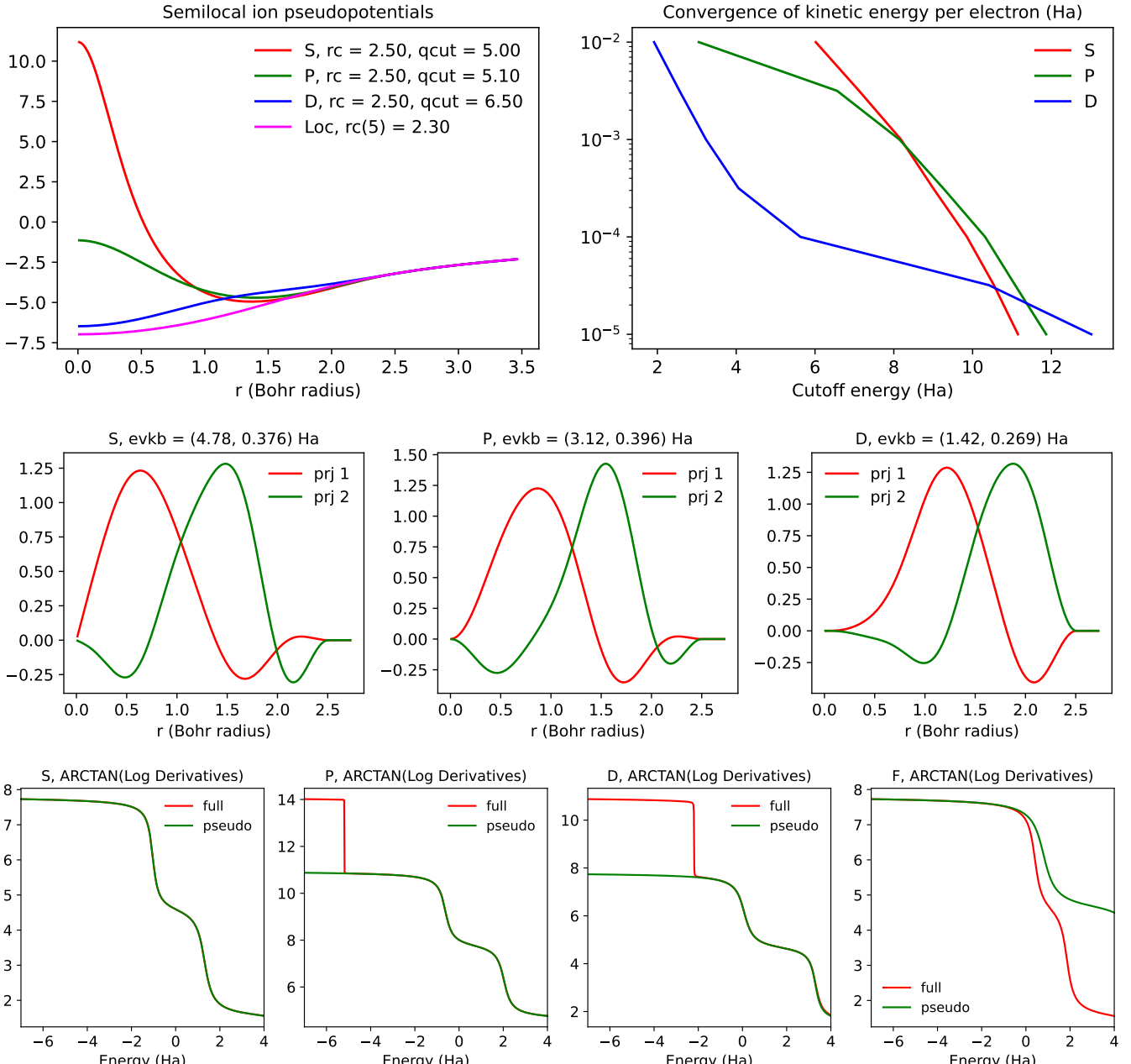
	E_{cut}		$\delta_{\Delta E}$	Δ	Δ'	δ_{lat}			δ_{asr}		δ_{ω}	
	$\delta_E = 10^{-3}$	$\delta_E = 10^{-4}$				BCC	FCC	COMP	LAP	HAP	LOP	HOP
SPMS	22	25	2.23	0.43	0.82	0.07	0.11	0.12	0.14	0.12	0.01	0.02
PseudoDojo	32	42	2.83	0.83	1.59	0.11	0.16	0.11	0.13	0.13	0.01	0.02
SG15	22	26	2.92	0.96	1.83	0.12	0.17	0.15	0.87	0.87	0.00	0.08

Iodine (I)



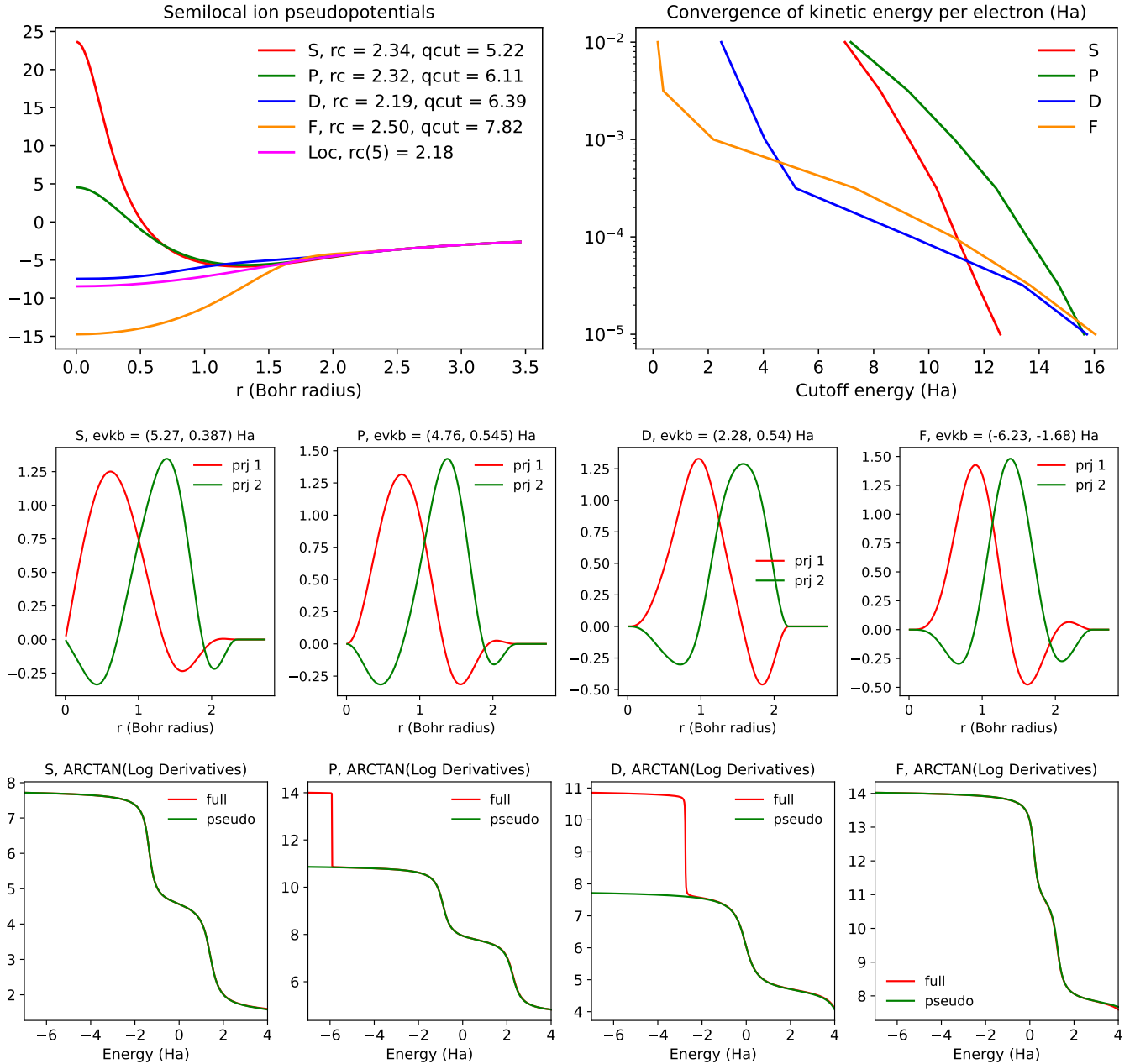
	E_{cut}		$\delta_{\Delta E}$	Δ	Δ'	δ_{lat}			δ_{asr}		δ_{ω}	
	$\delta_E = 10^{-3}$	$\delta_E = 10^{-4}$				BCC	FCC	COMP	LAP	HAP	LOP	HOP
SPMS	9	14	2.09	0.02	0.08	0.08	0.04	0.03	0.1	0.13	1.03	0.58
PseudoDojo	25	31	2.15	0.36	1.14	0.12	0.09	0.11	-	-	-	-
SG15	24	30	1.54	0.73	2.33	0.15	0.12	0.09	-	-	-	-

Xenon (Xe)



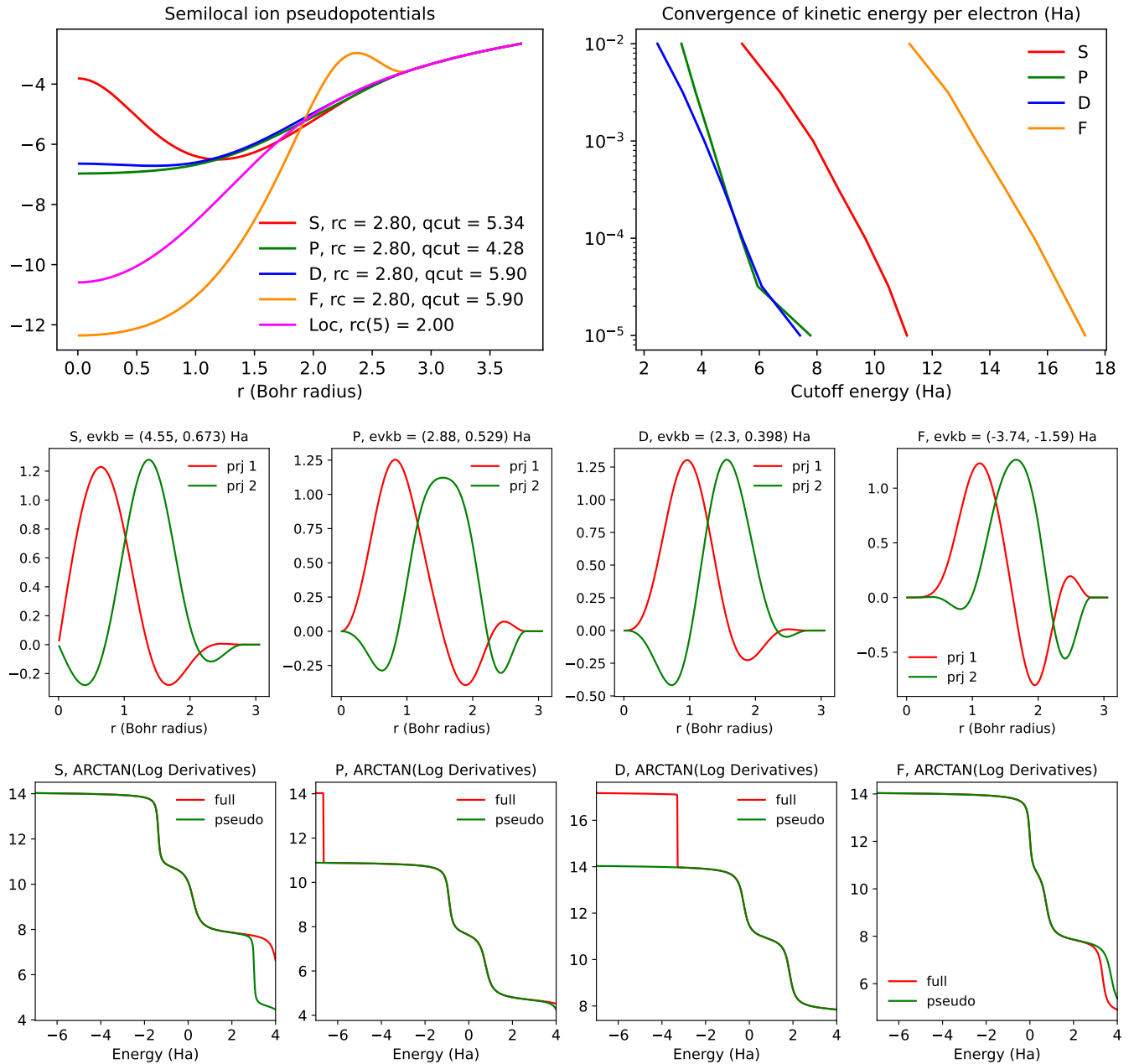
	E_{cut}		$\delta_{\Delta E}$	Δ	Δ'	δ_{lat}			δ_{asr}		δ_{ω}	
	$\delta_E = 10^{-3}$	$\delta_E = 10^{-4}$				BCC	FCC	COMP	LAP	HAP	LOP	HOP
SPMS	10	12	0.84	0.05	2.90	-	-	-	0.08	0.08	4.01	4.10
PseudoDojo	16	31	0.85	0.03	2.22	-	-	-	0.08	0.08	0.87	0.75
SG15	21	25	0.84	0.04	2.84	-	-	-	-	-	-	-

Cesium (Cs)



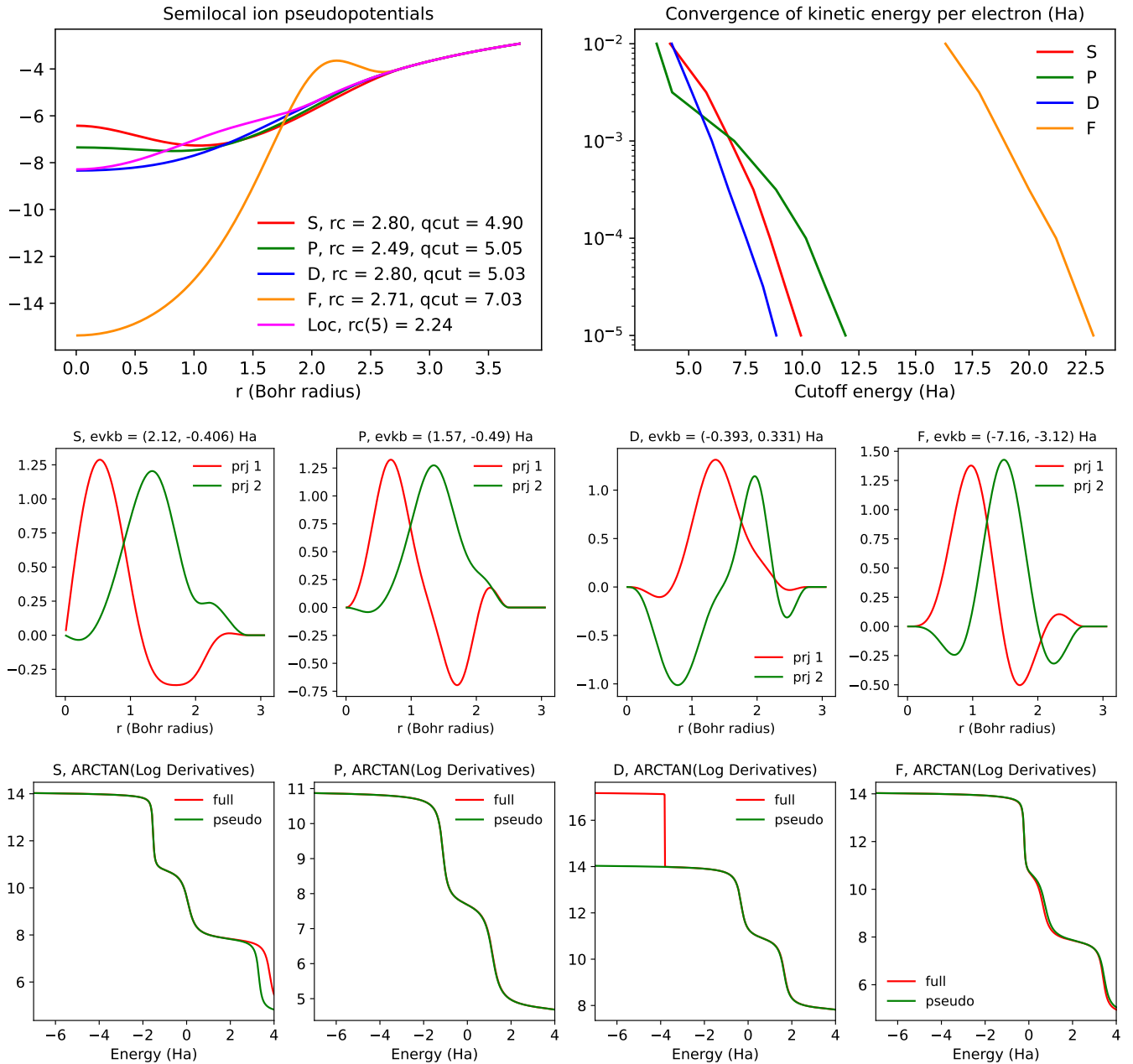
	E_{cut}		$\delta_{\Delta E}$	Δ	Δ'	δ_{lat}			δ_{asr}		δ_{ω}	
	$\delta_E = 10^{-3}$	$\delta_E = 10^{-4}$				BCC	FCC	COMP	LAP	HAP	LOP	HOP
SPMS	13	15	9.33	0.12	1.56	1.34	1.07	0.09	0.09	0.09	0.11	0.11
PseudoDojo	14	18	9.32	0.12	1.54	1.34	1.07	0.10	0.04	0.04	0.03	0.03
SG15	16	19	9.28	0.09	1.26	1.32	1.06	0.10	0.35	0.35	0.02	0.02

Barium (Ba)



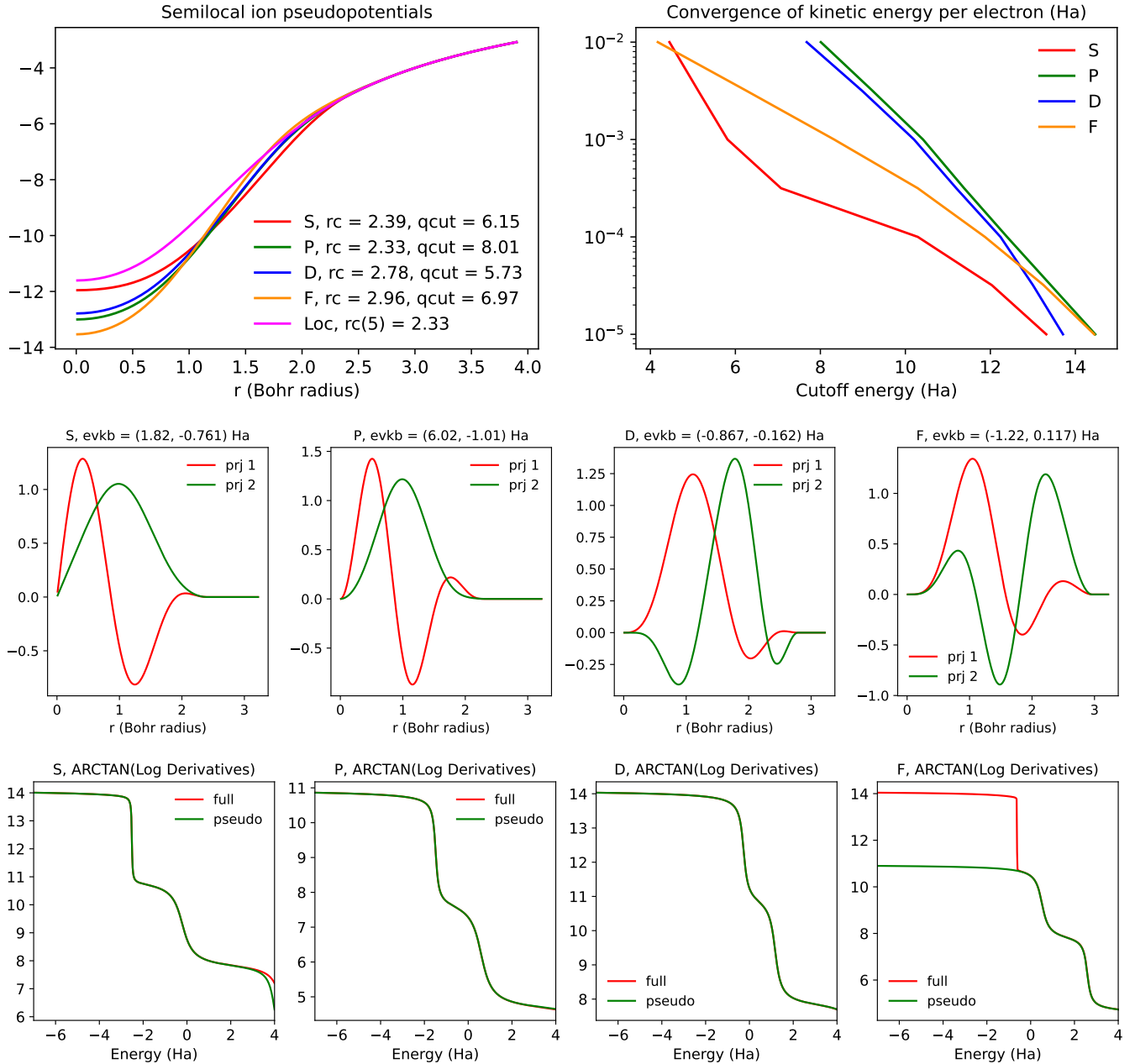
	E_{cut}		$\delta_{\Delta E}$	Δ	Δ'	δ_{lat}			δ_{asr}		δ_{ω}	
	$\delta_E = 10^{-3}$	$\delta_E = 10^{-4}$				BCC	FCC	COMP	LAP	HAP	LOP	HOP
SPMS	8	11	0.85	0.33	1.82	0.09	0.08	0.10	0.07	0.07	0.01	0.01
PseudoDojo	16	19	0.85	0.91	4.93	0.07	0.07	0.15	0.28	0.28	0.02	0.02
SG15	9	14	0.74	0.40	2.20	0.07	0.08	0.08	0.14	0.14	0.17	0.17

Lanthanum (La)



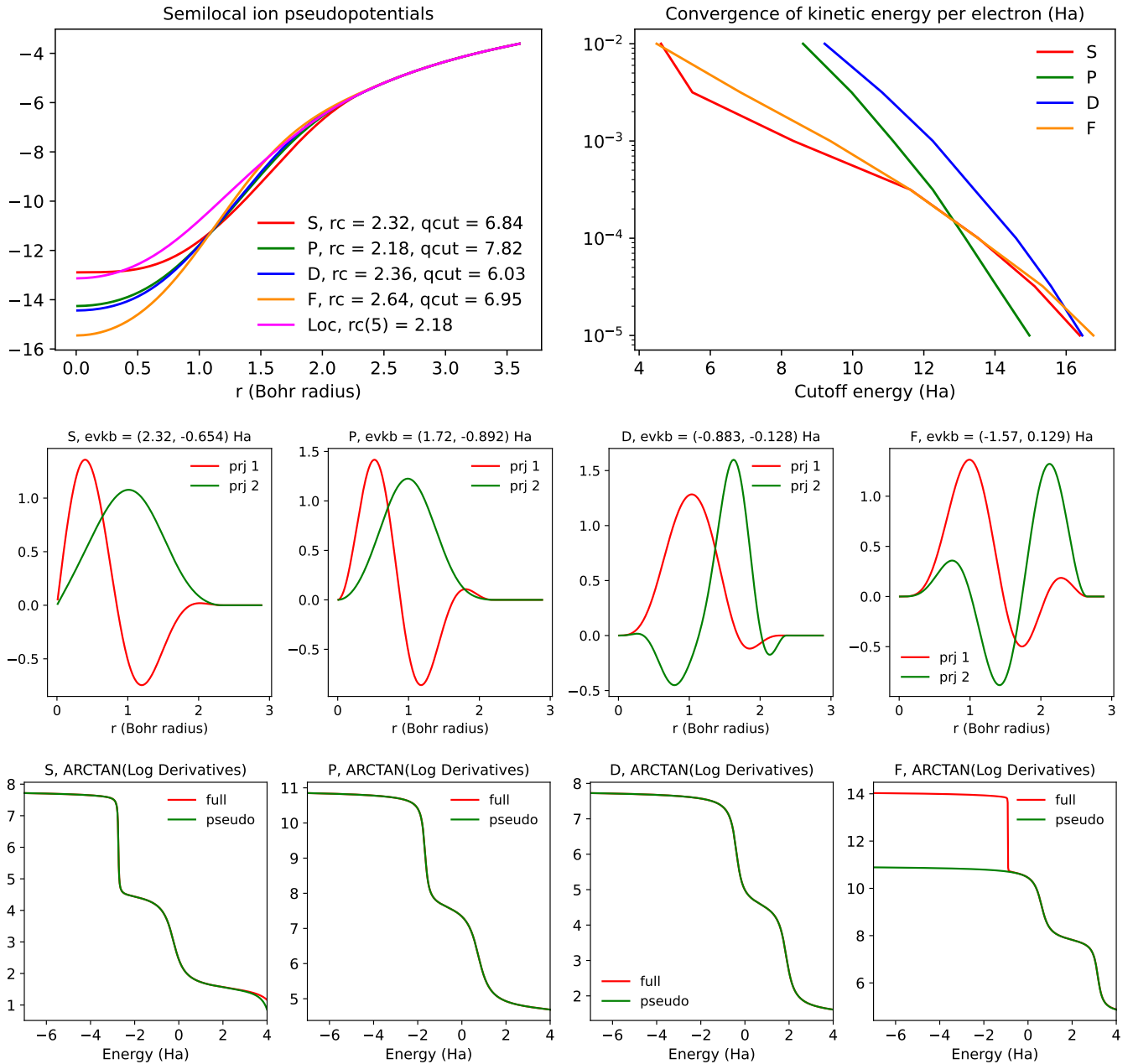
	E_{cut}		$\delta_{\Delta E}$	Δ	Δ'	δ_{lat}			δ_{asr}		δ_{ω}	
	$\delta_E = 10^{-3}$	$\delta_E = 10^{-4}$				BCC	FCC	COMP	LAP	HAP	LOP	HOP
SPMS	15	18	1.73	-	-	0.04	0.02	0.09	-	-	-	-
PseudoDojo	38	47	2.77	-	-	0.10	0.12	0.09	-	-	-	-
SG15	20	23	3.11	-	-	0.14	0.17	0.05	-	-	-	-

Hafnium (Hf)



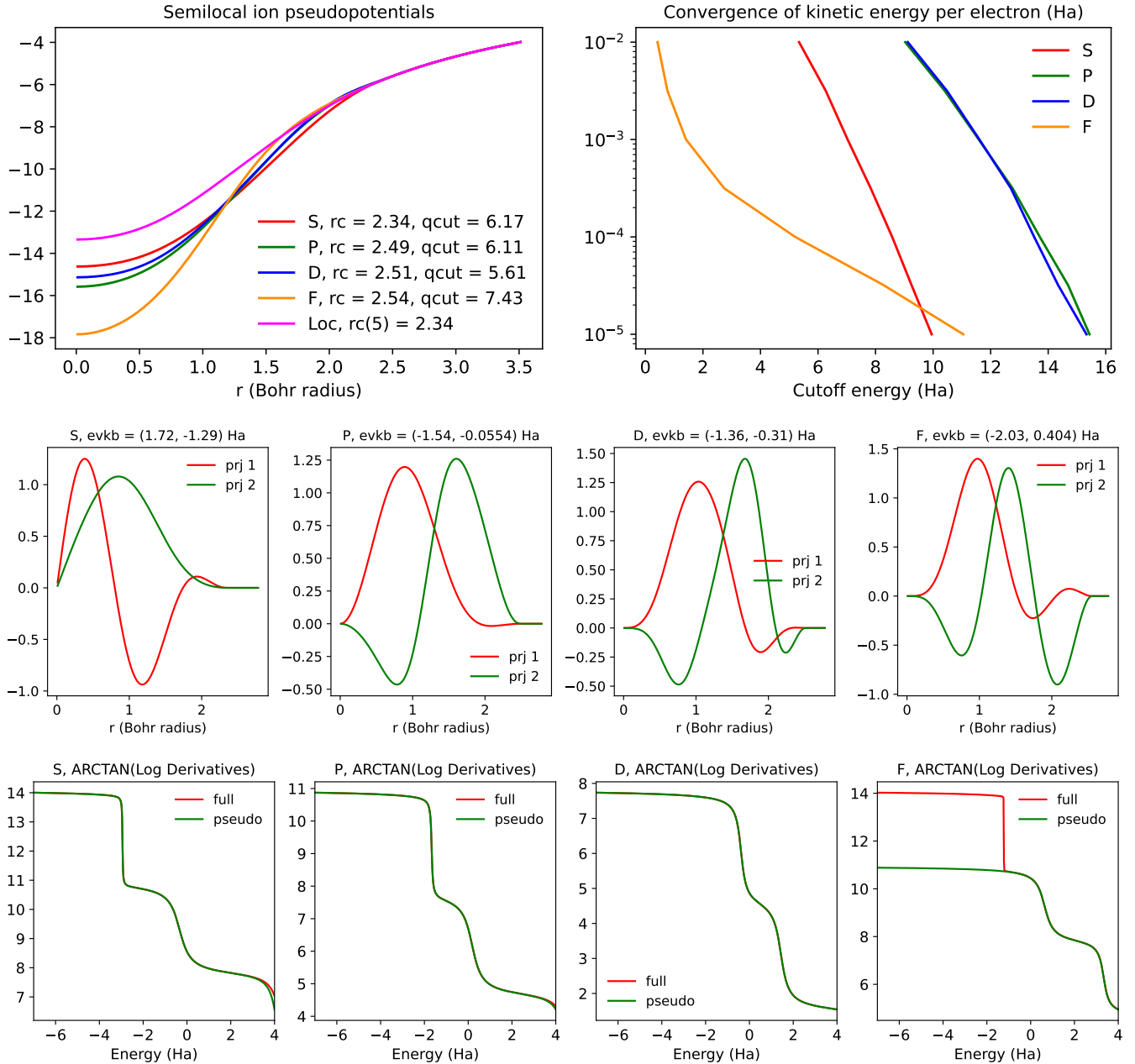
	E_{cut}		$\delta_{\Delta E}$	Δ	Δ'	δ_{lat}			δ_{asr}		δ_{ω}	
	$\delta_E = 10^{-3}$	$\delta_E = 10^{-4}$				BCC	FCC	COMP	LAP	HAP	LOP	HOP
SPMS	12	15	2.82	0.40	0.50	0.03	0.09	0.20	0.08	0.36	0.03	0.04
PseudoDojo	23	28	2.02	0.62	0.76	0.02	0.08	0.20	0.40	0.25	0.03	0.04
SG15	26	30	7.27	1.84	2.26	0.04	0.01	0.11	-	-	-	-

Tantalum (Ta)



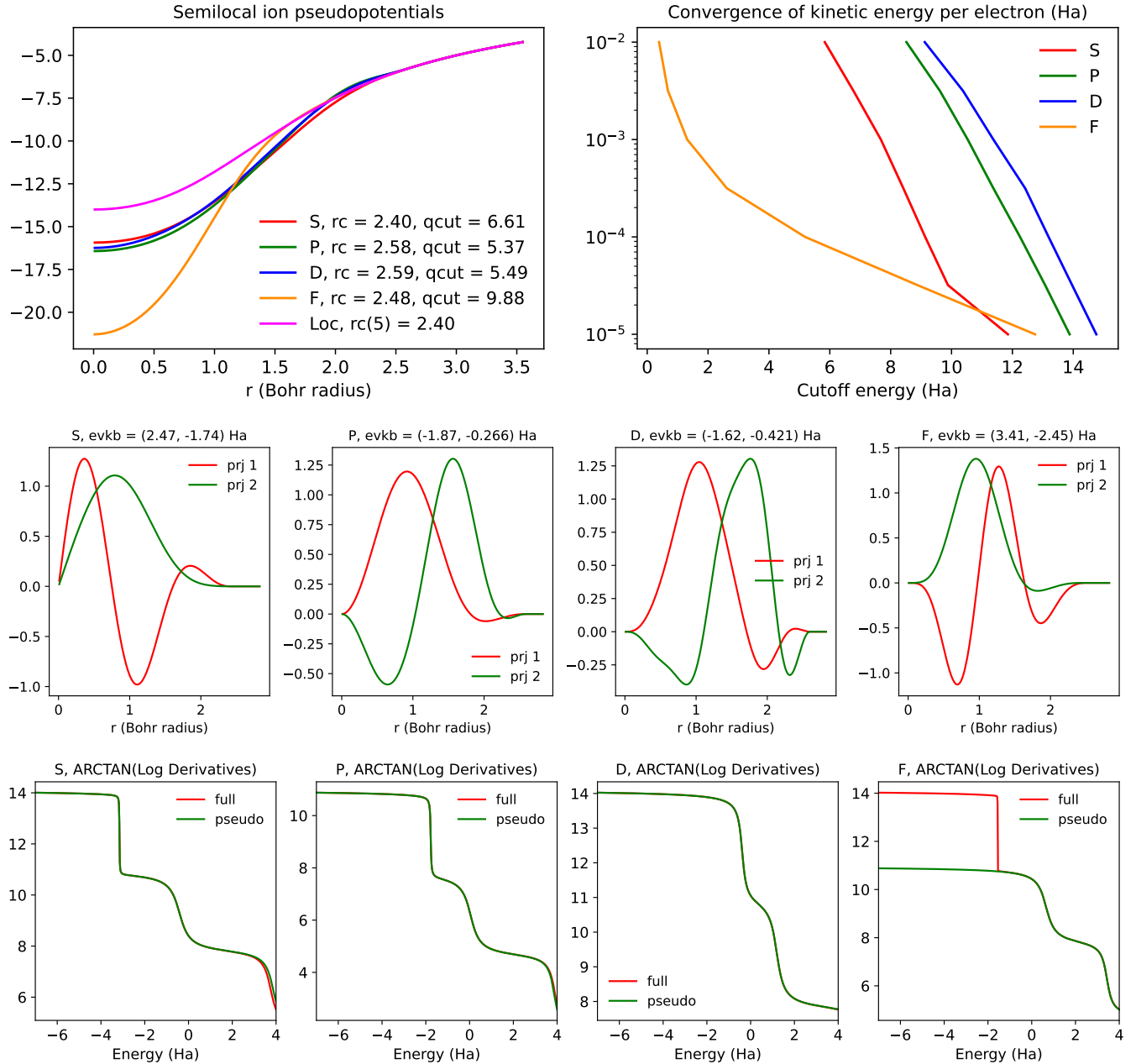
	E_{cut}		$\delta_{\Delta E}$	Δ	Δ'	δ_{lat}			δ_{asr}		δ_{ω}	
	$\delta_E = 10^{-3}$	$\delta_E = 10^{-4}$				BCC	FCC	COMP	LAP	HAP	LOP	HOP
SPMS	14	17	1.52	0.67	0.57	0.22	0.22	0.10	0.13	0.13	0.01	0.01
PseudoDojo	22	28	1.25	0.74	0.62	0.22	0.22	0.12	0.40	0.40	0.01	0.01
SG15	22	24	5.78	2.54	2.14	0.29	0.30	0.10	-	-	-	-

Tungsten (W)



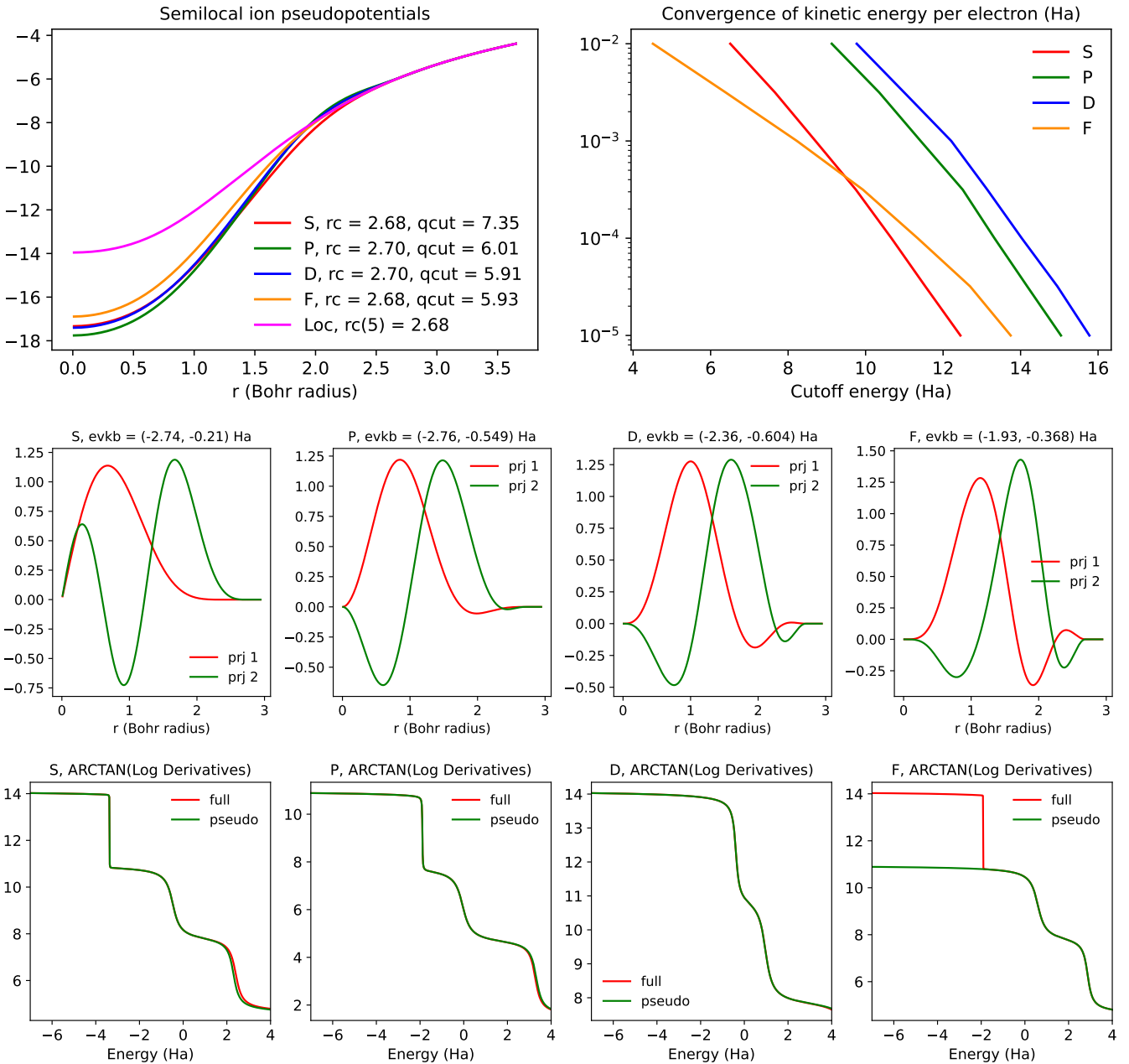
	E_{cut}		$\delta_{\Delta E}$	Δ	Δ'	δ_{lat}			δ_{asr}		δ_{ω}	
	$\delta_E = 10^{-3}$	$\delta_E = 10^{-4}$				BCC	FCC	COMP	LAP	HAP	LOP	HOP
SPMS	13	16	3.68	0.14	0.08	0.31	0.30	0.15	0.46	0.46	0.09	0.09
PseudoDojo	27	42	3.01	0.29	0.18	0.30	0.29	0.18	0.34	0.34	0.09	0.09
SG15	22	25	2.16	0.66	0.41	0.33	0.35	0.21	-	-	-	-

Rhenium (Re)



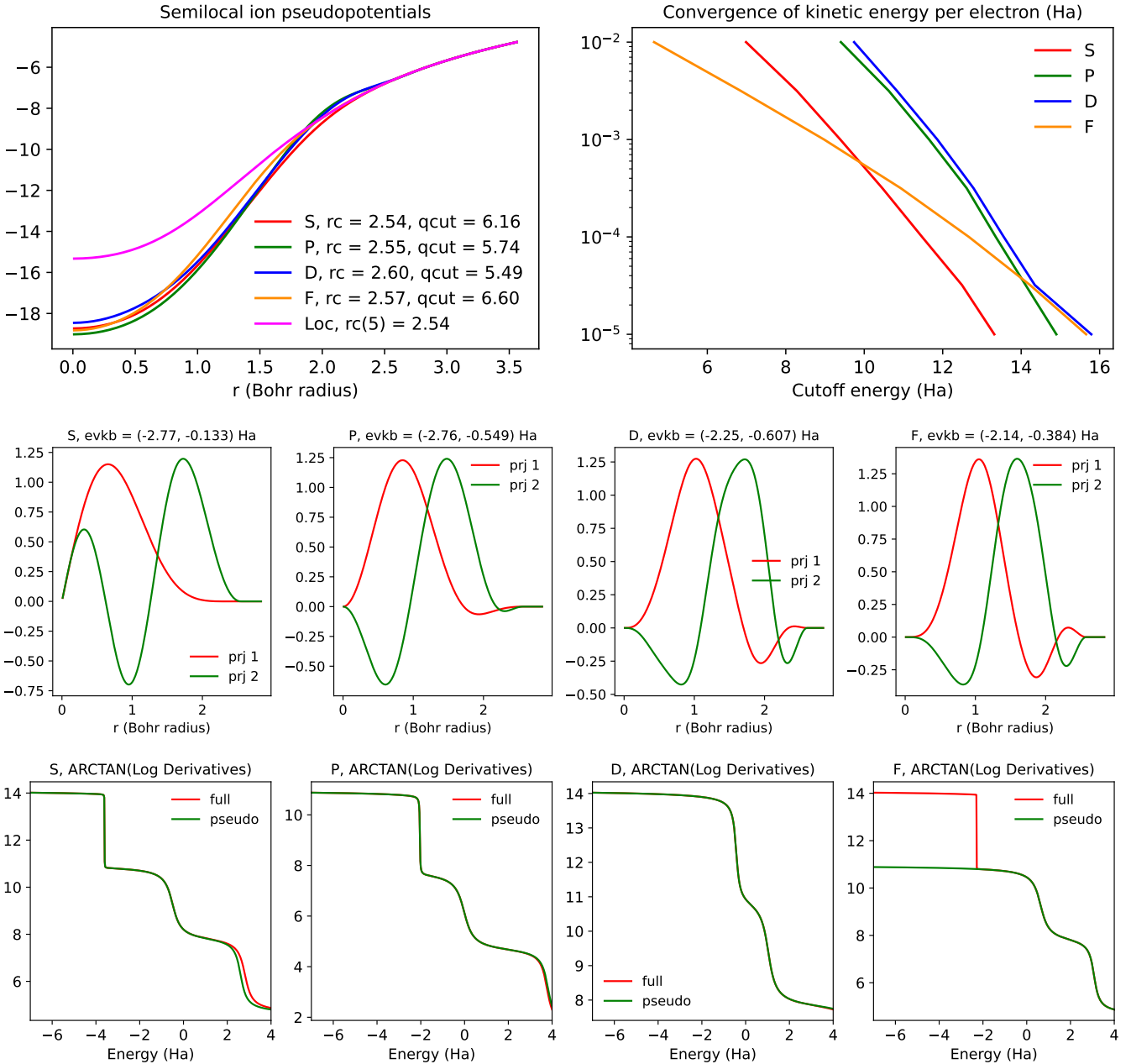
	E_{cut}		$\delta_{\Delta E}$	Δ	Δ'	δ_{lat}			δ_{asr}		δ_{ω}	
	$\delta_E = 10^{-3}$	$\delta_E = 10^{-4}$				BCC	FCC	COMP	LAP	HAP	LOP	HOP
SPMS	13	16	2.89	0.34	0.19	0.22	0.19	0.16	0.25	0.25	0.25	0.01
PseudoDojo	26	37	2.80	0.73	0.40	0.22	0.18	0.15	0.39	0.23	0.01	0.02
SG15	20	33	3.11	0.90	0.50	0.21	0.18	0.14	0.58	0.69	0.08	0.00

Osmium (Os)



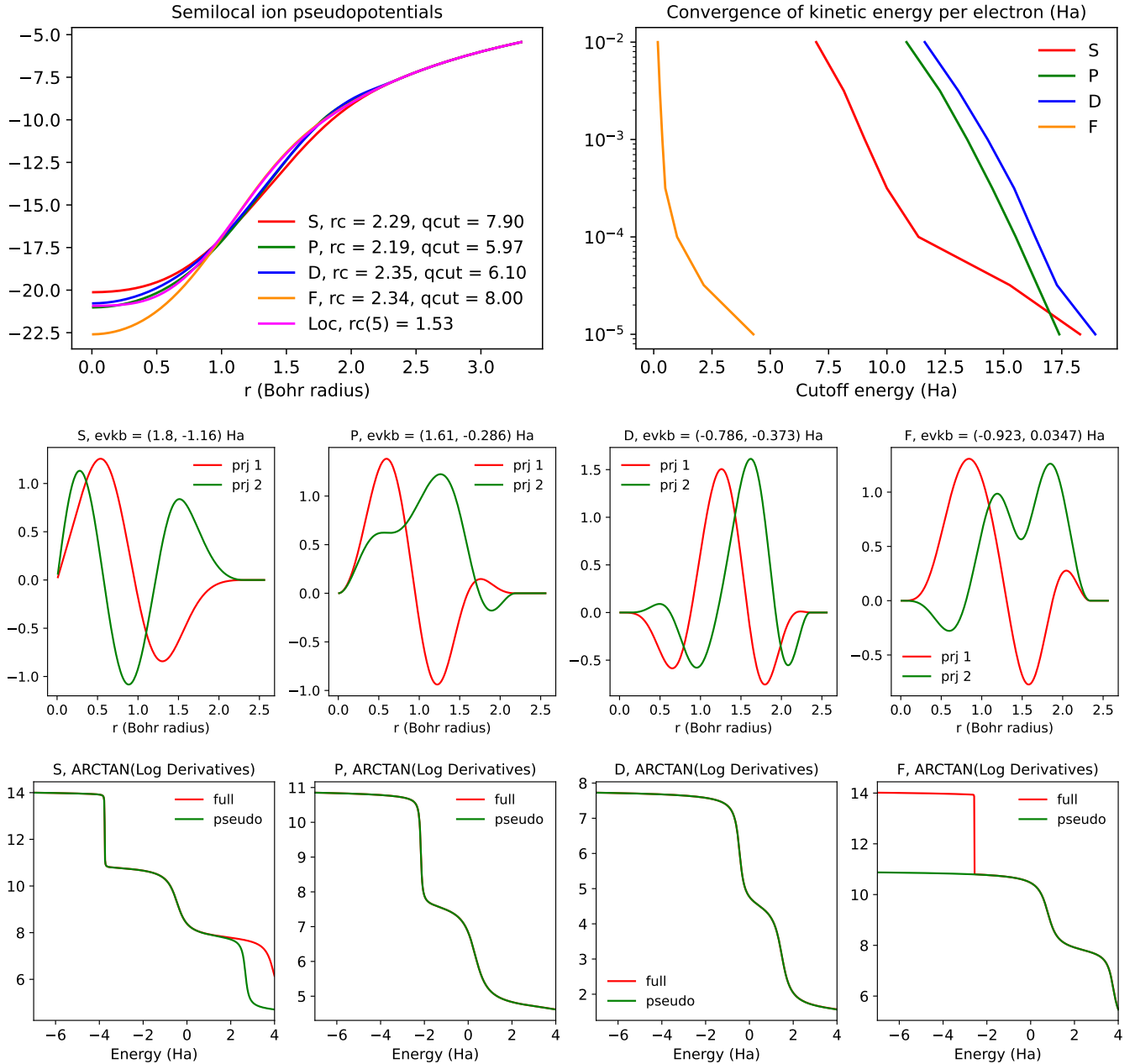
	E_{cut}		$\delta_{\Delta E}$	Δ	Δ'	δ_{lat}			δ_{asr}		δ_{ω}	
	$\delta_E = 10^{-3}$	$\delta_E = 10^{-4}$				BCC	FCC	COMP	LAP	HAP	LOP	HOP
SPMS	14	16	4.26	0.33	0.18	0.21	0.17	0.15	0.32	0.18	0.01	0.02
PseudoDojo	30	34	4.97	1.74	0.92	0.17	0.10	0.18	0.38	0.22	0.00	0.00
SG15	30	87	4.72	1.73	0.92	0.17	0.10	0.16	2.49	2.66	0.01	0.03

Iridium (Ir)



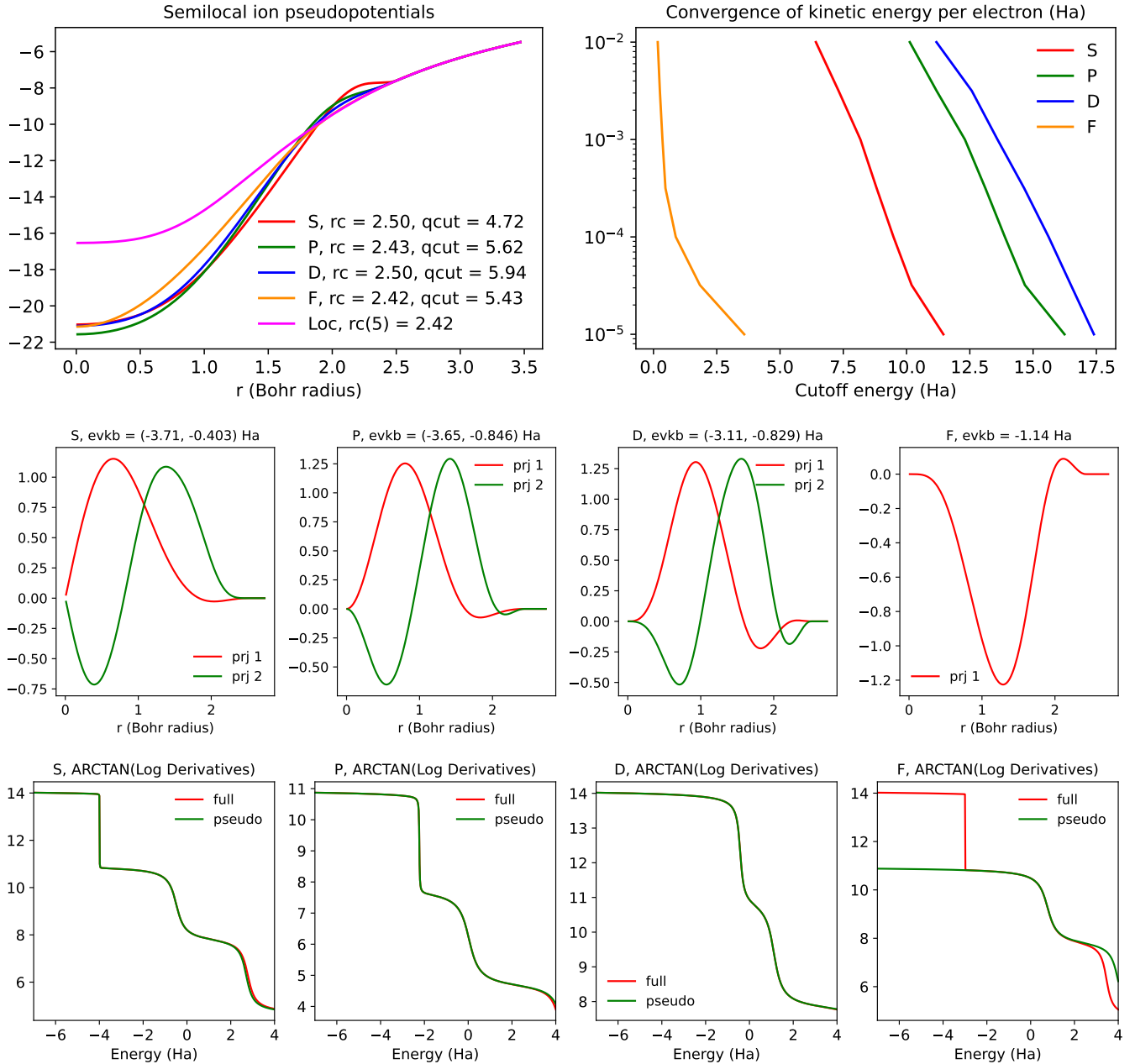
	E_{cut}		$\delta_{\Delta E}$	Δ	Δ'	δ_{lat}			δ_{asr}		δ_{ω}	
	$\delta_E = 10^{-3}$	$\delta_E = 10^{-4}$				BCC	FCC	COMP	LAP	HAP	LOP	HOP
SPMS	13	17	5.15	1.00	0.60	0.07	0.03	0.11	0.42	0.42	0.03	0.02
PseudoDojo	27	33	4.52	1.45	0.87	0.07	0.02	0.15	0.44	0.44	0.01	0.00
SG15	19	23	4.32	1.07	0.64	0.08	0.03	0.12	0.06	0.06	0.01	0.01

Platinum (Pt)



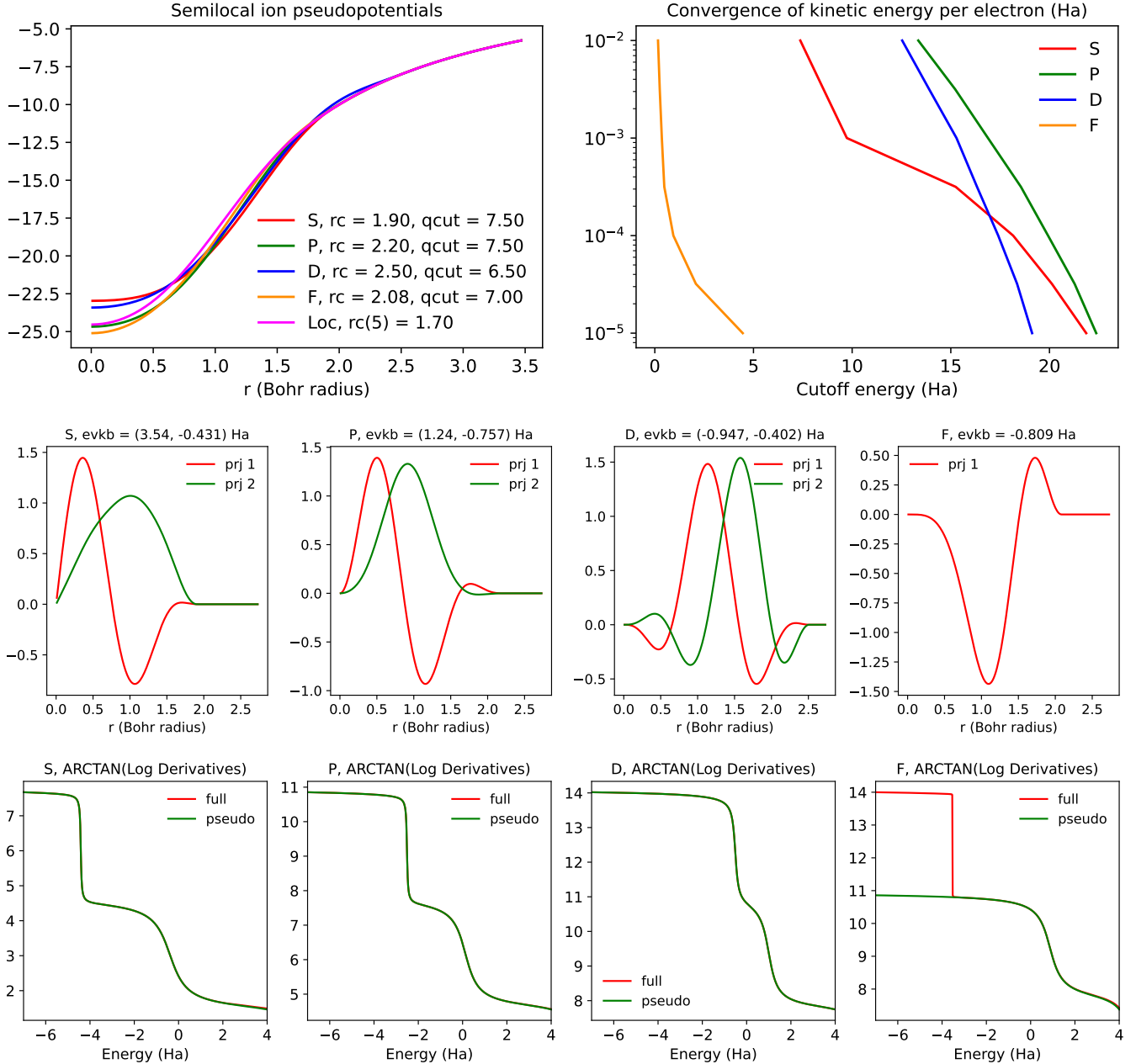
	E_{cut}		$\delta_{\Delta E}$	Δ	Δ'	δ_{lat}			δ_{asr}		δ_{ω}	
	$\delta_E = 10^{-3}$	$\delta_E = 10^{-4}$				BCC	FCC	COMP	LAP	HAP	LOP	HOP
SPMS	17	21	5.19	0.16	0.12	0.03	0.03	0.08	0.06	0.06	0.03	0.02
PseudoDojo	35	40	3.96	0.63	0.49	0.01	0.05	0.08	0.20	0.20	0.03	0.02
SG15	26	33	6.44	3.98	3.12	0.20	0.13	0.07	0.11	0.11	0.04	0.03

Gold (Au)



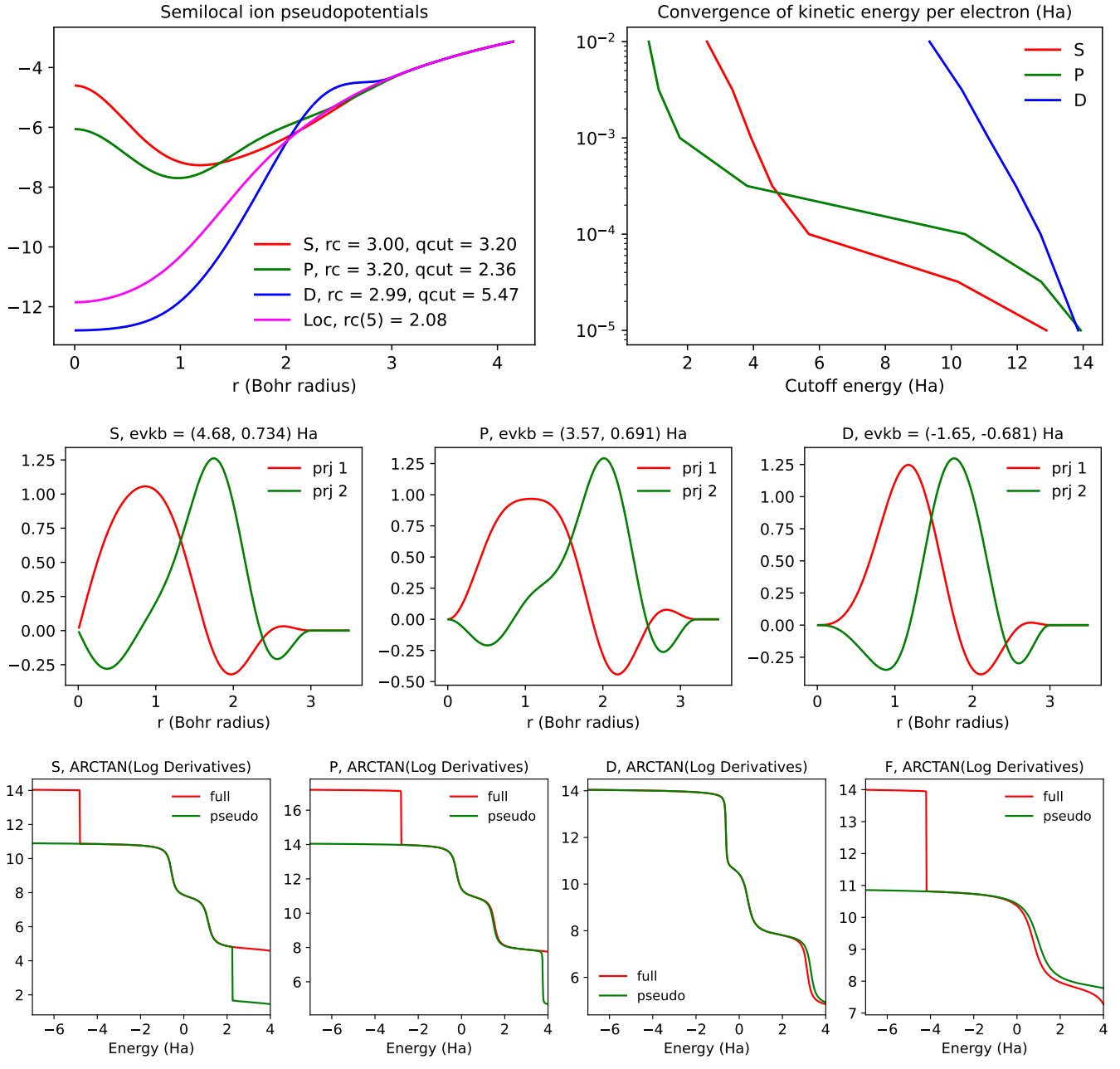
	E_{cut}		$\delta_{\Delta E}$	Δ	Δ'	δ_{lat}			δ_{asr}		δ_{ω}	
	$\delta_E = 10^{-3}$	$\delta_E = 10^{-4}$				BCC	FCC	COMP	LAP	HAP	LOP	HOP
SPMS	16	19	1.48	0.21	0.24	0.05	0.08	0.10	0.65	0.65	0.01	0.01
PseudoDojo	31	35	2.12	1.35	1.60	0.13	0.16	0.14	0.48	0.48	0.04	0.02
SG15	22	31	2.07	0.52	0.62	0.02	0.05	0.12	0.49	0.49	0.18	0.12

Mercury (Hg)



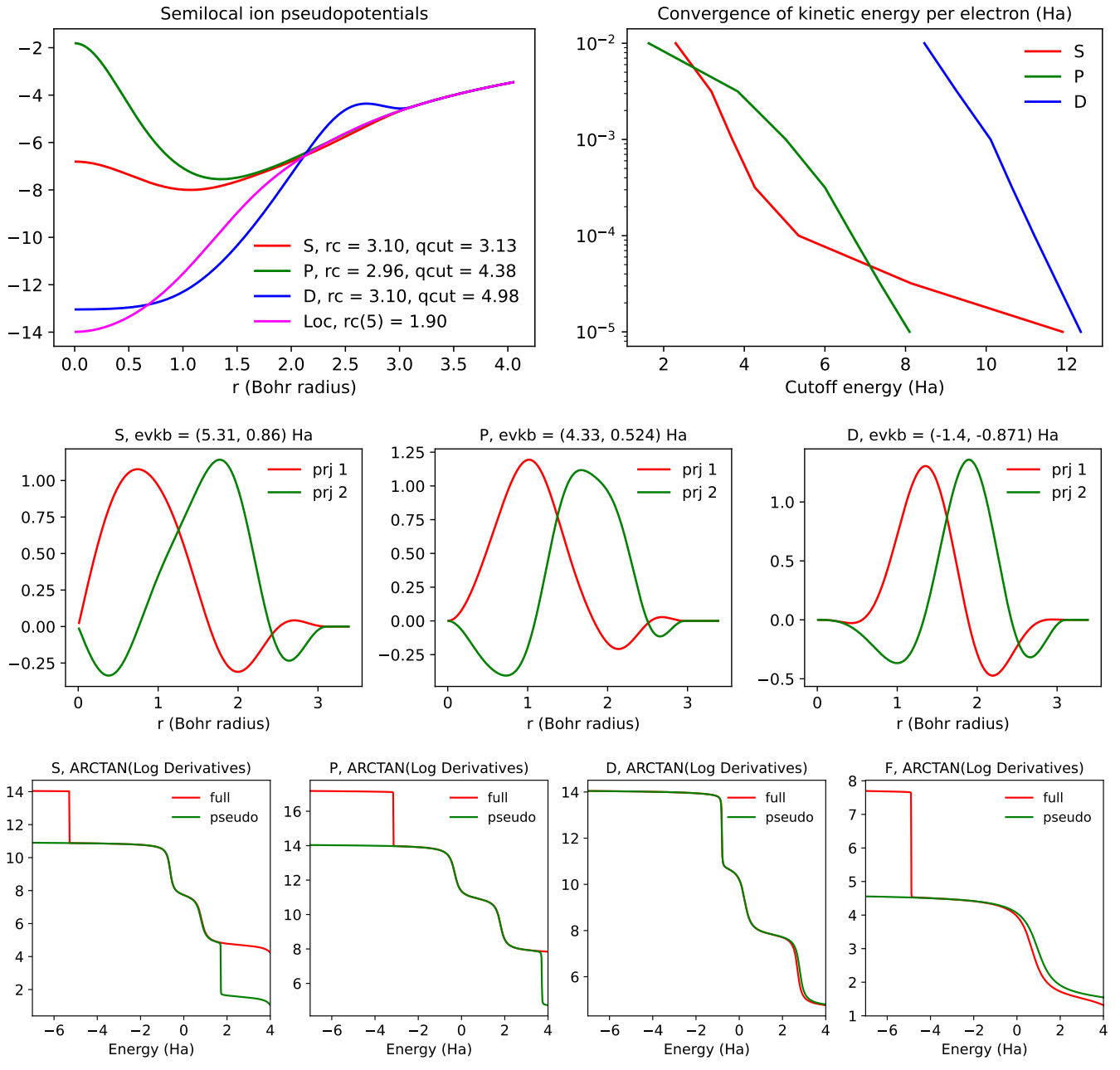
	E_{cut}		$\delta_{\Delta E}$	Δ	Δ'	δ_{lat}			δ_{asr}		δ_{ω}	
	$\delta_E = 10^{-3}$	$\delta_E = 10^{-4}$				BCC	FCC	COMP	LAP	HAP	LOP	HOP
SPMS	20	23	2.35	0.77	8.24	0.08	0.34	0.24	0.07	0.37	0.20	0.19
PseudoDojo	27	32	2.43	0.67	7.20	0.04	0.27	0.22	0.07	0.15	0.21	0.06
SG15	22	27	2.56	0.40	4.48	0.07	0.13	0.19	0.23	0.01	0.18	0.08

Thallium (Tl)



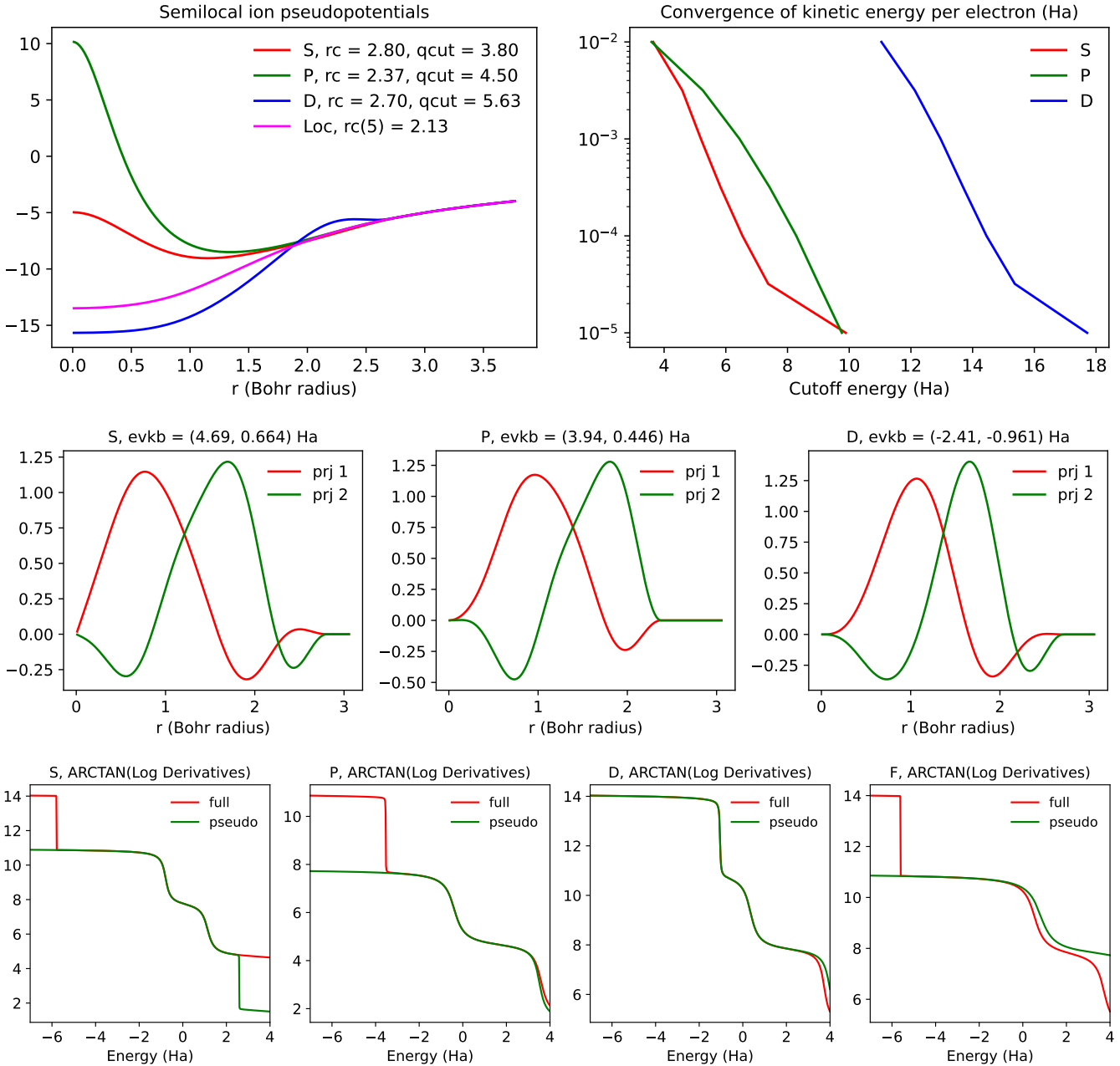
	E_{cut}		$\delta_{\Delta E}$	Δ	Δ'	δ_{lat}			δ_{asr}		δ_{ω}	
	$\delta_E = 10^{-3}$	$\delta_E = 10^{-4}$				BCC	FCC	COMP	LAP	HAP	LOP	HOP
SPMS	12	14	0.37	0.20	0.71	0.07	0.06	0.06	0.33	0.34	0.50	0.39
PseudoDojo	24	28	0.48	0.07	0.25	0.04	0.02	0.05	0.45	0.25	0.07	0.02
SG15	15	18	0.36	0.17	0.60	0.06	0.05	0.06	0.29	0.40	0.06	0.03

Lead (Pb)



	E_{cut}		$\delta_{\Delta E}$	Δ	Δ'	δ_{lat}			δ_{asr}		δ_{ω}	
	$\delta_E = 10^{-3}$	$\delta_E = 10^{-4}$				BCC	FCC	COMP	LAP	HAP	LOP	HOP
SPMS	12	14	2.59	0.08	0.20	0.01	0.01	0.10	0.12	0.12	0.05	0.07
PseudoDojo	22	25	2.77	0.06	0.15	0.02	0.01	0.15	0.07	0.07	0.10	0.07
SG15	14	16	2.88	0.07	0.17	0.02	0.01	0.12	0.37	0.37	0.07	0.05

Bismuth (Bi)



	E_{cut}		$\delta_{\Delta E}$	Δ	Δ'	δ_{lat}			δ_{asr}		δ_{ω}	
	$\delta_E = 10^{-3}$	$\delta_E = 10^{-4}$				BCC	FCC	COMP	LAP	HAP	LOP	HOP
SPMS	14	19	2.79	0.42	0.79	0.00	0.01	0.07	0.04	0.07	0.07	0.06
PseudoDojo	28	31	2.38	0.21	0.40	0.02	0.01	0.08	0.15	0.14	0.01	0.03
SG15	16	19	1.27	0.20	0.37	0.07	0.06	0.07	0.20	1.06	0.68	0.59